

PROJEKT:

Glasbrüstungssystem Defender DF810FR (CH)

INHALT:

01 Ermittlung Widerstände des Systems mittels statischer Bemessung

REV.: 00

DATUM: 15/12/2023

Auftraggeber:

Logli Massimo S.p.A

Via Giovanni Bensi, 8

I - 20152 Milano

solidic

STRUCTURAL ENGINEERING

Nicolodistraße 39

I-39100 Bozen (BZ)

T +39 0471 180 00 23

info@solidic.it

www.solidic.it

Bearbeiter

DI Felix Bertagnolli



Felix Bertagnolli

Änderungen

REV.	Datum	Bearbeiter	Kommentare
00	15.12.2023	BF	Erstfassung

INHALTSVERZEICHNIS

1	Grundlagen.....	5
1.1	Beschreibung	5
1.2	Aufstellungsort.....	8
1.3	Lebensdauer	8
1.4	Statisches Konzept	8
1.5	Berücksichtigte Grenzzustände.....	8
1.6	Absturzsicherheit - Pendelschlagversuch.....	8
1.7	Geometrie	9
1.8	Normative Grundlagen Schweiz.....	13
1.8.1	Lastannahmen	13
1.8.2	Aluminium	13
1.8.3	Glasbau.....	13
1.9	Teilsicherheitsbeiwerte auf der Einwirkungsseite laut SIA	13
1.10	Dauerhaftigkeit lt. EN 1990 2.4.....	13
1.11	Verwendete Programme	14
2	Materialien.....	15
2.1	Aluminium nach EN 1999-1-1.....	15
2.2	Glas nach SIA 2057-2021	17
2.3	Zwischenfolie	18
2.3.1	PVB.....	18
2.3.2	SGP-Folie.....	18
3	Lasten.....	20
3.1	Horizontale Holmlast.....	20
3.2	Lastkombination Holm + Wind	21

4 Statische Berechnung.....	22
4.1 Glasbemessung - Tragfähigkeit	22
4.1.1 Allgemeines.....	22
4.1.2 Glasbemessung mit Mepla	26
4.1.3 Ergebnistabellen Glasbemessung DF810FR - Lasten nach außen	33
4.1.4 Ergebnistabellen Glasbemessung DF810FR - Lasten nach innen	40
4.2 Bemessung Aluminiumprofil.....	45
4.2.1 Allgemeine Informationen.....	45
4.2.2 Ergebnistabellen Profilbemessung DF810FR - Lasten nach außen	47
4.2.3 Ergebnistabellen Profilbemessung DF810FR - Lasten nach innen	49
5 Zusammenfassung Ergebnisse Glas- und Profilbemessung	51
5.1 Maximale zusätzlich zur Holmlast aufnehmbare Windlast wk.....	51
5.1.1 Ergebnisse auf Basis Tragwiderstand Glas und Profil	51
5.1.2 Ergebnisse auf Basis Verformungsbeschränkung Glas.....	54
5.2 Zusammenfassung Systemwiderstand für Holmlasten	56
5.2.1 Ergebnisse auf Basis Tragwiderstand Glas und Profil	56
5.2.2 Ergebnisse auf Basis Verformungsbeschränkung Glas.....	58
5.3 Reaktionskräfte Verankerung	59
Anhang 61	
a) Grundlagen der numerischen Berechnung	61
b) Ergebnisse numerische Berechnung DF810FR.....	66

1 Grundlagen

1.1 Beschreibung

Auf den folgenden Seiten ist die Ermittlung der maximalen Traglast des Ganzglasgeländers **Defender DF810FR** der Firma Massimo Logli für die Anwendung in der Schweiz (CH) dokumentiert. Die Berechnung des Brüstungssystems (Glas + Basisprofil in Aluminium) erfolgt nach den in der Schweiz geltenden Vorschriften und dem Stand der Technik. Das absturzsichernde Glasgeländer entspricht einer unten eingespannten Glasbrüstung der **Kategorie 1B nach SIA-2057-2021**.

Die statischen Berechnungen wurden unter Berücksichtigung einer variablen Brüstungshöhe von 600 mm bis 1600 mm für eine lineare Holmlast h_k von 0.8 kN/m und 1.6 kN/m in Absturzrichtung sowie für 0.40 kN/m und 0.80 kN/m entgegen der Absturzrichtung entsprechend der **SIA 261-2020** durchgeführt. Die minimale Glasbreite in den Berechnungen beträgt 500 mm. Bei absturzsichernden Einbausituationen sind zusätzlich die minimalen und maximalen Abmessungen aus der **AbP-P-2023-3022** (Absturzsicherheit) einzuhalten.

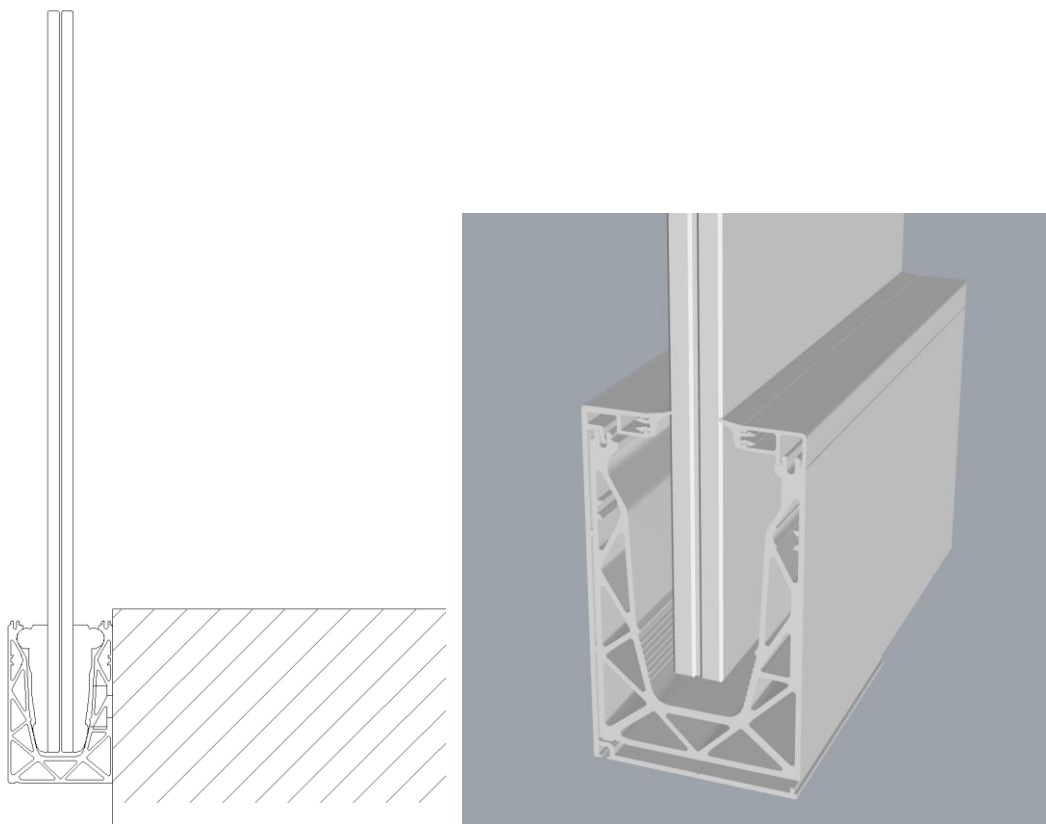
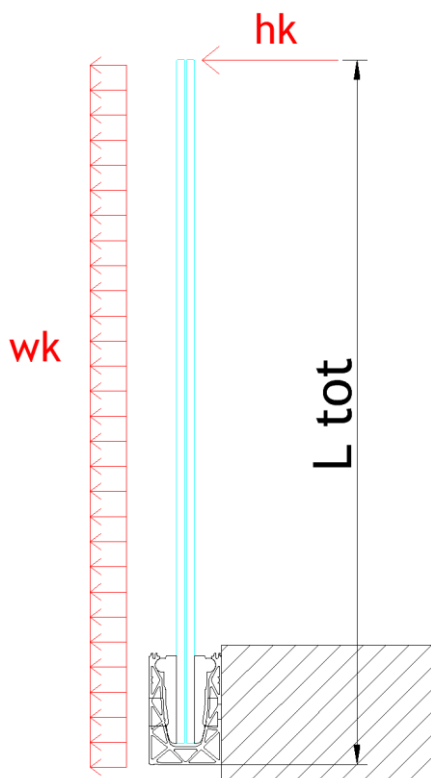


Abb: Brüstungssystem Defender DF810FR

Die Referenzhöhen L_{tot} in den Ergebnistabellen und -grafiken beziehen sich für das System DF810FR auf die Unterkante des Profils - siehe Grafik:



Die berechneten Glasaufbauten für den Einsatz mit dem Profil Defender DF810FR sind folgende:

- VSG aus 8+8 ESG mit ≥ 1.52 mm PVB-Folie
- VSG aus 10+10 ESG mit ≥ 1.52 mm PVB-Folie
- VSG aus 8+8 ESG mit ≥ 1.52 mm SGP-Folie
- VSG aus 10+10 ESG mit ≥ 1.52 mm SGP-Folie

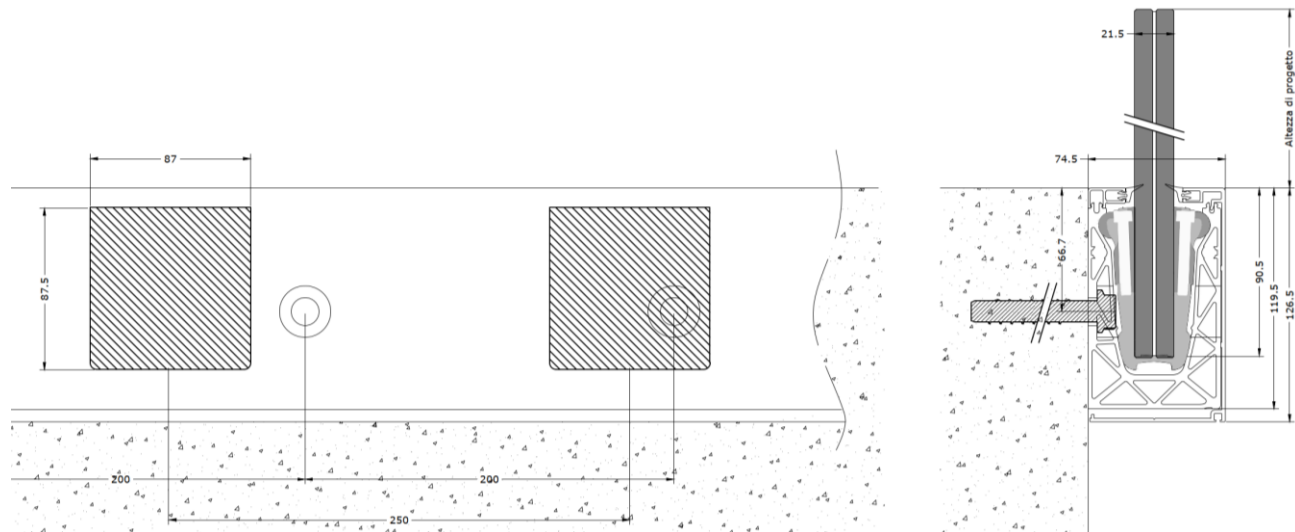
Der Einsatz von ESG-H wird empfohlen.

Die Holmlasten, Glasaufbauten sowie das Ausfallkonzept für das System Defender 810 gelten für Bereiche ohne möglichem Menschgedränge bis zu einer Holmlast $hk \leq 1.60$ kN/m.

Die Bemessung berücksichtigt Glas ohne Oberflächenbehandlungen. Der Einsatz von Emaillierungen und Siebdrucken ist projektbezogen zu untersuchen.

Für die Glasbemessung mit PVB-Folie ist entsprechend den Vorgaben aus der SIA-2057-2021 bei der Berechnung nach dem vereinfachten Verfahren kein Schubverbund angesetzt worden. Für die SGP-Folie ist ein Schubverbund je nach Einsatzort- und Zweck und maximaler Zwischenschichttemperatur entsprechend der AbZ-Z-70.3-253 berücksichtigt - siehe entsprechende nachfolgende Kapitel.

Die Fixierung der Scheibe im Aluminiumprofil erfolgt über lokale Kunststoffklemmen, welche alle ≤ 250 mm vorgesehen werden müssen, bei einem Randabstand von ≤ 125 mm. Dies ist in der Glasbemessung entsprechend als lokale Linienlagerung berücksichtigt worden.



Das Strangpressprofil in Aluminium DF810FR wird aus der Legierung EN AW6063-T6 hergestellt und ist mittels Dübel oder anderen geeigneten mechanischen Verbindungsmitteln im Abstand von maximal 200 mm am Untergrund zu befestigen.

Der Nachweis der Befestigungsmittel ist nicht Teil dieses Dokumentes und muss projektbezogen entsprechend den vorherrschenden Randbedingungen durch einen qualifizierten Techniker erfolgen.

Alle Kanten der Brüstung sind zu schützen. Der maximale Abstand zwischen den Verglasungen muss ≤ 30 mm betragen. An der Oberkante der Verglasung ist ein **Handlauf bzw. Kantenschutz** vorzusehen entsprechend den Vorgaben der SIA-2057-2021 bzw. des AbP-P-2023-3022. Alle Vorgaben des AbP sind einzuhalten.

Es ist außerdem der Nachweis des **Ausfalls** einer Scheibe nach SIA-2057-2021, Abschnitt 4.6 für den **Bruchzustand NB3A** geführt und in den Ergebnistabellen und -grafiken entsprechend berücksichtigt (Minimum aus Berechnung im GZT und als Ausfall). Da alle Kanten zu schützen sind, wird nur der Ausfall der stoßzugewandten Scheibe als außergewöhnliche Lastsituation angesetzt.

Die Bestimmung, Bewertung und Kombination der horizontalen Holmlasten, der Windlasten oder eventueller weiterer Lasten, die Überprüfung der maximalen baurechtlichen Geländerhöhe, die Bemessung der Befestigungsmittel bzw. die **generelle Eignung des Geländers für die Einbausituation** muss auf Basis des realen Ausführungsprojektes von einem qualifizierten Techniker gemäß den derzeit geltenden europäischen und schweizer Vorschriften durchgeführt werden.

1.2 Aufstellungsplatz

Schweiz

1.3 Lebensdauer

50 Jahre wie für gewöhnliche Tragwerke

1.4 Statisches Konzept

Das für die Berechnung der Brüstung verwendete statische System entspricht einem oben freien und an der Basis eingespanntem Kragarm mit doppelter Linienlagerung unten.

1.5 Berücksichtigte Grenzzustände

In der nachfolgend dokumentierten Berechnung werden folgende Grenzzustände berücksichtigt:

- Grenzzustand der Tragfähigkeit - Tragfähigkeit (ruhende Belastung)

1.6 Absturzsicherheit - Pendelschlagversuch

Die Absturzsicherheit (Pendelschlagversuch - weicher Stoß) wird über das bauaufsichtliche Prüfzeugnis P-2023-3022 nachgewiesen und erfüllt. Alle Vorgaben des AbP sind einzuhalten.

1.7 Geometrie

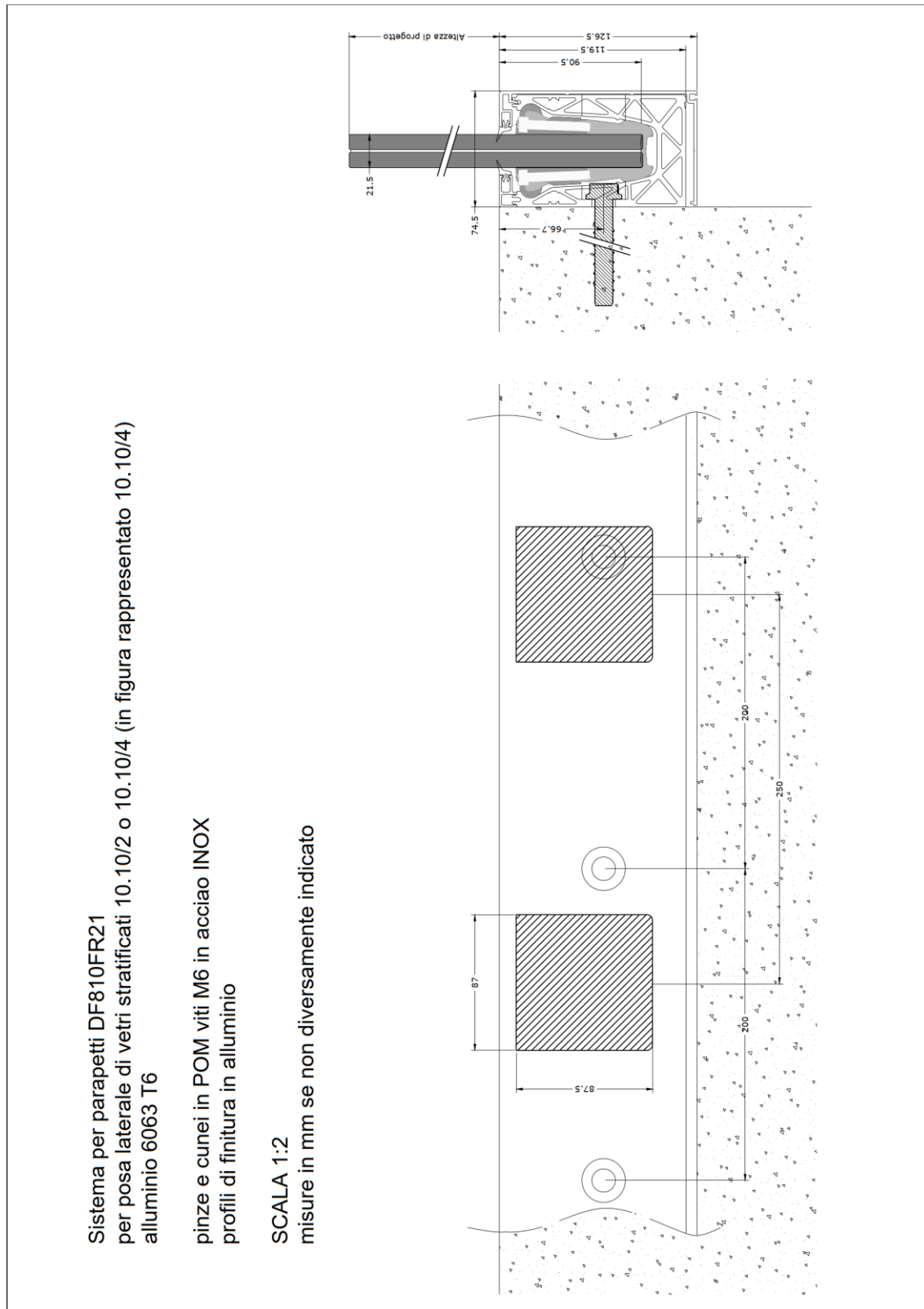


Abb: System DF810FR21

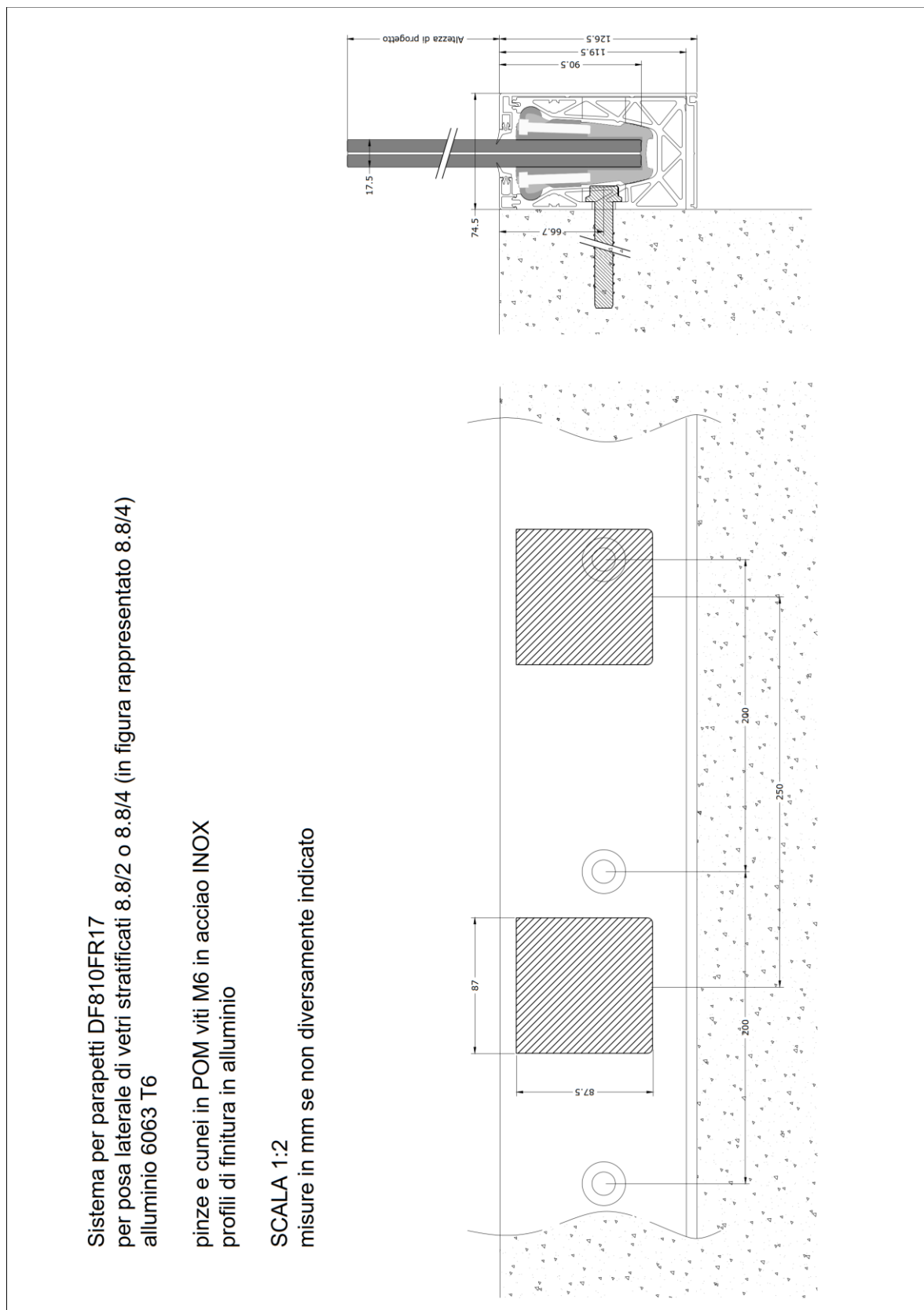


Abb: System DF810FR17

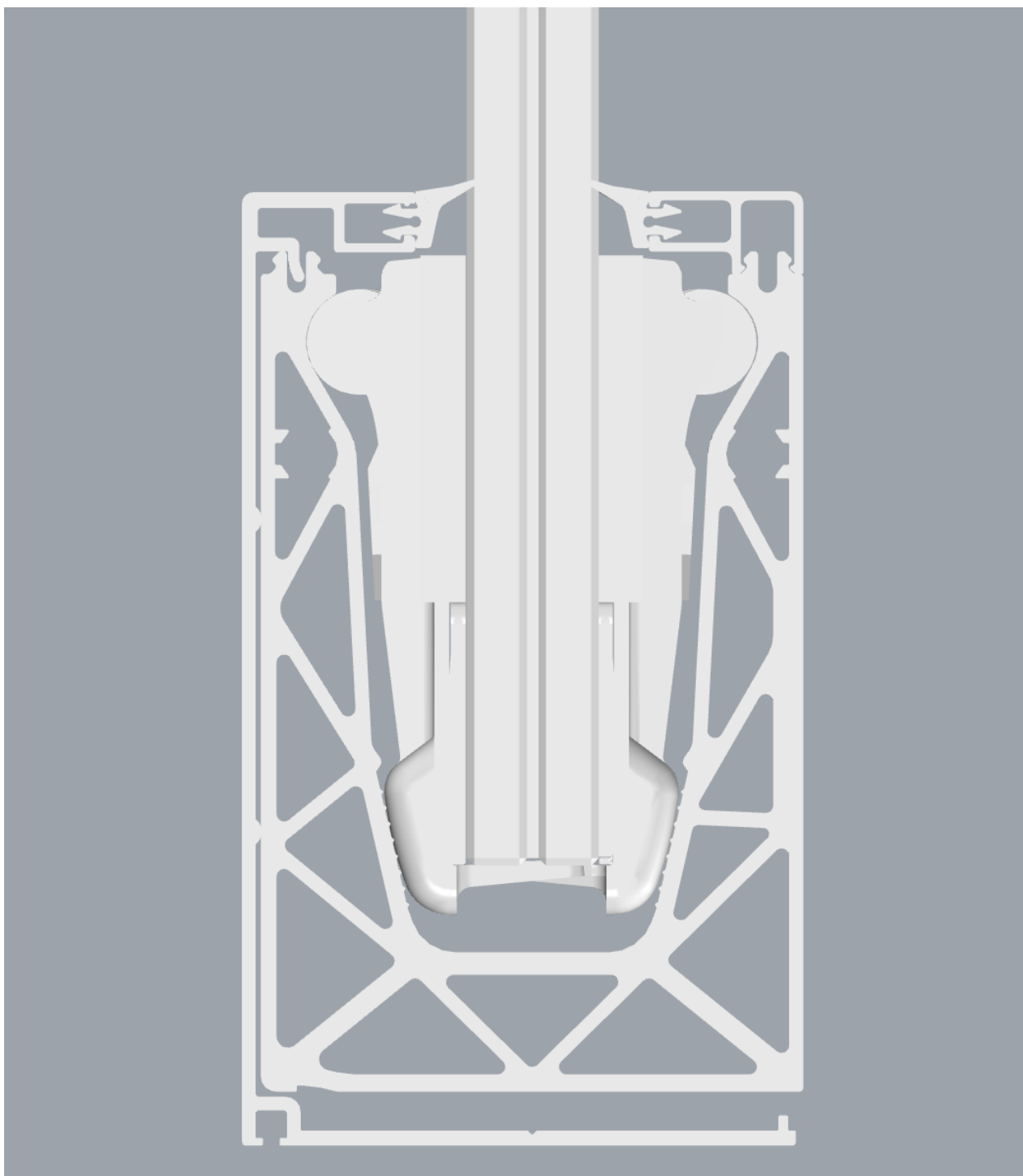


Abb: Querschnitt DF810FR

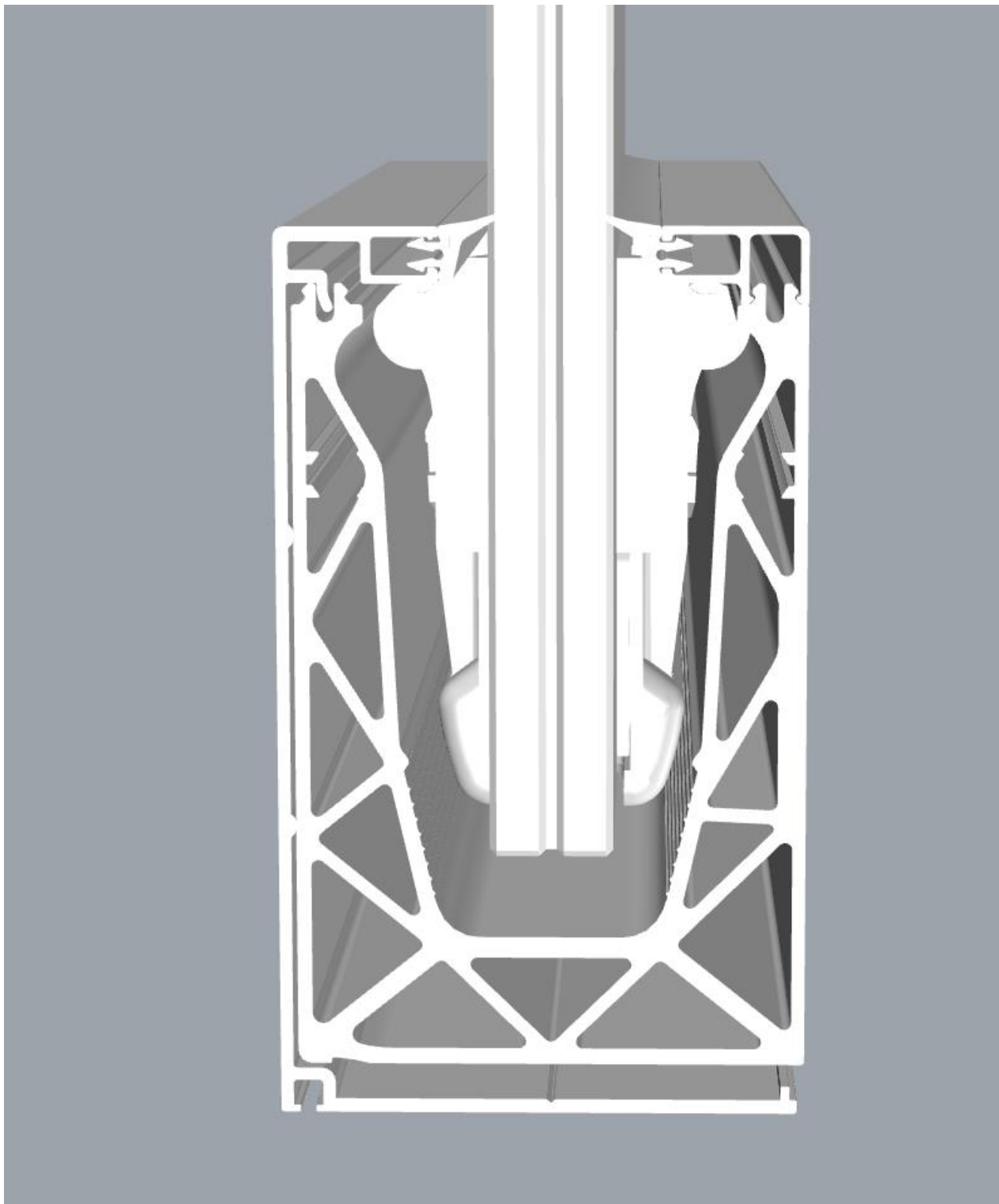


Abb: 3D-Ansichten DF810FR

1.8 Normative Grundlagen Schweiz

1.8.1 Lastannahmen

SIA 260:2013	Grundlagen der Projektierung von Tragwerken	08.2013
SIA 261:2020	Einwirkungen auf Tragwerke	08.2020

1.8.2 Aluminium

Eurocode 9: Bemessung und Konstruktion von Aluminiumtragwerken

DIN EN 1999-1-1	Teil 1-1: Allgemeine Bemessungsregeln	03.2014
-----------------	---------------------------------------	---------

1.8.3 Glasbau

SIA 2057:2021	Glasbau	08.2021
---------------	---------	---------

1.9 Teilsicherheitsbeiwerte auf der Einwirkungsseite laut SIA

Die Teilsicherheitsbeiwerte müssen ungünstig angesetzt werden.

Teilsicherheitsbeiwerte auf der Einwirkungsseite:

- Ständige Lasten 1.35/1.00
- Variable Lasten 1.50/0.00

1.10 Dauerhaftigkeit lt. EN 1990 2.4

Die in diesem Dokument vorgegebene Nutzung der Bauteile und deren Nutzungsdauer sind in der konstruktiven Ausbildung und bei Wahl des Korrosionsschutzes zu berücksichtigen.

Inspektion und Instandhaltung der einzelnen Bauteile ist sicherzustellen, bzw. ein dauerhafter Korrosionsschutz vorzusehen.

1.11 Verwendete Programme

Programm	Softwarehaus/Lieferant	Version
Sofistik	Sofistik AG	2023
SMath Studio	SMath	1.0.8253
SJ Mepla	SJ Software GmbH	5.0.14
Microsoft Excel	Microsoft	365

2 Materialien

2.1 Aluminium nach EN 1999-1-1

Materialkennwerte für die für das Basisprofil verwendete Legierung EN AW 6063-T6 und EP (extrudierte Profile) für $t \leq 25\text{mm}$:

E-Modul:	$E=70000 \text{ N/mm}^2$
Querdehnzahl nach Poisson:	$\nu=0.30$
Thermischer Ausdehnungskoeffizient:	$\alpha=23*10^{-6} \text{ 1/K}$
Dichte:	$\rho=2700 \text{ kg/m}^3$
Streckgrenze:	$f_{ok}=160 \text{ N/mm}^2$
Zugfestigkeit:	$f_{uk}=195 \text{ N/mm}^2$
Teilsicherheitsbeiwert Material:	$\gamma_m=1.10$

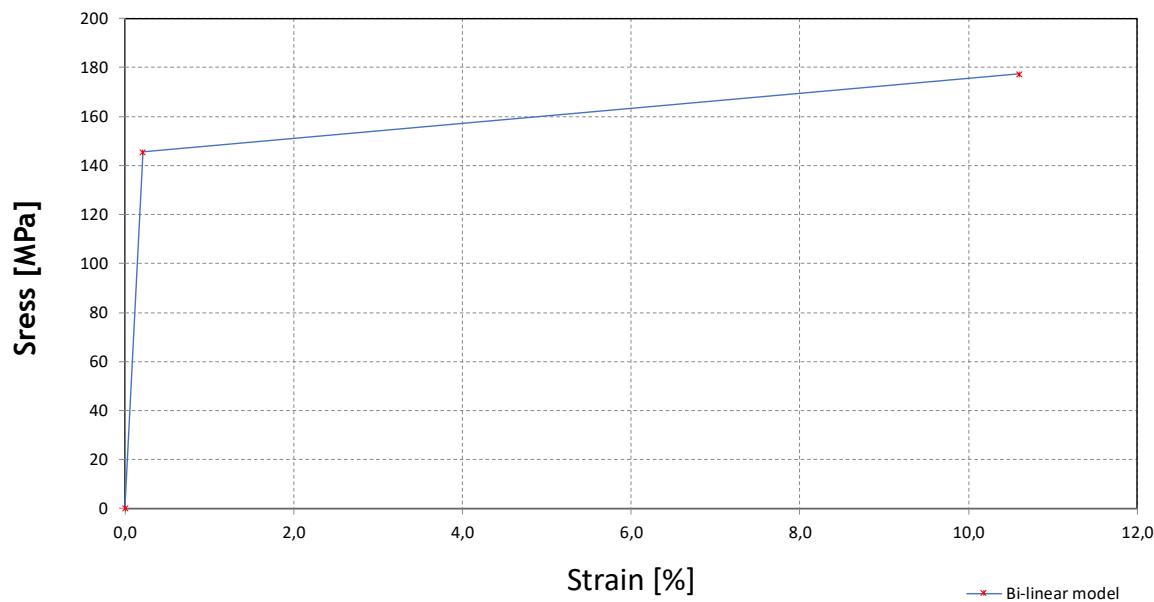
Für die numerische Berechnung des Profils mittels finiter Elemente ist ein bilineares elastisch-plastisches Materialgesetz mit Wiederverfestigung angesetzt:

Stress - Strain curves According to EN 1999-1-1 Annex E

Standard	Material	γ_m	E	$f_o = f_y$	$f_{Max} = f_u$	f_{od}	f_{ud}
DIN-EN 1999-1-1	EN AW 6063 T6 $t \leq 25$	[-]	[N/mm ²]	[N/mm ²]	[N/mm ²]	[N/mm ²]	[N/mm ²]

Bi-linear model

Stress-Strain Curves



Formulas

$$\sigma = E \times \varepsilon \quad \text{for } 0 \leq \varepsilon \leq \varepsilon_p \quad (\text{E.1})$$

$$\sigma = f_p + E_1 \times (\varepsilon \times \varepsilon_p) \quad \text{for } \varepsilon_p \leq \varepsilon \leq \varepsilon_{max} \quad (\text{E.2})$$

Bi-linear model	
σ (MPa)	ε
0	0,0
145,5	0,20779
177,3	10,60000

$$\varepsilon_u = 0,3 - 0,22 \times \frac{f_o}{400} = 21,2 \quad [\%] \quad (\text{E.2.1.1})$$

$$\varepsilon_p = \frac{f_o}{E} = 0,2078 \quad [\%]$$

$$\varepsilon_{max} = 0,5 \times \varepsilon_u = 10,600 \quad [\%]$$

$$E_1 = \frac{(f_u - f_o)}{(\varepsilon_u - \varepsilon_p)} = 2 \quad [\text{N/mm}^2]$$

2.2 Glas nach SIA 2057-2021

E-Modul:	$E=70000 \text{ N/mm}^2$
Querdehnzahl nach Poisson:	$\nu=0.23$
Thermischer Ausdehnungskoeffizient:	$\alpha=9 \cdot 10^{-6} \text{ 1/K}$
Dichte:	$\rho=2500 \text{ kg/m}^3$

Charakteristische Glasfestigkeiten f_k :

Einscheibensicherheitsglas (ESG) nach EN 12150-1 (2000):	$f_k=120 \text{ N/mm}^2$
Teilvorgespanntes Glas (TVG) nach EN 1863-1 (2011):	$f_k=70 \text{ N/mm}^2$
Floatglas (FL) nach EN 572-1 (2012):	$f_k=45 \text{ N/mm}^2$

Bemessungswert der Zugfestigkeit Glas f_{Rd} :

Nach dem vereinfachten Verfahren ohne Schubverbund:

für VSG aus Einscheibensicherheitsglas (ESG)

$$f_{g.k.ESG} := 120 \text{ MPa}$$

$$k_{mod} := 1.0$$

$$k_E := 1.0 \quad \text{für Plattenbeanspruchung}$$

$$k_v := 1.1 \quad \text{wenn mit vereinfachtem Verfahren}$$

$$k_c := 1.0$$

$$\gamma_m := 1.50$$

$$f_{g.d.ESG} := k_{mod} \cdot k_E \cdot k_v \cdot k_c \cdot \frac{f_{g.k.ESG}}{\gamma_m} = 88 \text{ MPa}$$

2.3 Zwischenfolie

2.3.1 PVB

Polyvinyl-Butyral-Interlayer (PVB)

Mechanische Eigenschaften bei 23 °C:

Bruchlast > 20 N/mm²

Bruchdehnung > 250 %

Diese Eigenschaften müssen vom Hersteller der Zwischenfolien mit der Konformitätsbescheinigung 2.1 nach EN 10204: 1995-08 bestätigt werden.

Die SIA 2057-2021 erlaubt bei Verwendung des vereinfachten Berechnungsverfahrens für PVB-Folien keinen Schubverbund wenn er günstig wirkt.

2.3.2 SGP-Folie

Die Steifigkeitskennwerte der SGP-Folie sind der AbZ Z-70.3-253, gültig bis 14.04.2025, entnommen.

Dabei werden in der statischen Berechnung 2 Einsatzsituationen untersucht:

Einsatz im Fassadenbereich (EXTERN): $G_{ext}=4 \text{ N/mm}^2 \rightarrow E_{ext} = G \cdot 2 \cdot (1+\nu) = 11.92 \text{ N/mm}^2$

Einsatz im Innenbereich (INTERNAL): $G_{int}=65 \text{ N/mm}^2 \rightarrow E_{int} = G \cdot 2 \cdot (1+\nu) = 193.7 \text{ N/mm}^2$

Tabelle 1: Kennwerte für Einfachverglasungen

Lastfall		Schubmodul G [N/mm ²]	K _{VSG²}	K _{mod}
Fassadenbereich	Verglasungen ohne absturzsichernde Funktion			
	Lastfall Wind	100	1	0,7
	Verglasungen mit absturzsichernder Funktion			
	Lastfall horizontale Nutzlast infolge von Personen ³	4	1	0,7
	Lastfall Holm und Wind	65	1	0,7
Innenbereich	Verglasungen ohne absturzsichernde Funktion			
	Lastfall Wind	100	1	0,7
	Verglasungen mit absturzsichernder Funktion			
	Lastfall Holm	65	1	0,7
	Lastfall Holm und Wind	65	1	0,7
Überkopf- bereich	Lastfall Schnee	60	1	0,4
	Lastfall Wind und Schnee	60	1	0,7
	Lastfall Eigengewicht	0	1,1	0,25

Tabelle 2: Kennwerte für Schubmodule entsprechend der Zwischenschichttemperatur

Zwischenschichttemperatur T [°C]	30	35	40	45	50	55	60
Schubmodul G [N/mm ²]	65	30	9	7	4	3	2

3 Lasten

3.1 Horizontale Holmlast

Entsprechend den Vorgaben der SIA 261-2020 werden folgende horizontalen Linienlasten als variable Nutzlasten am Holm (Handlauf) bzw. Oberkante der Verglasung je nach Nutzungskategorie ungünstig aufgebracht: $h_k = 0.8 \text{ kN/m}$ und 1.6 kN/m .

Dabei werden die Lasten an der Oberkante des Geländers in Hauptrichtung= Absturzrichtung in voller Größe und in Gegenrichtung= gegen die Absturzrichtung in halber Größe angesetzt entsprechend dem Konzept aus der DIN 1991-1-1

- ➔ Nach außen: $h_k = 0.80 \text{ kN/m}$ und 1.60 kN/m
- ➔ Nach innen: $h_k = 0.40 \text{ kN/m}$ und 0.80 kN/m

Die Holmlasten, Glasaufbauten sowie das Ausfallkonzept für das System Defender 810 gelten für Bereiche ohne möglichem Menschengedränge bis zu einer Holmlast $h_k \leq 1.60 \text{ kN/m}$.

Holmlasten nach SIA 261 - 2020

Tabelle 20 Charakteristische Werte der horizontalen Kräfte auf Abschrankungen für Personen

Bauwerkstyp	Nutzung		q_k in kN/m
Gebäude	Kategorie	Art der Nutzfläche	
	A, B, D	Wohn-, Büro- und Verkaufsflächen	0,8
	C	Versammlungsflächen	1,6 ¹⁾
	E, F, G	Lager-, Fabrikations-, Park- und Verkehrsflächen	0,8 ²⁾
Brücken	alle Verkehrsarten		1,6 ^{1) 3)}
Dienststege	nicht öffentlich zugänglich		0,4

¹⁾ q_k muss auf mindestens 3,0 kN/m erhöht werden, wenn ein Menschengedränge möglich ist.

²⁾ Für spezielle Nutzungen von Lager- und Fabrikationsflächen ist q_k projektspezifisch festzulegen.

³⁾ q_k darf um höchstens 50% reduziert werden, wenn kein Menschengedränge möglich ist.

$$H_{k, ABDEFG} := 0.80 \frac{\text{kN}}{\text{m}}$$

$$H_{k, C} := 1.60 \frac{\text{kN}}{\text{m}} \quad \text{für Bereiche ohne Menschengedränge}$$

3.2 Lastkombination Holm + Wind

Die auf die Oberkante der Glasscheibe aufgebrachte lineare Holmlast und der Wind, der auf die gesamte Oberfläche der Brüstung einwirkt, werden nach den Vorgaben der SIA-260-2013 durch die folgenden Beziehungen kombiniert:

$$f_{Ed1} = \gamma_Q * f_{hk} + \psi_{0.Wind} * \gamma_Q * f_{wk}$$

$$f_{Ed2} = \gamma_Q * f_{hk} * \psi_{0.Holm} + \gamma_Q * f_{wk}$$

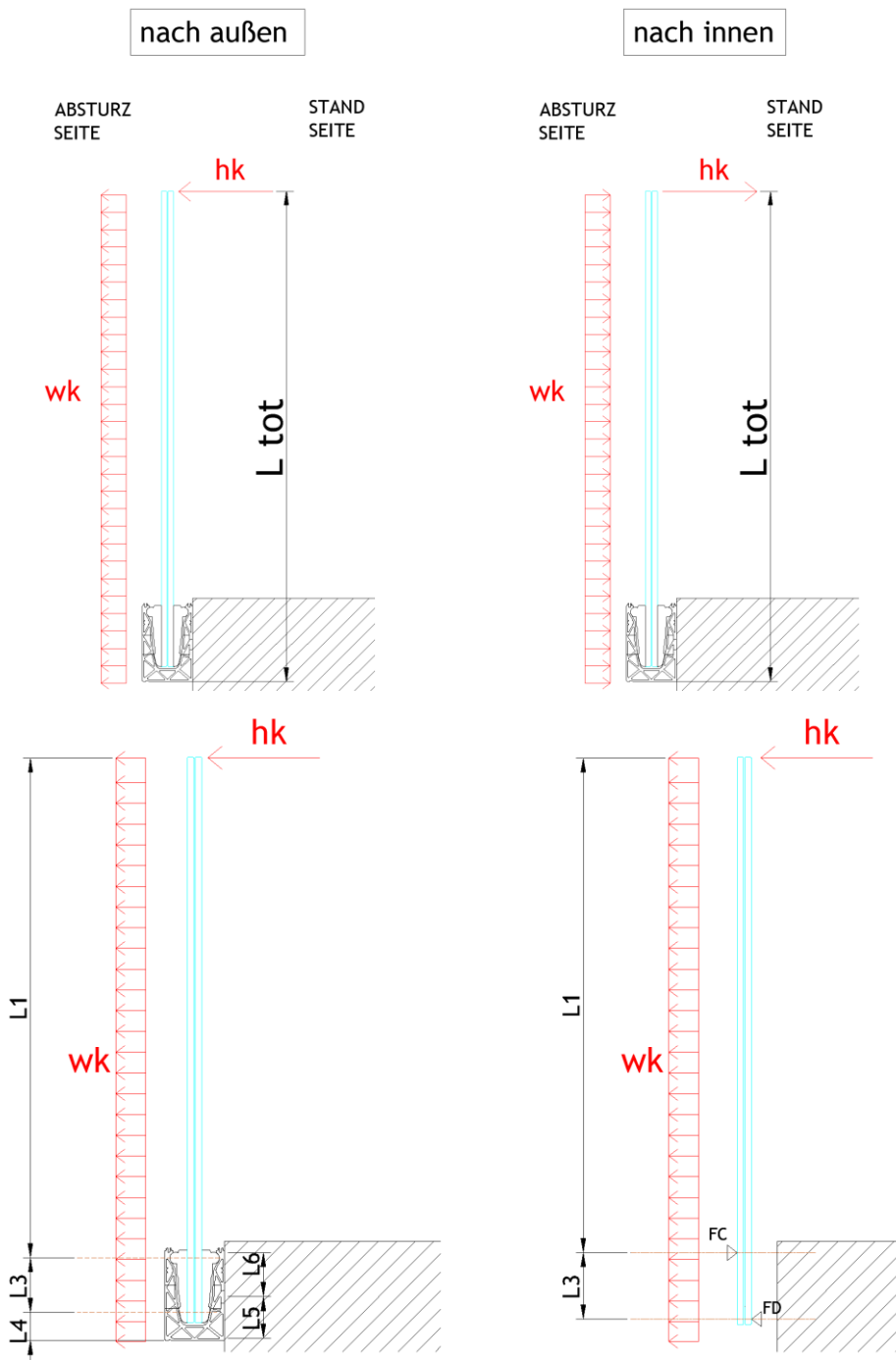
mit $\gamma_Q=1.50$, $\psi_{0.Wind}=0.60$, $\psi_{0.Holm}=0.70$

4 Statische Berechnung

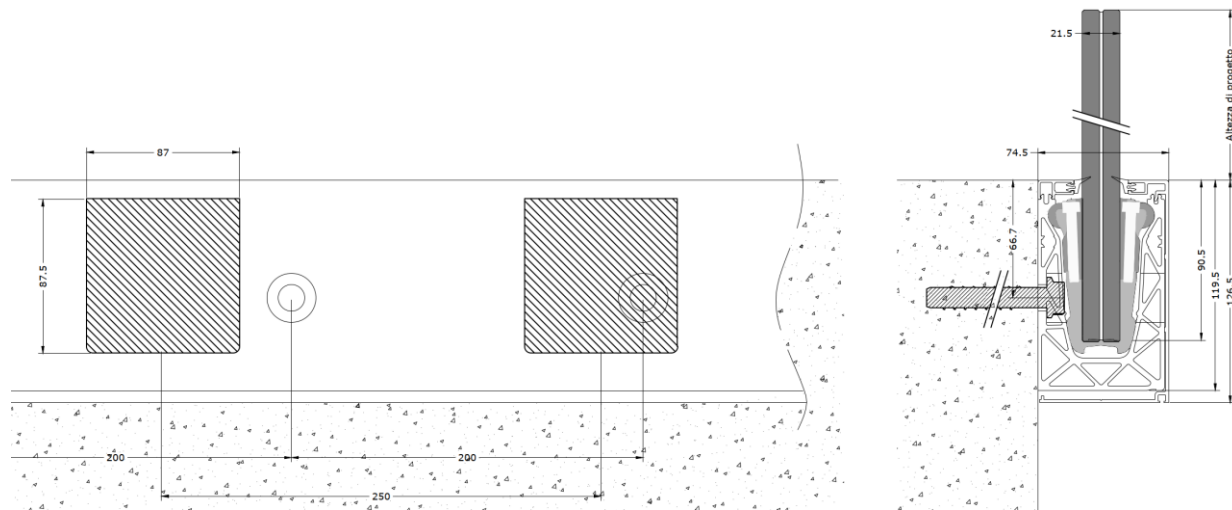
4.1 Glasbemessung - Tragfähigkeit

4.1.1 Allgemeines

Der statische Nachweis der Verglasung wird mit dem Programm SJ Mepla durchgeführt.



Für die Berechnung der Spannungen in der Glasscheibe ist eine realitätsnahe Lagerung auf den Kunststoffklemmen als abschnittsweise elastische Linienlagerung mit der Länge von 87 mm, einem Abstand von 250 mm sowie einem Randabstand von 125 mm berücksichtigt. Die Breite der Glasscheibe beträgt dabei 500 mm, d.h. es sind 2 Klemmen pro Scheibe vorgesehen.



Es werden für die Berechnung folgende Parameter verwendet - siehe dazu auch Grafik auf der nächsten Seite:

Profil	Abmessungen [mm]									
	L2	L3	L4	L5	L6	L7	e fix	b Klemme	e Klemme	
DF810FR17 / DF810FR21	12	70	29,5	50	53	-0,5	200	87	250	

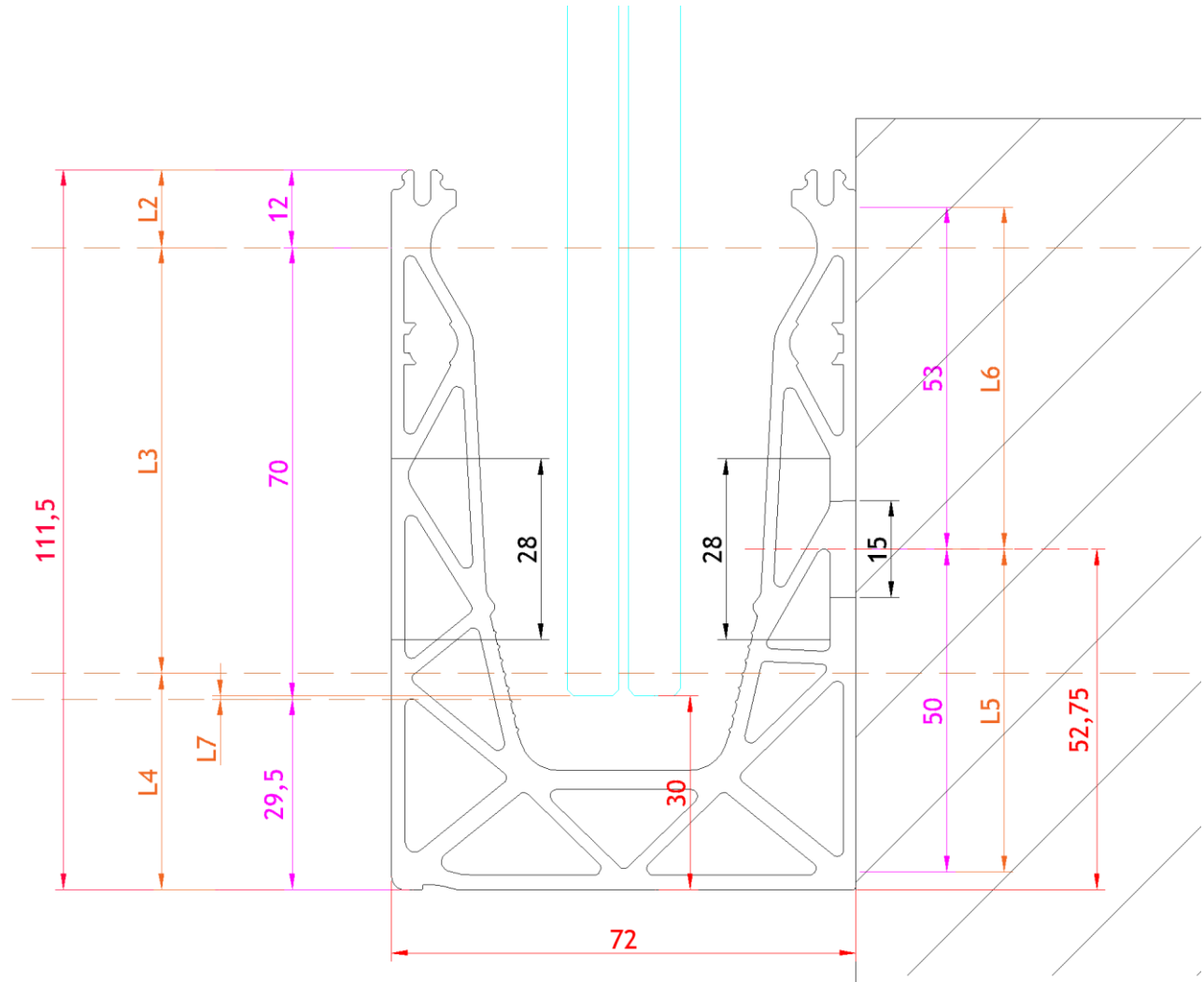


Abb: Berechnungsparameter DF810FR

Die Berechnung der maximalen Spannungen in den Glasscheiben erfolgt in zwei Schritten. Im ersten Schritt wird eine gleichmäßig verteilte Linienlast von $h_u = 1.0 \text{ kN/m}$ auf den Holm (Oberkante) der Glasbrüstung aufgebracht, wobei in 50-mm-Schritten unterschiedliche Höhen von 600 mm bis 1600 mm simuliert werden.

In einem zweiten Schritt kann dann bei Kenntnis der maximal zulässigen Spannung im Glas die zusätzlich zur Holmlast h_k noch eventuell aufnehmbare gleichmäßig über die Höhe der Glasscheibe verteilte Windlast w_k berechnet werden.

$$f_{d,Glas} = \gamma_Q * \sigma h_k + \psi_{0,Wind} * \gamma_Q * \sigma w_k$$

$$f_{d,Glas} = \gamma_Q * \sigma h_k * \psi_{0,Holm} + \gamma_Q * \sigma w_k$$

$$\sigma_{wk1} = (f_{d,Glas} - \gamma_Q^* \sigma h_k) / (\psi_{0,Wind}^* \gamma_Q) \rightarrow w_{k1} = \sigma_{wk1} / \sigma_{max,wu} \rightarrow w_{kmin} = \min(w_{k1}, w_{k2})$$

$$\sigma_{wk2} = (f_{d,Glas} - \gamma_Q^* \sigma h_k^* \psi_{0,Holm}) / \gamma_Q \rightarrow w_{k2} = \sigma_{wk2} / \sigma_{max,wu}$$

mit $\gamma_Q=1.50$, $\psi_{0,Wind}=0.60$, $\psi_{0,Holm}=0.70$

Dazu sind auch die Spannungen des Glases aus der gleichmäßig über die Höhe und Länge verteilten Windlast mit einem Einheitsdruck w_u von 1 kN/m² berechnet.

Nachfolgend ist exemplarisch für einen Glasaufbau und eine bestimmte Höhe die Mepla-Berechnung für die Einheitslasten $h_u=1$ kN/m und $w_u=1$ kN/m² sowie Ausfallsszenario dargestellt.

Für alle anderen Glasaufbauten und Glashöhen wurde die Berechnung auf die gleiche Weise durchgeführt, indem die Variablen wie Glashöhe, E-Modul Folie und Glasstärke angepasst wurden.

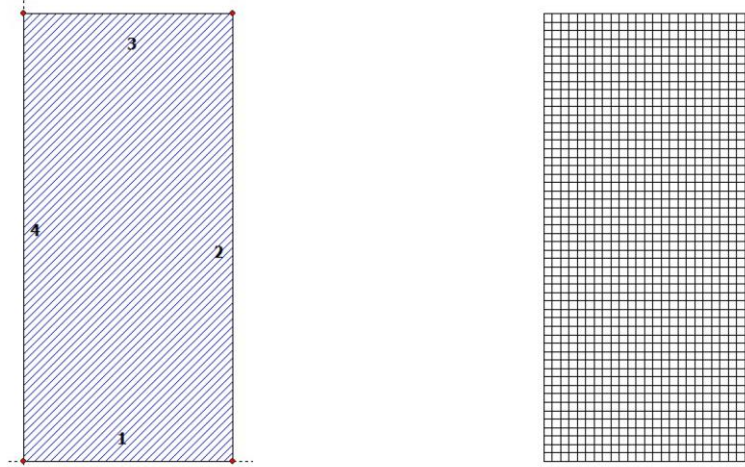
Hinweis: Die Glasbemessung in Mepla ist auf Basis des Profils DF810LM durchgeführt, welches das identische Klemmsystem hat und daher in gleicher Weise für das Profil DF810FR gültig ist.

4.1.2 Glasbemessung mit Mepla

Berechnung für Einheitslinienlast hu an der Oberkante der Brüstung - intakte VSG-Scheibe:

 Projekt: 23065 Defender 810 - GER+CH, Logli - DF810LM_H - 10_10_500_1070_87_2

 23.08.2023
 Seite: 1

SJ MEPLA Berechnungsprotokoll:

Geometrie:

Rand	Randpunkt mm	Bogenmitte mm	Drehrichtung +/−
1	0.00	0.00	
2	500.00	0.00	

Dieser Ausdruck wurde durch das Programm SJ MEPLA erstellt. Copyright 2000-2022 by SJ Software GmbH Aachen.

 Projekt: 23065 Defender 810 - GER+CH, Logli - DF810LM_H - 10_10_500_1070_87_2

 23.08.2023
 Seite: 2

 3 500.00 1070.00
 4 0.00 1070.00

Lager:

Randlager:	Lagerungsart
2	u,φ : fest - w,v,θ : frei (Symmetrie in x-Richtung)
4	u,φ : fest - w,v,θ : frei (Symmetrie in x-Richtung)

Nr	von		nach		E-Modul N/mm²	Breite mm	Höhe mm	Kontakt
	x mm	y mm	x mm	y mm				
1	81.50	69.50	168.50	69.50	3000.00	20.00	10.00	0
2	331.50	69.50	418.50	69.50	3000.00	20.00	10.00	0
3	81.50	3.50	168.50	3.50	3000.00	20.00	10.00	0
4	331.50	3.50	418.50	3.50	3000.00	20.00	10.00	0

Paket	Schicht	x mm	y mm	z mm	C_x N/mm	C_y N/mm	C_z N/mm	C_φ N/mm	C_θ N/mm
1	1	0.0	0.0	0.0	1.000e+00	1.000e+00	0.000e+00	0.00e+00	0.00e+00
1	1	500.0	0.0	0.0	0.000e+00	1.000e+00	0.000e+00	0.00e+00	0.00e+00

Schichten:

Paket	Schicht	Beschreibung
1	3	ESG
1	2	PVB Langzeitbelastung
1	1	ESG

Paket	Schicht	E-Mod. N/mm²	v	Dicke mm	Dichte kg/m³	αt	ΔT K
1	3	70000.00	0.23	10.00	2550.00	1.0000e-05	0.00
1	2	0.00	0.50	0.76	1070.00	8.0000e-05	0.00
1	1	70000.00	0.23	10.00	2550.00	1.0000e-05	0.00

Dieser Ausdruck wurde durch das Programm SJ MEPLA erstellt. Copyright 2000-2022 by SJ Software GmbH Aachen.

23065 Defender 810 - CH, Logli

Projekt: 23065 Defender 810 - GER+CH, Logli - DF810LM_H - 10_10_500_1070_87_2

23.08.2023
Seite: 3**Lasten:**

Linienlasten:				qx	qy	qz
Paket	--- von --	-- nach --		N/mm	N/mm	N/mm
1	0.00	1070.00	500.00	1070.00	0.00	0.00

Flächenlasten:	
- konstant verteilt:	
Paket	Druck
1	0.00000e+00

Berechnungsverfahren:
geometrisch linear
statische Berechnung**Kenndaten des finiten Element Netzes:**

Elementgröße	:	20.0 mm
Anzahl der Elemente	:	1325
Anzahl der Knoten	:	5457 (pro Paket)
Anzahl der Unbekannten	:	48257

Berechnungsergebnis:**Minimale und maximale Verformungen w:**

Paket	--- Ort --- Verformung		
	x	y	w
1	mm	mm	mm
	500.00	0.00	-0.10 (min)
	10.00	1070.00	29.94 (max)

Maximale Hauptzugspannung:

Paket	Schicht	x		y		σ	σ (max)
		mm	mm	mm	mm	N/mm²	N/mm²
1	(oben)	162.25	2.28	15.52	38.86	-	-
	(unten)	370.00	78.48	38.86	38.86		
1	(oben)	162.25	2.28	15.52	38.86		
	(unten)	370.00	78.48	38.86	38.86		

Dieser Ausdruck wurde durch das Programm SJ MEPLA erstellt. Copyright 2000-2022 by SJ Software GmbH Aachen.

Projekt: 23065 Defender 810 - GER+CH, Logli - DF810LM_H - 10_10_500_1070_87_2

23.08.2023
Seite: 4**Extremale Spannungen und Reaktionskraft in der elastischen Linienlagerung:**

Nr.	σ N/mm²	Reaktionskraft (Fz) N	
1	3.759 (max)	4039.77	
	1.637 (min)		
2	3.759 (max)	4039.77	
	1.637 (min)		
3	-0.522 (max)	-3789.77	
	-6.323 (min)		
4	-0.522 (max)	-3789.77	
	-6.323 (min)		

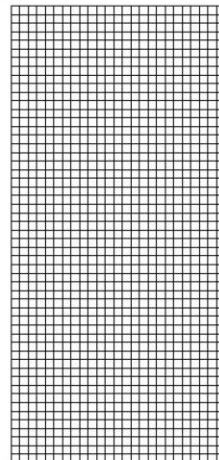
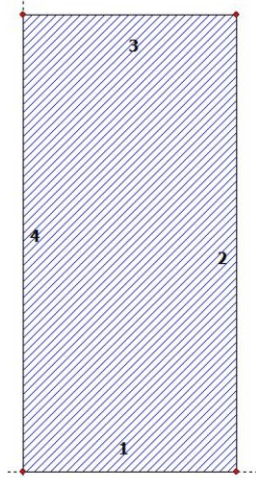
Extremwerte:		
x	y	σ
mm	mm	N/mm²
332.37	69.50	3.759 (max)
332.37	3.50	-6.323 (min)

Paket	Schicht	u (x / y) mm	v mm	w mm	φ rad	θ rad	Fx N	Fy N	Fz N	M_φ Nm	M_θ Nm
1	1	0.00 / 0.00	0.00	-0.10	0.0000	-0.0013	0.00	0.00	-0.00	0.00	-0.00
(500.00 / 0.00)	1	0.00	0.00	-0.10	0.0000	-0.0013	0.00	0.00	-0.00	0.00	-0.00

Dieser Ausdruck wurde durch das Programm SJ MEPLA erstellt. Copyright 2000-2022 by SJ Software GmbH Aachen.

Berechnung für Einheitsflächenlast wu auf der gesamten Fläche der Brüstung - intakte VSG-Scheibe:

Projekt: 23065 Defender 810 - GER+CH, Logli - DF810LM_W - 10_10_500_1070_87_2

23.08.2023
Seite: 1**SJ MEPLA Berechnungsprotokoll:****Geometrie:**

Rand	Randpunkt mm	Randpunkt mm	Bogenmitte mm	Bogenmitte mm	Drehrichtung
1	0.00	0.00			+/-
2	500.00	0.00			

Dieser Ausdruck wurde durch das Programm SJ MEPLA erstellt. Copyright 2000-2022 by SJ Software GmbH Aachen.

Projekt: 23065 Defender 810 - GER+CH, Logli - DF810LM_W - 10_10_500_1070_87_2

23.08.2023
Seite: 23 500.00 1070.00
4 0.00 1070.00**Lager:**

Randlager:
 Rand Lagerungsart
 2 u,φ : fest - w,v,θ : frei (Symmetrie in x-Richtung)
 4 u,φ : fest - w,v,θ : frei (Symmetrie in x-Richtung)

Elastische Linienlager:
 Nr von nach E-Modul Breite Höhe Kontakt
 x y x y N/mm² mm mm
 1 81.50 69.50 168.50 69.50 3000.00 20.00 10.00 0
 2 331.50 69.50 418.50 69.50 3000.00 20.00 10.00 0
 3 81.50 3.50 168.50 3.50 3000.00 20.00 10.00 0
 4 331.50 3.50 418.50 3.50 3000.00 20.00 10.00 0

Federlager:
 Paket Schicht x y z Cx Cy Cz Cφ Cθ
 mm mm mm N/mm N/mm N/mm N/mm N/mm
 1 1 0.0 0.0 0.0 1.000e+00 1.000e+00 0.000e+00 0.00e+00 0.00e+00
 1 1 500.0 0.0 0.0 0.000e+00 1.000e+00 0.000e+00 0.00e+00 0.00e+00

Schichten:

Schichtenaufbau:
 Paket Schicht Beschreibung
 1 3 ESG
 1 2 PVB Langzeitbelastung
 1 1 ESG

Kennwerte:
 Paket Schicht E-Mod. v Dicke Dichte σt ΔT
 N/mm² mm kg/m³ 1/K K
 1 3 70000.00 0.23 10.00 2550.00 1.000e-05 0.00
 1 2 0.00 0.50 0.76 1070.00 8.0000e-05 0.00
 1 1 70000.00 0.23 10.00 2550.00 1.000e-05 0.00

Dieser Ausdruck wurde durch das Programm SJ MEPLA erstellt. Copyright 2000-2022 by SJ Software GmbH Aachen.

23065 Defender 810 - CH, Logli

Projekt: 23065 Defender 810 - GER+CH, Logli - DF810LM_W - 10_10_500_1070_87_2

23.08.2023
Seite: 3**Lasten:****Flächenlasten:**

- konstant verteilt:
 Paket Druck
 N/mm²
 1 1.00000e-03

Berechnungsverfahren:

geometrisch linear
statische Berechnung

Kenndaten des finiten Element Netzes:

Elementgröße : 20.0 mm
 Anzahl der Elemente : 1325
 Anzahl der Knoten : 5457 (pro Paket)
 Anzahl der Unbekannten : 48257

Berechnungsergebnis:**Minimale und maximale Verformungen w:**

Paket	--- Ort ---			Verformung mm
	x mm	y mm	w mm	
1	500.00	0.00	-0.05 (min)	
	500.00	1070.00	11.59 (max)	

Maximale Hauptzugspannung:

Paket	Schicht	x mm	y mm	σ N/mm ²	σ (max) N/mm ²
1	3 (oben)	162.25	2.28	7.57	19.50
	(unten)	370.00	78.48	19.50	
1	1 (oben)	162.25	2.28	7.57	19.50
	(unten)	130.00	78.48	19.50	

Extremale Spannungen und Reaktionskraft in der elastischen Linienlagerung:

Nr.	σ N/mm ²	Reaktionskraft (Fz) N	
1	2.063 (max)		2154.19

Dieser Ausdruck wurde durch das Programm SJ MEPLA erstellt. Copyright 2000-2022 by SJ Software GmbH Aachen.

Projekt: 23065 Defender 810 - GER+CH, Logli - DF810LM_W - 10_10_500_1070_87_2

23.08.2023
Seite: 4

2	0.845 (min)	
	2.063 (max)	2154.19
3	0.845 (min)	
	-0.281 (max)	-1886.69
4	-3.095 (min)	
	-0.281 (max)	-1886.69
	-3.095 (min)	

Extremwerte:

x mm	y mm	σ N/mm ²
332.37	69.50	2.063 (max)
332.37	3.50	-3.095 (min)

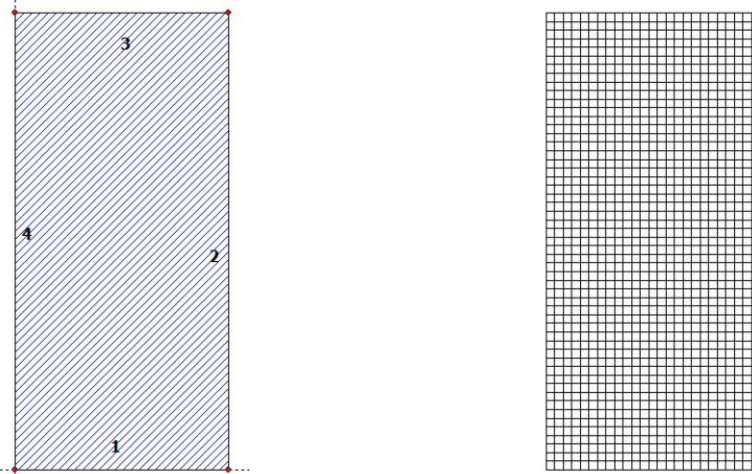
Federn:

Paket	Schicht	u (x / y) mm	v mm	w mm	φ rad	θ rad	Fx N	Fy N	Fz N	M _φ Nm	M _θ Nm
1	1	0.00 / 0.00	0.00	-0.05	0.0000	-0.0007	0.00	0.00	-0.00	0.00	-0.00
1	1	500.00 / 0.00	0.00	-0.05	0.0000	-0.0007	0.00	0.00	-0.00	0.00	-0.00

Dieser Ausdruck wurde durch das Programm SJ MEPLA erstellt. Copyright 2000-2022 by SJ Software GmbH Aachen.

Berechnung für Einheitslinienlast hu an der Oberkante der Brüstung - Ausfall einer Scheibe:

Projekt: 23065 Defender 810 - GER+CH, Logli - DF810LM_H_Ausfall - 0,000001_10_500_1070_87_2

23.08.2023
Seite: 1**SJ MEPLA Berechnungsprotokoll:****Geometrie:**

Rand	Randpunkt	Bogenmitte	Drehrichtung
1	0.00	0.00	+/-
2	500.00	0.00	

Dieser Ausdruck wurde durch das Programm SJ MEPLA erstellt. Copyright 2000-2022 by SJ Software GmbH Aachen.

Projekt: 23065 Defender 810 - GER+CH, Logli - DF810LM_H_Ausfall - 0,000001_10_500_1070_87_2

23.08.2023
Seite: 23 500.00 1070.00
4 0.00 1070.00**Lager:**

Rand	Lagerungsart
2	u,φ : fest - w,v,θ : frei (Symmetrie in x-Richtung)
4	u,φ : fest - w,v,θ : frei (Symmetrie in x-Richtung)

Elastische Linienlager:

Nr.	von	nach	E-Modul	Breite	Höhe	Kontakt	
	x	y	x	y	N/mm²	mm	mm
1	81.50	69.50	168.50	69.50	3000.00	20.00	10.00
2	331.50	69.50	418.50	69.50	3000.00	20.00	10.00
3	81.50	3.50	168.50	3.50	3000.00	20.00	10.00
4	331.50	3.50	418.50	3.50	3000.00	20.00	10.00

Federlager:

Paket	Schicht	x	y	z	C_x	C_y	C_z	C_φ	C_θ
1	1	0.0	0.0	0.0	1.000e+00	1.000e+00	0.000e+00	0.00e+00	0.00e+00
1	1	500.0	0.0	0.0	0.000e+00	1.000e+00	0.000e+00	0.00e+00	0.00e+00

Schichten:

Paket	Schicht	Beschreibung
1	3	ESG
1	2	PVB Langzeitbelastung
1	1	ESG

Kennwerte:

Paket	Schicht	E-Modul	v	Dicke	Dichte	αt	ΔT
1	3	70000.00	0.23	0.00	2550.00	1.0000e-05	0.00
1	2	0.00	0.50	0.76	1070.00	8.0000e-05	0.00
1	1	70000.00	0.23	10.00	2550.00	1.0000e-05	0.00

Dieser Ausdruck wurde durch das Programm SJ MEPLA erstellt. Copyright 2000-2022 by SJ Software GmbH Aachen.

23065 Defender 810 - CH, Logli

Projekt: 23065 Defender 810 - GER+CH, Logli - DF810LM_H_Ausfall - 0.000001_10_500_1070_87_2

23.08.2023
Seite: 3**Lasten:**

Linienlasten:		Paket		--- von --		-- nach --		qx	qy	qz
		x	y	x	y	N/mm	N/mm	N/mm		
1		0.00	1070.00	500.00	1070.00	0.00	0.00	1.00		

Flächenlasten:

- konstant verteilt:	
Paket	Druck
	N/mm²

1 0.0000e+00

Berechnungsverfahren:geometrisch linear
statische Berechnung**Kenndaten des finiten Element Netzes:**

Elementgröße	:	20.0 mm
Anzahl der Elemente	:	1325
Anzahl der Knoten	:	5457 (pro Paket)
Anzahl der Unbekannten	:	48257

Berechnungsergebnis:**Minimale und maximale Verformungen w:**

--- Ort ---		Verformung	
Paket	x	y	w
1	mm	mm	mm
1	500.00	0.00	-0.18 (min)
	490.00	1070.00	59.53 (max)

Maximale Hauptzugspannung:

Paket	Schicht	x	y	σ	σ (max)
1	3 (oben)	497.75	2.28	-0.01	-0.01
	(unten)	2.25	2.28	-0.01	-0.01
1	1 (oben)	162.25	2.28	33.49	75.98
	(unten)	142.25	78.48	75.98	

Dieser Ausdruck wurde durch das Programm SJ MEPLA erstellt. Copyright 2000-2022 by SJ Software GmbH Aachen.

Projekt: 23065 Defender 810 - GER+CH, Logli - DF810LM_H_Ausfall - 0.000001_10_500_1070_87_2

23.08.2023
Seite: 4**Extremale Spannungen und Reaktionskraft in der elastischen Linienlagerung:**

Nr.	σ	Reaktionskraft
1	N/mm²	(Fz) N
	4.868 (max)	4039.77
	1.246 (min)	
2	4.868 (max)	4039.77
	1.246 (min)	
3	-0.262 (max)	-3789.77
	-8.391 (min)	
4	-0.262 (max)	-3789.77
	-8.391 (min)	

Extremwerte:

x	y	σ
mm	mm	N/mm²
332.37	69.50	4.868 (max)
417.63	3.50	-8.391 (min)

Federn:

Paket	Schicht	u	v	w	φ	θ	Fx	Fy	Fz	M _φ	M _θ
(x / y)		mm	mm	mm	rad	rad	N	N	N	Nmm	Nmm
(0.00 / 0.00)	1	0.00	0.00	-0.18	0.0000	-0.0023	0.00	0.00	-0.00	0.00	-0.00
(500.00 / 0.00)	1	1	0.00	0.00	-0.18	0.0000	-0.0023	0.00	0.00	-0.00	-0.00

Dieser Ausdruck wurde durch das Programm SJ MEPLA erstellt. Copyright 2000-2022 by SJ Software GmbH Aachen.

Ausfallskonzept nach SIA-2057-2021Tragfähigkeit im gebrochenen ZustandTabelle 9 Nutzungsabhängige Nachweise für absturzsichernde Verglasungen²

Einbausituation nach Figur 6		Kategorie der Nutzfläche (SIA 261)				
		Kat. A	Kat. B	Kat. C	Kat. D	Kat. H
Gruppe 1A	4-seitig	NB0	NB0	NB3A	NB3A	—
	nicht 4-seitig	NB3A	NB3A			—
Gruppe 1B	≤ 2,0 kN/m	NB3A	NB3A	NB3A	NB3A	—
	> 2,0 kN/m	—	—	NB3B*	—	—
Gruppe 1C	≤ 1,0 kN/m	NB3A	NB3A	—	NB3A	—
	≤ 2,0 kN/m	—	—	NB3B*	—	—
Gruppe 2	≤ 1,0 kN/m	NB0				—
	> 1,0 kN/m	NB3A				—
Gruppe 3		NB0				—

* Bei Einbausituationen mit einem geringen Risiko eines gleichzeitigen Bruches mehrerer Scheiben kann der Nachweis nach NB3A erfolgen. In diesem Fall ist eine projektspezifische Risikoanalyse durchzuführen.

In Tabelle 9 wird eine viereckige Verglasung vorausgesetzt. Für davon abweichende Geometrien ist Tabelle 9 sinngemäss zu interpretieren.

für Holmlast <= 2.0 kN/m --> **NB3A**

Nachweis mit einer gebrochenen Scheibe ident zur DIN 18008

Nachweise im Bruchzustand (NB) werden in den Stufen 0 bis 4 klassifiziert:

- NB0 Keine zusätzlichen Nachweise erforderlich.
- NB1 Die Resttragfähigkeit unter Eigengewicht ist im teilweise gebrochenen Zustand gemäss 4.6.2 nachzuweisen.
- NB2 Die Resttragfähigkeit unter Eigengewicht ist im vollständig gebrochenen Zustand gemäss 4.6.3 nachzuweisen.
- NB3 Die Resttragfähigkeit unter Eigengewicht und weiteren Einwirkungen ist im teilweise gebrochenen Zustand gemäss 4.6.2 nachzuweisen.
NB3A mit einer gebrochenen Scheibe
NB3B mit zwei gebrochenen Scheiben
- NB4 Die Resttragfähigkeit unter Eigengewicht und weiteren Einwirkungen ist im vollständig gebrochenen Zustand gemäss 4.6.3 nachzuweisen.

Der Nachweis ist als außergewöhnliche Bemessungssituation nach SIA 260 zu führen:

$$\psi_{1.Holm} := 0.70 \quad \psi_{2.Wind} := 0.20$$

4.1.3 Ergebnistabellen Glasbemessung DF810FR - Lasten nach außen

DF810FR17 - 8.8.4 ESG mit PVB - Folie - Lasten in Absturzrichtung nach außen (OUT)

Ltot	L1	L Glas	hu	wu	def.hu	def.wu	emax.hu	emax.wu	h k 0.8	MRd,gas	MRd,max 0.8	ut 0.8	ewk1	ewk2	wk1	wk2	wkmin 0.8	def hk	def wk1	def wk2
mm	mm	mm	N/mm ²	N/mm ²	mm	mm	N/mm ²	N/mm ²	kn/m	kn/m/m	kn/m/m	-	N/mm ²	N/mm ²	kn/m ²	kn/m ²	kn/m ²	mm	mm	mm
0.00	500.0	500.0	29.63	7.93	1.57	1.49	0.80	23.70	35.56	0.40	58.27	42.07	5.63	5.63	6.34	12.25	8.84	13.69		
0.50	500.5	620.0	32.87	10.39	9.15	2.26	0.80	26.30	39.44	0.45	40.26	5.90	5.63	6.31	10.66	8.31	13.33			
1.00	600.0	670.0	35.58	13.32	10.74	1.49	0.80	28.46	42.70	0.49	50.34	4.69	4.40	3.61	10.46	8.31	16.31			
1.50	650.5	720.0	38.81	16.74	12.73	4.27	1.47	31.05	46.57	0.53	46.03	3.62	2.90	13.39	15.44	12.39	22.66			
2.00	700.0	770.0	41.53	20.71	14.60	1.48	0.80	33.22	49.84	0.57	35.41	2.90	2.43	16.57	13.75	16.47	26.45			
2.50	750.5	820.0	44.74	25.25	16.90	1.48	0.80	37.99	53.69	0.61	38.12	3.61	2.26	19.99	14.70	20.20	30.20			
3.00	800.0	870.0	47.47	30.42	19.07	1.48	0.80	37.98	56.96	0.65	34.48	3.08	2.04	24.34	17.12	15.93	34.61			
3.50	850.5	920.0	50.68	36.25	21.67	11.96	1.48	0.80	40.54	60.82	0.69	30.20	3.29	1.39	1.40	29.00	16.67	39.00		
4.00	900.0	970.0	53.42	42.77	24.13	14.92	1.48	0.80	42.74	64.10	0.73	26.55	2.75	1.10	1.19	34.22	16.42	44.07		
4.50	950.5	1020.0	56.61	50.04	27.02	18.40	1.48	0.80	45.29	67.93	0.77	22.30	2.67	0.83	0.83	40.03	15.18	49.14		
5.00	1000.0	1070.0	59.26	58.08	29.78	22.45	1.48	0.80	47.49	71.23	0.81	25.43	2.63	0.63	0.63	46.46	14.05	54.89		
5.50	1050.0	1120.0	62.95	66.95	32.97	27.13	1.48	0.80	50.04	75.06	0.85	23.64	2.62	0.44	0.44	53.56	11.83			
6.00	1100.0	1170.0	66.30	76.67	36.02	32.51	1.48	0.80	52.74	78.36	0.89	22.10	2.60	0.30	0.30	61.34	9.67			
6.50	1150.0	1220.0	68.49	87.79	39.52	38.65	1.48	0.80	54.79	82.19	0.93	21.19	2.66	0.16	0.16	69.83	6.32			
7.00	1200.0	1270.0	71.24	98.84	42.86	45.63	1.48	0.80	56.99	85.49	0.97	20.31	2.71	0.07	0.07	79.07	2.97			
7.50	1250.5	1320.0	74.42	111.38	46.66	53.10	1.48	0.80	59.54	89.30	1.01	16.99	2.79	0.03	0.03	89.10	19.48			
8.00	1300.0	1370.0	77.18	124.93	50.30	62.36	1.48	0.80	61.74	92.62	1.05	51.13	2.75	0.10	0.10	99.94	0.00			
8.50	1350.5	1420.0	80.36	139.54	54.40	72.27	1.48	0.80	64.20	96.43	1.10	51.37	2.77	0.00	0.00	111.63	18.15			
9.00	1400.5	1470.0	83.12	155.74	58.32	83.31	1.48	0.80	66.46	99.74	1.13	51.05	2.72	0.22	0.22	124.19	0.00			
9.50	1450.5	1520.0	86.30	172.08	62.73	95.58	1.48	0.80	69.04	103.56	1.18	47.29	2.74	0.28	0.28	137.66	0.00			
10.00	1500.5	1570.0	89.05	190.09	66.94	109.15	1.48	0.80	71.24	106.86	1.21	20.96	2.73	0.31	0.31	152.07	0.00			

DF810FR17 - 8.8.4 ESG mit PVB - Folie - Lasten in Absturzrichtung nach außen (OUT)																				
Ltot	L1	L Glas	hu	wu	def.hu	def.wu	emax.hu	emax.wu	h k 0.8	MRd,gas	MRd,max 0.8	ut 0.8	ewk1	ewk2	wk1	wk2	wkmin 0.8	def hk	def wk1	def wk2
mm	mm	mm	N/mm ²	N/mm ²	mm	mm	N/mm ²	N/mm ²	kn/m	kn/m/m	kn/m/m	-	N/mm ²	N/mm ²	kn/m ²	kn/m ²	kn/m ²	mm	mm	mm
0.00	500.0	500.0	29.63	7.93	1.57	1.49	0.80	23.70	35.56	0.40	58.27	42.07	5.63	5.63	6.34	12.25	8.84	13.69		
0.50	500.5	620.0	32.87	10.39	9.15	2.26	0.80	26.30	39.44	0.45	40.26	5.90	4.40	3.61	10.66	8.31	16.31			
1.00	600.0	670.0	35.58	13.32	10.74	1.49	0.80	28.46	42.70	0.49	50.34	4.69	3.94	3.11	14.72	12.39	22.66			
1.50	650.5	720.0	38.81	16.74	12.73	4.27	1.47	31.05	46.57	0.53	46.03	3.62	2.90	2.13	13.75	13.75	16.47			
2.00	700.0	770.0	41.53	20.71	14.60	1.48	0.80	33.22	49.84	0.57	35.41	2.90	2.43	2.43	20.20	16.67	26.45			
2.50	750.5	820.0	44.74	25.25	16.90	1.48	0.80	37.99	53.69	0.61	38.12	3.61	2.26	1.99	24.34	17.12	34.61			
3.00	800.0	870.0	47.47	30.42	19.07	1.48	0.80	37.98	56.96	0.65	34.48	3.08	2.04	1.68	24.34	17.12	34.61			
3.50	850.5	920.0	50.68	36.25	21.67	11.96	1.48	0.80	40.54	60.82	0.69	30.20	3.29	1.39	1.40	29.00	16.67	39.00		
4.00	900.0	970.0	53.42	42.77	24.13	14.92	1.48	0.80	42.74	64.10	0.73	26.55	2.75	1.10	1.19	34.22	16.42	44.07		
4.50	950.5	1020.0	56.61	50.04	27.02	18.40	1.48	0.80	45.29	67.93	0.77	22.30	2.67	0.83	0.83	40.03	15.18	49.14		
5.00	1000.0	1070.0	59.26	58.08	29.78	22.45	1.48	0.80	47.49	71.23	0.81	25.43	2.63	0.63	0.63	46.46	14.05	54.89		
5.50	1050.0	1120.0	62.95	66.95	32.97	27.13	1.48	0.80	50.04	75.06	0.85	23.64	2.62	0.44	0.44	53.56	11.83	60.66		
6.00	1100.0	1170.0	66.30	76.67	36.02	32.51	1.48	0.80	52.74	78.36	0.89	22.10	2.60	0.30	0.30	61.34	9.67	67.14		
6.50	1150.0	1220.0	68.49	87.79	39.52	38.65	1.48	0.80	54.79	82.19	0.93	21.19	2.66	0.16	0.16	69.83	6.32	73.62		
7.00	1200.0	1270.0	71.24	98.84	42.86	45.63	1.48	0.80	56.99	85.49	0.97	20.31	2.71	0.07	0.07	79.07	2.97	80.85		
7.50	1250.5	1320.0	74.42	111.38	46.66	53.10	1.48	0.80	59.54	89.30	1.01	16.99	2.79	0.03	0.03	89.10	19.48	89.10		
8.00	1300.0	1370.0	77.18	124.93	50.30	62.36	1.48	0.80	61.74	92.62	1.05	51.13	2.75	0.10	0.10	99.94	0.00	19.15		
8.50	1350.5	1420.0	80.36	139.54	54.40	72.27	1.48	0.80	64.20	96.43	1.10	51.37	2.77	0.17	0.17	111.63	18.15	111.63		
9.00	1400.5	1470.0	83.12	155.74	58.32	83.31	1.48	0.80	66.46	99.74	1.13	51.05	2.72	0.22	0.22	124.19	0.00	17.31		
9.50	1450.5	1520.0	86.30	172.08	62.73	95.58	1.48	0.80	69.04	103.56	1.18	47.29	2.74	0.28	0.28	137.66	0.00	15.75		
10.00	1500.5	1570.0	89.05	190.09	66.94	109.15	1.48	0.80	71.24	106.86	1.21	20.96	2.73	0.31	0.31	152.07	0.00	15.75		

DF810FR17 - 8.8.4 ESG mit PVB - Folie - Lasten in Absturzrichtung nach außen (OUT)																				
Ltot	L1	L Glas	hu	wu	def.hu	def.wu	emax.hu	emax.wu	h k = 1.6	MRd,gas	MRd,max 1.6	ut 1.6	ewk1	ewk2	wk1	wk2	wkmin 1.6	def hk	def wk1	def wk2
mm	mm	mm	N/mm ²	N/mm ²	mm	mm	N/mm ²	N/mm ²	kn/m	kn/m/m	kn/m/m	-	N/mm ²	N/mm ²	kn/m ²	kn/m ²	kn/m ²	mm	mm	mm
0.00	500.0	500.0	29.63	7.93	1.57	1.49	0.80	23.70	35.56	0.40	58.27	42.07	5.63	5.63	6.34	12.25	8.84	13.69		
0.50	500.5	620.0	32.87	10.39	9.15	2.26	0.80	26.30	39.44	0.45	40.26	5.90	4.40	3.61	10.66	8.31	16.31			
1.00	600.0	670.0	35.58	13.																

23065 Defender 810 - CH, Logli

DF810FR17 - 8.8.4 ESG mit PVB - Folie - Ausfall einer Scheibe - Belastung in Absturzrichtung nach außen

Fu: 1 Horizontal Einheitlast als Linienlast an der Oberkante Glasturzüng

frk_ESG: 120 Charakteristische Biegezugfestigkeit ESG nach SIA-2057_2021

ym_ESG: 1,5 N/mm²

frd_ESG: 80,00 N/mm²

yL_Holm: 0,7 -

Q-exp: 1,0 -

Bemessungswert der Biegezugfestigkeit ESG nach SIA-2057_2021 für eine Scheibe

Kombinationsbeiwert für Holznägel K0_C bei außergewöhnlicher Lastfallkombination nach SIA-260_2013

Teilsicherheitsbeiwert Lasteinheit für von fallende Ecken bei außergewöhnlicher Lastfallkombination nach SIA-2057_2021

DF810FR17 - 8.8.4 ESG mit PVB - Folie - Ausfall einer Scheibe - Belastung in Absturzrichtung nach außen

Ltot mm	L1 mm	L Glas mm	hu emax_hu N/mm ²	hk=0.8 kNm				hk=0.8 kNm				hk=1.6 kNm				
				hk 0.8 exp	eff d & R exp	ut 0.8 exp	L1 max exp	hk max exp	L1 max exp	Ltot max exp	Ltot min 0.8 mm	hk 1.6 exp	eff d & R exp	ut 1.6 exp	L1 max exp	Ltot max exp
400	500,5	500,0	98,00	0,26	33,93	0,41	1216	1235	1315	600	1,12	65,86	0,32	608	677	707
450	550,5	620,0	65,38	0,26	36,61	0,46	1203	1222	1302	630	1,12	73,23	0,32	601	671	701
500	600,5	70,60	70,60	0,26	39,54	0,49	1215	1285	1315	700	1,12	79,07	0,39	608	677	707
550	650,5	77,15	77,15	0,26	43,20	0,54	1205	1274	1304	750	1,12	86,41	1,08	602	672	702
600	700,5	77,00	82,39	0,26	46,14	0,58	1215	1284	1314	800	1,12	92,28	1,15	607	677	707
650	750,5	82,00	88,93	0,26	49,80	0,62	1206	1275	1305	850	1,12	99,60	1,25	603	672	702
700	800,5	87,00	94,18	0,26	52,74	0,66	1214	1284	1314	900	1,12	105,48	1,32	607	677	707
750	850,5	92,00	100,70	0,26	56,39	0,70	1207	1276	1306	950	1,12	112,78	1,41	603	673	703
800	900,5	97,00	105,96	0,26	59,34	0,74	1214	1284	1314	1000	1,12	118,68	1,48	607	677	707
850	950,5	102,00	112,47	0,26	62,98	0,79	1207	1277	1307	1050	1,12	125,97	1,57	604	673	703
900	1000,5	107,00	117,75	0,26	65,94	0,82	1214	1283	1313	1100	1,12	131,88	1,65	607	676	706
950	1050,5	112,00	124,24	0,26	69,57	0,87	1208	1277	1307	1150	1,12	139,15	1,74	604	673	703
1000	1100,5	117,00	129,13	0,26	72,54	0,91	1214	1283	1313	1200	1,12	145,07	1,81	607	676	706
1050	1150,5	122,00	136,01	0,26	76,17	0,95	1208	1278	1308	1250	1,12	152,33	1,90	604	674	704
1100	1200,5	127,00	141,31	0,26	79,13	0,99	1214	1283	1313	1300	1,12	158,27	1,98	607	676	706
1150	1250,5	132,00	147,78	0,26	82,76	1,03	1209	1278	1308	1302	1,12	165,51	2,07	604	674	704
1200	1300,5	137,00	153,08	0,26	85,72	1,07	1214	1283	1313	1302	1,12	171,45	2,14	607	676	706
1250	1350,5	142,00	159,55	0,26	89,35	1,12	1209	1279	1309	1302	1,12	178,70	2,23	605	674	704
1300	1400	147,00	164,86	0,26	92,32	1,15	1214	1283	1313	1302	1,12	184,64	2,31	607	676	706
1350	1450	152,00	171,32	0,26	95,94	1,20	1210	1279	1309	1302	1,12	191,88	2,40	605	674	704
1400	1500	157,00	176,64	0,26	98,92	1,24	1214	1283	1313	1302	1,12	197,84	2,47	607	676	706
					Minimum	1272	1302						Minimum	671	701	

23065 Defender 810 - CH, Logli

DF810FR21 - 10.10.4 ESG mit PVB - Folie - Lasten in Absturzrichtung nach außen (OUT)

L3	70	mm		Abstand oberer zu unterer Lagerpunkt: Glas im Profil
L4	29,5	mm		Abstand unterer Lagerpunkt: Glas Profil zu Unterkerne Profil
L7	-0,5	mm		Abstand unterer Lagerpunkt: Glas Profil zu Unterkerne Profil
Fu	1	mm		Horizontale Einheitlast: als Lineallast auf der Oberkante Gleisbrückung
wu	0,0001	N/mm²		Horizontale Einheitlast: als Flächenauslast der gesamten Gleisbrückung
EJ-Folie	120	N/mm²		E-Modul PVF-Folie nach Vorgaben der SIA-2057/2021
ym, ESG	1,5	N/mm²		Charakteristische Begeastigtestigte ESG nach SIA-2057/2021
rm, ESG	88,00	N/mm²		Bemessungswert der Begeastigtestigte ESG nach SIA-2057/2021 für VSG-Scheibe
Ru, ESG	0,7	N/mm²		Kombinationsbeiwert für Holmastein (RatC) nach SIA-260_2013
r0, Holm	0,6	-		Kombinationsbeiwert für Windseiten nach SIA-260_2013
r0, Wind	1,5	-		Teilichtheitsbeiwert Lettsseite für variable Lasten nach SIA-260_2013
Q	-	-		

DF810FR21 - 10.10.4 ESG mit PVB - Folie - Lasten in Absturzrichtung nach außen (OUT)

Ltot mm	L1 mm	LGlas mm	hu	wU	def hu	wmax,hu	def,wu	wmax,wu	hk=0,8				hk=0,8				hk=0,8			
									hk,Rd,gas	kn/m	kn/m²	def,wk1	wk1	def,wk2	wk2	def,wk3	wk3	def,wk4	wk4	def,wk5
600	500,5	570,0	19,41	4,11	0,82	4,89	2,27	0,80	17,22	25,84	23,29	0,26	71,90	47,80	9,77	9,77	3,29	12,06	13,54	8,02
650	550,5	620,0	21,53	5,38	1,17	5,97	2,27	0,80	17,22	25,84	23,29	0,29	69,07	46,61	11,57	7,81	4,30	15,47	9,13	12,43
700	600,5	670,0	23,30	6,89	1,63	7,03	2,27	0,80	18,64	27,96	32	0,32	67,91	9,49	6,49	5,51	1,47	10,58	17,11	14,79
750	650,5	720,0	25,41	8,66	2,21	8,32	2,25	0,80	20,33	30,49	30,49	0,35	63,90	44,44	7,68	5,34	6,93	16,97	11,80	17,11
800	700,5	780,0	27,19	10,70	2,95	9,57	2,27	0,80	21,75	32,63	32,63	0,37	64,52	42,26	6,43	4,54	8,56	18,90	13,35	19,90
850	750,5	820,0	29,30	13,04	3,62	11,05	2,25	0,80	23,44	35,16	35,16	0,40	56,71	42,26	5,31	3,82	12,56	20,30	14,61	22,61
900	800,5	870,0	31,08	15,70	4,90	12,49	2,25	0,80	24,86	37,30	37,30	0,42	41,26	41,26	4,51	3,30	22,10	16,19	25,62	17,50
950	850,5	920,0	33,18	18,70	6,19	14,18	2,26	0,80	26,54	39,82	39,82	0,45	53,54	40,09	3,78	2,83	14,96	23,37	17,50	28,98
1000	900,5	970,0	34,97	22,06	7,71	22,06	2,27	0,80	27,98	41,96	41,96	0,48	51,15	40,08	3,24	2,47	17,65	24,96	19,07	32,62
1050	950,5	1020,0	37,07	25,80	9,51	22,6	2,26	0,80	29,66	44,48	44,48	0,51	48,35	37,91	2,73	2,14	20,64	25,99	20,38	36,24
1100	1000,5	1070,0	38,86	29,94	19,5	22,6	2,27	0,80	31,09	46,63	46,63	0,53	45,96	36,91	2,36	1,89	23,95	27,32	21,93	40,34
1150	1100,5	1120,0	40,95	34,49	21,59	14,01	2,26	0,80	32,76	49,14	49,14	0,56	43,18	35,73	2,00	1,66	27,59	28,02	23,19	44,40
1200	1150,5	1170,0	42,75	39,49	23,59	16,78	2,27	0,80	35,10	51,30	51,30	0,58	40,78	34,73	1,73	1,47	31,59	29,01	24,70	49,00
1250	1200,5	1220,0	44,84	44,95	25,88	19,94	2,26	0,80	35,87	53,81	53,81	0,61	39,99	37,99	3,56	3,10	35,96	29,27	25,85	53,52
1300	1280,5	1320,0	46,94	50,89	28,07	23,53	2,27	0,80	37,31	55,97	55,97	0,64	35,59	32,55	3,27	1,16	40,77	29,83	27,78	58,61
1350	1320,5	1370,0	50,52	64,29	32,94	32,94	2,27	0,80	40,42	60,62	60,62	0,66	38,82	30,42	3,02	0,92	45,86	29,63	28,33	63,64
1400	1380,5	1420,0	52,61	71,80	35,62	37,24	2,26	0,80	42,09	63,13	63,13	0,78	57,44	30,53	2,82	0,78	28,89	30,53	26,36	31,70
1500	1400,5	1470,0	54,41	79,86	38,19	42,93	2,27	0,80	43,53	65,29	65,29	0,74	52,23	28,20	0,66	0,66	63,89	30,53	26,92	32,40
1550	1450,5	1520,0	56,49	88,51	41,08	49,24	2,26	0,80	45,19	67,79	67,79	0,77	52,06	27,03	0,55	0,66	70,81	30,46	28,96	36,24
1600	1500,5	1570,0	58,30	97,76	43,83	56,22	2,26	0,80	46,64	69,96	69,96	0,80	50,04	26,02	0,46	0,46	78,21	25,71	33,37	93,63

DF810FR21 - 10.10.4 ESG mit PVB - Folie - Lasten in Absturzrichtung nach außen (OUT)

Ltot mm	L1 mm	LGlas mm	hu	wU	def hu	wmax,hu	def,wu	wmax,wu	hk=1,6				hk=1,6				hk=1,6				
									hk,1,6	kn/m	N/mm²	defE,max,1,6	ut,1,6	defE,max,1,6	ut,1,6	defE,max,1,6	ut,1,6	hk,1,6	kn/m	N/mm²	defE,max,1,6
1,60	31,68	46,58	0,23	46,02	3,63	40,36	34,95	0,29	7,55	7,55	7,55	0,41	7,55	7,55	0,41	7,55	7,55	7,55	7,55	7,55	7,55
1,60	34,45	51,67	0,59	51,67	2,21	37,28	34,54	0,57	6,76	5,79	5,79	0,62	6,76	5,79	0,62	6,76	5,79	6,76	5,79	6,76	5,79
1,60	59,31	88,97	1,01	1,01	1,08	17,15	15,85	0,30	32,02	3,61	3,61	0,43	32,02	3,61	0,43	32,02	3,61	11,02	13,86	11,02	15,98
1,60	62,18	93,26	1,06	1,06	5,85	15,14	-0,30	0,78	25,27	2,64	2,64	0,59	25,27	2,64	0,59	25,27	2,64	17,12	18,64	17,12	21,78
1,60	65,52	98,28	1,12	1,12	-11,42	12,80	2,27	0,80	19,64	1,78	1,78	0,46	19,64	1,78	0,46	19,64	1,78	20,86	6,79	20,86	6,79
1,60	68,40	102,60	1,17	1,17	-16,22	10,79	-0,69	0,46	23,86	1,19	1,19	0,46	23,86	1,19	0,46	23,86	1,19	25,12	5,84	25,12	5,84
1,60	71,74	107,62	1,22	1,22	-21,80	8,45	-0,84	0,33	14,90	21,51	21,51	0,66	14,90	21,51	0,66	14,90	21,51	29,92	4,06	29,92	4,06
1,60	74,62	111,94	1,27	1,27	-32,14	4,10	-0,95	0,23	19,50	0,29	0,29	0,23	19,50	0,29	0,23	19,50	0,29	35,30	2,21	35,30	2,21
1,60	77,95	116,93	1,33	1,33	-36,94	2,08	-1,12	0,13	17,15	0,97	0,97	0,13	17,15	0,97	0,13	17,15	0,97	41,28	0,00	41,28	0,00
1,60	80,83	121,25	1,38	1,38	-42,52	-0,26	-1,19	-0,01	15,14	0,78	0,78	-1,19	15,14	0,78	-1,19	15,14	0,78	47,90	0,00	47,90	0,00
1,60	84,48	126,26	1,43	1,43	-47,32	-2,27	-1,24	-0,06	14,88	0,56	0,56	-1,24	14,88	0,56	-1,24	14,88	0,56	55,18	0,00	55,18	0,00
1,60	87,06	130,58	1,48	1,48	-52,86	-4,60	-1,29	0,11	13,54	0,32	0,32	-1,29	13,54	0,32	-1,29	13,54	0,32	127,78	0,00	127,78	0,00
1,60	90,38	135,58	1,54	1,54	-57,69	-6,63	-1,32	-0,15	13,83	0,80	0,80	-1,32	13,83	0,80	-1,32	13,83	0,80	141,62	0,00	141,62	0,00
1,60	93,28	139,92	1,59	1,59	-	-	-	-	-	-	-	-	-	-	-	-	-	156,42	0,00	156,42	0,00

DF810FR21 - 10.10.4 ESG mit PVB - Folie - Lasten in Absturzrichtung nach außen (OUT)

Ltot mm	L1 mm	LGlas mm	
------------	----------	-------------	--

DF810FR17 - 8.8.4 ESG mit SGP - Folie - EXT - Lasten in Absturzrichtung nach außen (OUT)

L3	70	mm	mm
L4	29.5	mm	mm
L7	-0.5	mm	Abstand oberer zu unterer Lagerpunkt Glas im Profil
Fu	1	mm	Abstand unterer Lagerpunkt Glas Profil zu Unterkante Profil
wd	1	mm	Horizontaler Einheitlast als Linienlast an der Oberkante Glasstützung
EJ.Folie	11.92	N/mm ²	Horizontale Einheitlast als Flächena last auf der gesamten Glasstützung
RK.ESG	120	N/mm ²	EKG-Foto nach Z-70-3.25 für Ladezweck in und zwischenstützentemperatur von 50° - extern
ym.ESG	1.5	N/mm ²	Charakteristische Begezagfestigkeit ESG nach SIA-059-2021
Rd.ESG	80.00	N/mm ²	Charakteristischer Wert Materialseitig für ESG nach SIA-2057-2021 für VSG-Scheibe mit kvag=1,0 nach AbZ Z-70.3.25
o.Halm	0.7	-	Bemessungswert der Biegezugfestigkeit ESG nach SIA-2057-2021 für Holmastein (Nat.C) nach SIA-260-2013
o.Wind	0.6	-	Kombinationsbewert für Windlasten nach SIA-260-2013
Q	1.5	-	Teilbeherrschungswert Letz Seite für variable Lasten nach SIA-260_2013

DF810FR17 - 8.8.4 ESG mit SGP - Folie - EXT - Lasten in Absturzrichtung nach außen (OUT)

Ltot	L1	L2	L.Glas	hu	hu	hu	def.hu	emax.hu	wu	def.wu	wu	def.wk1	wk1	def.wk2	wk2	def.wkmin.0.8	wkmin.0.8	def.wk1	def.wk2	def.wkmin.0.8	def.wk1	def.wk2		
mm	mm	mm	mm	mm	mm	mm	mm	N/mm ²	N/mm ²	mm	N/mm ²	mm	mm	mm										
600	500.5	570.0	24.67	4.22	1.62	0.80	19.74	29.60	0.37	56.00	39.32	6.16	7.85	3.38	5.54	8.09	8.09	5.54	7.85	6.16	7.85	8.09		
650	550.5	620.0	27.37	5.30	2.81	1.24	21.90	32.84	0.41	52.40	38.01	6.71	8.32	4.24	5.23	9.12	9.12	6.71	8.32	6.03	9.12	9.23		
700	600.5	670.0	29.41	6.54	3.80	1.61	23.53	35.79	0.44	50.80	40.46	5.46	6.77	4.05	5.23	9.36	9.36	6.77	6.77	6.03	9.36	9.23		
750	650.5	720.0	32.10	7.93	4.54	1.63	21.9	25.68	0.48	38.52	46.09	5.46	7.18	4.28	5.34	9.76	9.76	7.18	7.18	11.96	9.76	11.96		
800	700.5	770.0	32.10	7.93	4.54	1.62	21.9	25.68	0.51	40.98	43.36	5.46	7.88	4.27	5.34	9.98	9.98	7.88	7.88	13.59	9.98	13.59		
850	750.5	820.0	36.83	11.25	5.32	1.64	21.9	25.68	0.55	44.20	39.78	5.46	8.23	4.21	5.34	9.00	9.00	10.02	10.02	8.23	9.00	15.01		
900	800.5	870.0	38.88	13.18	6.80	1.63	21.9	25.68	0.58	46.66	31.05	5.46	8.84	4.20	5.32	9.98	9.98	10.38	10.38	8.84	9.98	16.77		
950	850.5	920.0	41.56	15.31	8.80	1.64	21.9	25.68	0.62	33.25	49.87	5.46	1.98	4.16	1.66	12.54	1.98	10.17	10.17	9.14	12.54	18.35		
1000	900.5	970.0	43.61	20.10	1.65	0.80	21.9	25.68	0.65	34.89	28.91	5.46	1.44	4.12	1.21	10.28	1.44	10.28	10.28	9.67	10.28	20.29		
1050	950.5	1020.0	46.29	22.51	8.11	1.64	0.80	21.9	25.68	0.69	37.03	25.55	5.46	27.17	2.22	1.21	16.16	9.79	22.03	22.03	9.88	9.79	22.03	
1100	1000.5	1070.0	48.34	22.97	24.77	11.70	1.65	0.80	21.9	25.68	0.73	38.67	28.01	5.46	24.44	1.22	1.21	18.38	9.79	10.31	10.31	24.43		
1150	1050.5	1120.0	51.02	27.38	11.55	1.65	0.80	40.82	61.22	0.77	20.86	24.76	5.46	26.26	0.90	0.90	20.78	8.76	26.03	26.03	10.40	8.76	26.03	
1200	1100.5	1170.0	53.08	29.21	13.53	1.66	0.80	42.46	63.70	0.80	18.12	23.61	5.46	23.37	0.61	0.61	23.37	8.22	10.72	10.72	28.30	8.22	28.30	
1250	1150.5	1220.0	55.75	32.70	15.81	1.65	0.80	44.60	66.90	0.84	14.56	22.11	5.46	26.16	0.44	0.44	7.03	10.68	30.38	30.38	10.68	7.03	30.38	
1300	1200.5	1270.0	57.81	36.45	18.36	1.66	0.80	46.25	69.37	0.87	11.81	20.96	5.46	32.33	0.33	0.33	25.96	6.13	10.88	10.88	32.84	6.13	32.84	
1350	1250.5	1320.0	40.46	35.53	21.21	1.65	0.80	48.38	72.56	0.91	18.26	21.47	5.46	4.35	0.21	0.21	32.37	10.72	35.10	35.10	10.72	10.72	35.10	
1400	1300.5	1370.0	62.54	41.40	24.36	1.66	0.80	50.03	75.05	0.94	18.31	20.03	5.46	0.21	0.13	0.13	35.10	3.24	10.77	10.77	3.24	10.77	3.24	
1450	1350.5	1420.0	65.20	49.31	44.81	27.84	1.66	0.80	52.16	78.24	0.98	16.82	20.03	5.46	0.21	0.13	0.13	39.45	1.21	10.45	10.45	40.18	1.21	40.18
1500	1400.5	1470.0	67.27	54.17	47.91	21.91	1.67	0.80	53.82	80.72	1.01	-0.80	15.66	5.46	0.00	0.00	39.34	0.00	10.35	10.35	43.34	0.00	43.34	
1550	1450.5	1520.0	69.93	59.33	51.57	35.88	1.66	0.80	55.94	83.92	1.05	14.17	-0.88	5.46	0.00	0.00	47.46	0.00	9.86	9.86	47.46	0.00	47.46	
1600	1500.5	1570.0	72.00	64.80	54.89	40.48	1.67	0.80	57.60	86.40	1.08	-7.11	13.01	-0.13	0.24	-0.13	51.84	0.00	9.60	9.60	51.84	0.00	51.84	

DF810FR17 - 8.8.4 ESG mit SGP - Folie - EXT - Lasten in Absturzrichtung nach außen (OUT)

Ltot	L1	L2	L.Glas	hu	hu	hu	def.hu	emax.hu	wu	def.wu	wu	def.wk1	wk1	def.wk2	wk2	def.wkmin.1.6	wkmin.1.6	def.wk1	def.wk2	def.wkmin.1.6	def.wk1	def.wk2
mm	mm	mm	mm	mm	mm	mm	mm	N/mm ²	N/mm ²	mm	N/mm ²											
600	500.5	570.0	24.67	4.22	1.62	0.80	19.74	29.60	0.37	56.00	39.32	6.16	7.85	3.38	5.54	8.09	8.09	5.54	7.85	6.16	7.85	8.09
650	550.5	620.0	27.37	5.30	2.81	1.24	21.90	32.84	0.41	52.40	38.01	6.71	8.32	4.24	5.23	9.12	9.12	6.71	8.32	6.03	9.12	9.23
700	600.5	670.0	29.41	6.54	3.80	1.61	21.90	35.79	0.44	50.80	40.46	6.71	8.32	4.05	5.06	9.36	9.36	6.71	8.32	6.03	9.36	9.23
750	650.5	720.0	7.93	7.93	4.54	1.62	21.9	38.52	0.48	48.09	46.09	6.71	8.32	4.28	5.23	9.76	9.76	6.71	8.32	6.03	9.76	9.23
800	700.5	770.0	7.93	7.93	4.54	1.62	21.9	38.52	0.51	49.98	47.32	6.71	8.32	4.27	5.22	9.76	9.76	6.71	8.32	6.03	9.76	9.23
850	750.5	820.0	36.83	11.25	5.32	1.24	21.9	38.52	0.55	44.20	39.78	6.71	8.32	4.20	5.21	9.76	9.76	6.71	8.32	6.03	9.76	9.23
900	800.5	870.0	38.88	13.18	5.32	1.24	21.9	38.52	0.58	46.66	31.05	6.71	8.32	4.23	5.22	9.76	9.76	6.71	8.32	6.03	9.76	9.23
950	850.5	920.0	41.56	15.31	5.32	1.24	21.9	38.52	0.62	48.38	28.91	6.71	8.32	4.26	5.23	9.76	9.76	6.71	8.32	6.03	9.76	9.23
1000	900.5	970.0	43.61	20.10	5.32	1.24	21.9	38.52	0.65	50.03	25.55	6.71	8.32	4.29	5.24	9.76	9.76	6.71	8.32	6.03	9.76	9.23
1050	950.5	1020.0	46.29	22.51	5.32	1.24	21.9	38.52	0.69	52.16	21.90	6.71	8.32	4.32	5.25	9.76	9.76	6.71	8.32	6.03	9.76	9.23
1100	1000.5	1070.0	48.34	22.97	5.32	1.24	21.9	38.52	0.73	54.01	18.38	6.71	8.32	4.35	5.28	9.76	9.76	6.71	8.32	6.03	9.76	9.23
1150	1050.5	1120.0	51.02	27.38	5.32	1.24	21.9	38.52	0.77	56.00	14.76	6.71	8.32	4.38	5.31	9.76	9.76	6.71	8.32	6.03	9.76	9.23
1200	1100.5	1170.0	53.08	32.70	5.32	1.24	21.9	38.52	0.80	58.00	11.24	6.71	8.32	4.41	5.34	9.76	9.76	6.71	8.32	6.03	9.76	9.23
1250	1150.5	1220.0	55.75	32.72	5.32	1.24	21.9	38.52	0.84	60.00	8.72	6.71	8.32	4.44	5.35	9.76	9.76	6.71	8.32	6.03	9.76	9.23
1300	1200.5	1270.0	57.81	35.37	5.32	1.24	21.9	38.52	0.88	62.00	6.20	6.71	8.32	4.44	5.35	9.76	9.76	6.71	8.32	6.03	9.76	9.23
1350	1250.5	1320.0	40.46	35.53	5.32	1.24	21.9	38.52	0.92	64.00	3.69	6.71	8.32	4.44	5.35	9.76	9.76	6.71	8.32	6.03	9.76	9.23
1400	1300.5	1370.0																				

DF810FR21 - 10.10.4 ESG mit SGF - Folie - EXT - Lasten in Absturzrichtung nach außen (OUT)

L3	70	mm		Abstand oberer zu unterer Lagerpunkt: Glas im Profil
L4	29,5	mm		Abstand unterer Lagerpunkt: Glas Profil zu Unterkante Profil
L7	-0,5	mm		Abstand unterer Lagerpunkt: Glas Profil zu Unterkante Glas
Fu	1	mm		Horizontale Einheitstast: ab Linienlast auf der gesamten Glasbreitung
wu	11,92	N/mm ²		Horizontale Einheitstast: ab Linienlast an der Oberkante Glasbreitung
EJ.Folie	120	N/mm ²		Charakteristische Beigezugfestigkeit ESG nach SIA-2057-2021
ym.ESG	1,5	N/mm ²		Bemessungswert Materialsteife für ESG nach SIA-2057-2021 für VSG-Scheiben mit kvag=1,0 nach AbZ-70.3.253
Fu.ESG	80,00	N/mm ²		Kombinationsbeiwert für Holmaisen (Kat.C) nach SIA-260-2013
o.Holm	0,7	-		Teilheitsbeiwert für Windseiten nach SIA-260-2013
o.Wind	0,6	-		
o.Q	1,5	-		

DF810FR21 - 10.10.4 ESG mit SGF - Folie - EXT - Lasten in Absturzrichtung nach außen (OUT)

Ltot mm	L1 mm	LGlas mm	def.hu mm	wU mm	def.wu mm	def.wu mm	def.wu N/mm ²	def.wu N/mm ²	hK 0,8 kNm/m	hRd.glas kNm/m	def.wk1 N/mm ²	def.wk1 N/mm ²	def.wk2 N/mm ²	def.wk2 N/mm ²	def.wk1 kNm/m	def.wk1 mm	def.wk2 kNm/m	def.wk2 mm
									def.wu N/mm ²	def.wu N/mm ²	def.wk1 N/mm ²	def.wk2 N/mm ²	def.wk1 N/mm ²	def.wk2 N/mm ²	def.wk1 mm	def.wk2 mm	def.wk1 mm	def.wk2 mm
600	500,5	570,0	2,38	0,51	2,41	0,80	13,30	19,96	0,25	66,72	44,02	10,26	1,90	7,93	5,23	6,66	5,76	7,56
650	550,5	620,0	18,43	5,23	0,70	2,39	14,74	22,12	0,28	64,32	42,01	12,30	8,22	2,39	8,61	9,59	5,49	8,71
700	600,5	670,0	19,82	6,12	0,94	2,42	15,86	23,78	0,30	62,46	42,23	10,21	6,90	2,95	9,59	7,56	7,56	7,56
750	650,5	720,0	21,61	4,47	1,23	2,41	17,39	25,93	0,32	60,08	41,23	8,31	5,70	3,58	10,22	7,01	9,71	9,71
800	700,5	770,0	23,00	5,35	8,27	1,59	18,40	27,60	0,35	58,22	40,45	7,04	4,89	4,89	11,19	7,78	11,00	11,00
850	750,5	820,0	24,80	6,33	9,56	2,01	2,42	0,80	19,84	29,76	0,37	55,82	40,45	4,13	5,06	11,74	12,11	12,11
900	800,5	870,0	26,19	7,40	10,75	2,51	0,80	20,95	31,43	0,39	53,97	5,02	3,60	5,92	12,60	9,03	13,48	13,48
950	850,5	920,0	27,98	8,59	12,19	3,10	2,43	0,80	22,38	33,58	0,42	51,58	37,66	4,23	3,09	13,87	14,74	14,74
1000	900,5	970,0	29,38	9,89	13,53	3,77	2,45	0,80	23,50	35,26	0,44	49,72	36,88	3,67	2,73	7,91	10,28	10,28
1050	950,5	1020,0	31,17	11,31	15,15	4,35	2,44	0,80	24,94	37,40	0,47	47,33	35,88	3,12	2,37	9,05	14,21	10,78
1100	1000,5	1070,0	32,56	16,64	2,85	5,43	2,46	0,80	26,05	39,07	0,49	45,48	35,10	2,73	2,11	14,84	11,45	19,18
1150	1050,5	1120,0	34,35	18,43	6,44	2,45	0,80	27,48	41,22	0,52	43,09	34,10	2,34	1,85	11,61	15,06	11,91	20,64
1200	1100,5	1170,0	35,75	16,30	20,07	7,57	2,46	0,80	28,60	42,90	0,54	41,22	32,05	1,66	1,66	15,55	12,57	22,37
1250	1150,5	1220,0	37,53	18,23	22,02	8,84	2,45	0,80	30,02	45,04	0,56	38,85	32,32	1,76	1,47	14,58	15,60	23,54
1300	1200,5	1270,0	38,93	20,30	23,81	10,26	2,47	0,80	31,14	46,72	0,58	36,98	31,53	1,55	1,32	16,24	15,94	25,80
1350	1250,5	1320,0	42,12	22,51	25,93	11,84	2,46	0,80	32,58	40,54	0,63	34,60	30,53	1,33	1,18	18,01	15,80	27,49
1400	1300,5	1370,0	43,90	27,88	30,16	15,52	2,46	0,80	35,12	52,68	0,66	30,36	28,75	1,01	0,95	15,62	14,79	29,47
1450	1350,5	1420,0	45,00	30,05	32,26	17,64	2,47	0,80	36,24	54,68	0,68	28,49	27,97	0,88	0,87	24,04	15,58	31,28
1500	1400,5	1470,0	47,09	32,89	34,71	19,97	2,46	0,80	37,67	56,51	0,71	26,10	26,96	0,75	0,75	26,31	15,02	35,32
1550	1450,5	1520,0	48,49	35,89	36,96	22,52	2,48	0,80	38,79	58,19	0,73	24,24	26,18	0,66	0,66	28,71	14,77	37,57

hK 1,6 kn/m	def.EK,max.,1,6 N/mm ²	def.Edmax.,1,6 N/mm ²	ut,1,6	def.wk1 N/mm ²	def.wk2 N/mm ²	hK 1,6 kNm/m	wk1 N/mm ²	wk2 N/mm ²	wkmin,1,6 N/mm ²	def.hk	def.wk1 mm	def.wk2 mm	def.wk1 mm	def.wk2 mm	
1,60	26,61	39,91	0,50	44,54	34,71	10,38	8,09	8,09	3,81	5,30	4,13	6,99	4,13	6,99	6,99
1,60	29,49	44,23	0,55	37,44	39,74	32,97	7,60	6,25	4,78	5,32	4,38	7,98	4,38	7,98	7,98
1,60	31,71	47,57	0,59	36,04	31,13	5,89	5,89	5,89	5,90	5,53	4,78	9,22	4,78	9,22	9,22
1,60	34,38	51,86	0,65	31,26	29,13	4,32	4,03	4,03	7,15	5,32	4,96	10,34	4,96	10,34	10,34
1,60	36,80	55,20	0,69	27,56	27,57	3,33	3,33	3,33	8,56	5,30	5,30	11,74	5,30	11,74	11,74
1,60	39,68	59,52	0,74	22,76	23,56	2,67	2,38	2,38	10,13	4,78	4,78	13,00	4,78	13,00	13,00
1,60	41,90	62,86	0,79	19,05	24,00	1,77	2,23	1,77	11,84	4,78	4,78	14,51	4,78	14,51	14,51
1,60	44,77	67,15	0,84	14,28	22,00	1,17	1,80	1,17	13,74	3,63	3,63	15,92	3,63	15,92	15,92
1,60	47,01	70,51	0,88	10,54	18,42	0,78	1,51	0,78	15,82	2,94	2,94	17,59	2,94	17,59	17,59
1,60	49,87	74,81	0,94	5,77	18,42	0,38	1,22	0,38	18,10	1,73	1,73	19,14	1,73	19,14	19,14
1,60	52,10	78,14	0,98	2,06	16,87	0,12	1,01	0,12	20,56	0,67	0,67	20,96	0,67	20,96	20,96
1,60	54,66	82,44	1,03	2,71	14,86	-0,15	0,81	0,15	22,22	0,00	0,00	23,22	0,00	23,22	23,22
1,60	57,20	85,80	1,07	6,44	13,29	-0,32	0,66	-0,32	26,08	0,00	0,00	26,08	0,00	26,08	26,08
1,60	60,05	90,07	1,13	-11,19	11,30	-0,51	0,51	-0,51	29,17	0,00	0,00	29,17	0,00	29,17	29,17
1,60	62,29	93,43	1,17	-14,92	9,73	-0,63	0,41	-0,63	32,48	0,00	0,00	32,48	0,00	32,48	32,48
1,60	65,15	97,73	1,22	-19,70	7,73	-0,76	0,30	-0,76	36,02	0,00	0,00	36,02	0,00	36,02	36,02
1,60	67,39	101,09	1,26	-23,43	6,16	-0,84	0,22	-0,84	39,79	0,00	0,00	39,79	0,00	39,79	39,79
1,60	70,24	105,36	1,32	-28,18	4,17	-0,93	0,14	-0,93	43,81	0,00	0,00	43,81	0,00	43,81	43,81
1,60	72,48	108,72	1,26	-31,91	2,60	-0,99	0,08	-0,99	48,08	0,00	0,00	48,08	0,00	48,08	48,08
1,60	75,34	113,02	1,41	-36,68	0,59	-1,06	0,02	-1,06	52,62	0,00	0,00	52,62	0,00	52,62	52,62
1,60	77,58	116,38	1,45	-40,42	0,98	-1,09	0,03	-1,09	57,42	0,00	0,00	57,42	0,00	57,42	57,42

DF810FR21 - 10.10.4 ESG mit SGP - Folie - INT - Lasten in Absturzrichtung nach außen (OUT)

Absz. oberer zu unterer Lagerpunkt Glas im Profil	mm
Absz. unterer Lagerpunkt Glas/Profil zu Unterkarriere	mm
Absz. unterer Lagerpunkt Glas/Profil zu Unterkarriere	mm
Horizontaler Einheitslast als Linienelast an der Oberkante	kn/m
Horizontale Einheitslast, als Flächenlast auf der gesamten Länge	kn/m ²
E-Modul S-Gl nach AbZ 7.76 2.23 für Laststufe 1	N/mm ²
Charakteristische Biegesteifigkeit für ESG nach SIA 205/7	N/mm
Teilsicherheitsbeiwert Materialseite für ESG nach SIA 205/7	-
Bemessungswert der Biegezugfestigkeit ESG nach SIA 205/7	N/mm ²
Kombinationsbeiwert für Holzwänden (Kat.C) nach SIA 205/7	-
Kombinationsbeiwert für Windlasten nach SIA 2.60/1	-
Teilsicherheitsbeiwert Lassette für variable Lasten nach SIA 205/7	-
Absz. oberer zu unterer Lagerpunkt Glas im Profil	mm
Absz. unterer Lagerpunkt Glas/Profil zu Unterkarriere	mm
Absz. unterer Lagerpunkt Glas/Profil zu Unterkarriere	mm
Horizontaler Einheitslast als Linienelast an der Oberkante	kn/m
Horizontale Einheitslast, als Flächenlast auf der gesamten Länge	kn/m ²
E-Modul S-Gl nach AbZ 7.76 2.23 für Laststufe 1	N/mm ²
Charakteristische Biegesteifigkeit für ESG nach SIA 205/7	N/mm
Teilsicherheitsbeiwert Materialseite für ESG nach SIA 205/7	-
Bemessungswert der Biegezugfestigkeit ESG nach SIA 205/7	N/mm ²
Kombinationsbeiwert für Holzwänden (Kat.C) nach SIA 205/7	-
Kombinationsbeiwert für Windlasten nach SIA 2.60/1	-
Teilsicherheitsbeiwert Lassette für variable Lasten nach SIA 205/7	-

DFB10/FR21-10.10.4 EG mit SGP - Folie, INT - Lasten in Absurzrichtung nach außen (OUT)											
List	L1 mm	L Gas mm	$\sigma_{max,hu}$ N/mm ²	hu		wu		wku		wkw	
				def, hu mm	def, hu mm	def, wu mm	def, wu mm	def, wku mm	def, wku mm	def, wkw mm	def, wkw mm
600	500.5	570.0	12.62	1.25	3.98	0.37	3.14	0.19	70.18	21.84	14.02
650	560.5	620.0	14.03	1.60	4.67	0.31	3.19	0.80	11.22	17.63	11.43
700	600.5	670.0	15.04	2.01	5.51	0.67	3.20	12.03	18.05	0.23	45.48
750	650.5	720.0	16.50	2.49	6.38	0.88	3.20	19.80	0.25	65.89	9.62
800	700.5	770.0	17.51	3.03	7.28	1.01	3.20	14.01	21.01	10.44	44.09
850	750.5	820.0	18.97	3.64	7.28	1.13	3.16	15.18	22.76	6.53	6.93
900	800.5	870.0	20.00	4.19	8.16	1.42	3.20	15.99	23.99	0.30	42.71
950	900.5	920.0	21.44	5.11	9.3	1.78	3.17	17.15	25.73	0.32	62.24
1000	900.5	970.0	22.46	5.97	9.77	3.21	0.80	17.00	26.95	0.34	40.33
1050	920.0	1020.0	23.91	6.92	11.57	2.67	3.18	0.80	19.13	26.69	0.36
1100	1000.5	24.93	7.97	3.23	12.68	0.80	19.94	29.92	0.37	55.65	3.37
1150	1100.5	1120.0	26.38	9.11	14.09	3.67	3.19	0.80	21.10	31.66	0.40
1200	1150.5	1170.0	27.40	10.37	15.31	4.59	3.21	0.80	21.92	32.88	0.41
1250	1200.0	28.85	11.73	16.85	5.52	3.19	0.80	23.08	34.62	0.43	50.62
1300	1200.0	29.88	13.20	18.18	6.35	3.21	0.80	23.90	35.86	0.45	49.05
1350	1200.0	31.32	14.79	19.86	7.40	3.19	0.80	25.06	37.58	0.47	47.13
1400	1300.0	32.35	16.51	21.73	8.57	3.22	0.80	25.88	38.82	0.49	35.76
1450	1400.0	33.79	18.35	23.11	9.87	3.22	0.80	27.03	40.55	0.51	35.22
1500	1400.0	34.82	20.32	24.67	11.32	3.22	0.80	27.86	41.78	0.52	42.46
1550	1500.0	36.26	22.43	26.62	12.92	3.20	0.80	29.01	43.51	0.54	40.54
1600	1500.0	37.29	24.48	28.91	14.69	3.22	0.80	29.83	44.75	0.56	32.45

DFF810FR21 : 10.10.4 ESG mit SGP - Foliie : INT : Lasten in Absturzrichtung nach außen (0UT)

DFB10FR21 - 10-10.4 ESG mit SGF - Folie - INT - Lasten in Absturzrichtung nach außen (OUT)										
hk=1.6 kNm/mm²										
hk=1.6			hk=1.6			hk=1.6			hk=1.6	
ut	1.6	ut	ut	1.6	ut	1.6	ut	1.6	ut	1.6
N/mm²	N/mm²	-	N/mm²	N/mm²	-	N/mm²	N/mm²	-	N/mm²	-
20.19	30.99	0.38	55.24	39.20	16.29	11.88	2.00	4.52	3.21	4.71
1.60	22.46	33.67	0.42	51.48	37.62	12.93	9.45	2.56	3.50	5.43
1.60	24.06	36.40	0.45	48.78	34.49	10.45	7.81	2.22	3.23	6.41
1.60	26.40	39.60	0.48	44.89	34.85	8.15	6.33	3.98	4.24	7.26
1.60	28.02	30.53	0.53	42.20	33.72	6.77	5.26	4.85	4.73	8.40
1.60	30.35	45.53	0.57	38.30	5.72	5.26	4.41	4.41	5.91	9.39
1.60	31.98	47.98	0.60	35.58	30.94	4.36	3.79	5.82	5.95	10.66
1.60	34.30	51.46	0.64	31.72	29.32	3.41	3.15	6.19	6.19	11.82
1.60	35.94	57.38	0.67	29.00	26.18	2.82	2.74	8.18	6.07	13.25
1.60	36.26	57.38	0.72	25.13	26.25	2.17	2.30	9.05	6.17	14.35
1.60	39.89	59.83	0.75	22.41	25.41	1.77	1.77	12.75	5.71	16.18
1.60	42.21	63.31	0.79	18.54	23.79	1.32	1.69	14.58	6.53	17.63
1.60	43.84	65.76	0.82	15.82	22.65	1.03	1.48	16.59	4.74	19.44
1.60	46.16	69.24	0.87	11.96	20.02	0.71	1.25	18.77	3.85	21.38
1.60	47.81	71.71	0.90	9.21	18.87	0.51	1.09	21.12	3.22	23.05
1.60	50.11	75.97	0.94	5.37	18.25	0.27	0.92	23.66	2.00	24.88
1.60	51.76	77.64	0.97	2.62	17.10	0.12	0.80	26.42	1.06	27.05
1.60	54.06	81.10	1.01	-1.22	15.49	-0.05	0.67	29.36	0.00	6.61
1.60	55.71	83.57	1.04	-3.96	14.33	-0.16	0.58	32.51	0.00	6.58
1.60	58.02	87.02	1.09	-7.80	12.72	-0.29	0.48	35.89	0.00	6.17
1.60	59.66	89.50	1.12	-10.55	11.57	-0.37	0.41	39.49	0.00	6.01

4.1.4 Ergebnistabellen Glasbemessung DF810FR - Lasten nach innen

DF810FR17 - 8.8.4 ESG mit PVB - Folie - Lasten gegen die Absturzrichtung nach innen (IN)

L ₃	70	mm												
L ₄	29,5	mm												
L ₇	-0,5	mm												
F _u	1	mm												
w _u	1	mm												
E _f ,Folie	0,0001													
fr _d ,ESG	120													
ym,ESG	1,5													
fr _d ,ESG	88,00													
y ₀ ,Holm	0,7													
y ₀ ,Wind	0,6													
y _Q	1,5													

Abstand oberer zu unterer Lägerpunkt Glas im Profil
Abstand unterer Lägerpunkt Glas/Profil zu Unterseite Profil
Abstand unterer Lägerpunkt Glas/Profil zu Oberseite Glas
Horizontale Einheitselastizität als Einheitselastizität der Ober-Kante Glasbretterstellung
Horizontale Einheitselastizität als Flächentenss auf der gesamten Glasbretterstellung
E-Modul (PVB-Folie) nach den Vorgaben der SIA-205-/2021
Charakteristische Bruchzugfestigkeit ESG nach SIA-205-/2021
Bemessungswert Materialbewertung ESG nach SIA-205-/2021 für VSG-Scheibe
Kombinationsbewertung der Biegzugfestigkeit SG nach SIA-205-/2021 für VSG-Scheibe
Kombinationsbewertung für Holzlasten (Kat.C) nach SIA-260/2013
Teilsicherheitsbewertung für variable Lasten nach SIA-260/2013

DF810FR17 - 8.8.4 ESG mit PVB - Folie - Lasten gegen die Absturzrichtung nach innen (IN)															
Ltot	L ₁	L _{Glas}	hu	wu	def,fu	max,wu	def,wu	MRd,glass	hk	def,k _{0,4}	def,k _{0,4} · σ _{d,max,0,4}	ut,0,4	σ _{d,max,0,4}	hk-0,4 kN/m	
mm	mm	mm	N/mm ²	N/mm ²	mm	N/mm ²	N/mm ²	kN/m	mm	N/mm ²	N/mm ²	mm	N/mm ²	mm	
600	500,5	570,0	29,63	7,93	7,47	1,57	0,40	11,85	17,78	0,20	78 / 0,02	50,37	6,74	3,17	
650	550,5	620,0	32,87	9,15	10,39	2,26	0,40	13,15	21,35	0,24	75 / 0,06	10,45	4,16	16,40	
700	600,5	670,0	35,88	13,32	10,74	3,14	0,40	14,23	23,95	0,26	75 / 0,06	6,90	4,53	5,33	
750	650,5	720,0	38,81	16,74	12,73	4,27	0,40	15,52	23,99	0,26	71 / 0,0	5,65	3,75	3,75	
800	700,5	770,0	41,53	20,71	14,40	5,67	0,40	16,61	24,92	0,28	70 / 0,09	4,04	3,22	8,38	
850	750,5	820,0	44,74	25,25	16,90	7,39	0,40	17,90	26,84	0,31	66 / 0,05	4,02	2,73	10,10	
900	800,5	870,0	47,47	30,42	19,07	9,47	0,40	18,99	28,48	0,32	66 / 0,13	3,47	2,38	12,17	
950	850,5	920,0	50,68	36,25	21,67	11,96	0,40	20,27	30,41	0,35	63 / 0,09	4,48	2,95	2,05	
1000	900,5	970,0	53,42	47,77	24,13	14,92	0,40	21,37	32,05	0,36	62 / 0,16	4,71	2,58	4,05	
1050	950,5	1020,0	56,61	50,04	27,02	18,40	0,40	22,64	33,97	0,39	60 / 0,04	42,82	2,22	1,58	
1100	1000,5	1070,0	59,26	58,08	27,78	22,45	0,40	23,74	35,62	0,43	58 / 0,20	42,05	1,95	1,41	
1150	1050,5	1120,0	62,55	66,95	32,97	27,13	1,48	0,40	25,02	37,53	0,43	56 / 0,08	41,15	1,25	1,25
1200	1100,5	1170,0	65,30	76,67	36,02	32,51	1,48	0,40	26,12	54 / 0,24	0,47	52 / 0,12	38,49	1,12	30,67
1250	1150,5	1220,0	68,49	82,79	39,52	38,65	1,48	0,40	27,40	41,09	0,47	52 / 0,12	32,39	1,00	34,92
1300	1200,5	1270,0	71,24	98,84	42,86	45,63	1,48	0,40	28,50	42,74	0,49	50 / 0,28	36,72	1,17	39,54
1350	1250,5	1320,0	74,42	111,38	46,06	50,30	1,48	0,40	29,60	44,65	0,51	46 / 0,16	37,83	1,03	45,37
1400	1300,5	1370,0	77,18	124,93	50,30	62,36	1,48	0,40	30,67	46,31	0,53	46 / 0,22	36,06	0,92	49,57
1450	1350,5	1420,0	80,36	139,54	54,40	72,27	1,48	0,40	31,14	48,22	0,55	44 / 0,26	36,17	0,81	55,82
1500	1400,5	1470,0	83,12	155,74	58,32	83,31	1,48	0,40	33,25	49,87	0,57	42 / 0,36	35,39	0,73	58,73
1550	1450,5	1520,0	86,30	172,08	62,73	95,58	1,48	0,40	34,52	51,78	0,59	40 / 0,24	34,50	0,61	60,52
1600	1500,5	1570,0	89,05	190,09	66,94	109,15	1,48	0,40	35,62	53,43	0,61	38,41	33,73	0,57	62,63

DF810FR17 - 8.8.4 ESG mit PVB - Folie - Lasten gegen die Absturzrichtung nach innen (IN)

hk-0,8	σ _{d,max,0,8}	hk-0,8	ut,0,8	hk-0,8										
0,80	23,70	35,56	0,40	59,77	42,07	7,80	5,63	5,63	6,34	12,25	9,84	13,33	9,94	16,31
0,80	26,30	39,44	0,45	53,95	40,26	5,69	4,40	4,40	5,61	10,66	14,72	11,33	19,49	22,66
0,80	28,46	42,70	0,49	50,34	38,4	4,69	3,61	3,61	5,00	13,39	15,44	10,00	19,17	26,45
0,80	31,05	46,57	0,53	46,03	36,93	3,62	2,90	2,90	4,47	16,57	16,47	13,75	19,45	30,20
0,80	33,22	49,84	0,57	42,40	32,12	2,90	2,43	2,43	4,99	20,20	16,67	14,70	19,14	34,61
0,80	35,79	53,69	0,61	38,12	33,61	2,26	1,99	1,99	2,43	24,34	16,67	12,99	19,87	39,00
0,80	37,98	56,96	0,65	34,48	32,08	1,81	1,68	1,68	2,43	20,00	16,67	12,99	19,87	44,07
0,80	40,54	60,82	0,69	30,20	29,29	1,39	1,40	1,39	2,43	16,67	16,67	12,99	19,87	44,07
0,80	42,74	64,10	0,73	26,55	28,75	1,10	1,19	1,19	2,43	12,22	16,42	12,78	19,87	44,07
0,80	45,79	67,93	0,77	22,30	26,97	0,83	1,00	1,00	2,43	10,66	15,18	12,36	19,14	44,07
0,80	47,49	71,23	0,81	18,63	23,43	0,63	0,85	0,85	2,43	9,00	14,05	10,00	19,17	44,07
0,80	50,04	75,06	0,85	14,38	23,64	0,44	0,72	0,72	2,43	8,00	11,83	8,00	19,45	44,07
0,80	52,24	78,36	0,89	10,71	22,10	0,30	0,61	0,30	2,43	7,00	11,34	6,97	19,45	44,07
0,80	54,79	82,19	0,93	6,46	20,31	0,16	0,51	0,16	2,43	6,00	9,83	6,32	19,45	44,07
0,80	56,99	85,49	0,97	2,79	18,77	0,07	0,44	0,07	2,43	5,00	8,00	5,00	19,45	44,07
0,80	59,54	89,30	1,01	-1,45	16,99	-0,03	-0,03	-0,03	2,43	4,00	8,00	0,00	19,45	44,07
0,80	61,74	92,62	1,05	-5,13	15,45	-0,10	0,31	-0,10	2,43	3,00	8,00	0,00	19,45	44,07
0,80	64,79	96,43	1,10	-9,37	13,67	-0,17	0,25	-0,17	2,43	2,00	11,63	0,00	19,45	44,07
0,80	66,50	99,74	1,13	-13,05	12,12	-0,22	0,21	-0,22	2,43	1,00	12,12	0,00	19,45	44,07
0,80	69,04	103,56	1,18	-17,29	10,34	-0,28	0,16	-0,28	2,43	0,00	13,64	0,00	19,45	44,07
0,80	71,24	106,86	1,21	-20,96	8,80	-0,31	0,13	-0,31	2,43	0,00	15,75	0,00	19,45	44,07

DF810FR17 - 8.8.4 ESG mit SGP - Folie - EXT - Lasten gegen die Absturzrichtung nach innen (IN)

DF810(FR)T-8.8-E4.ESGmit SGF - Folie - EKT - Lasten gegen die Absturzrichtung nach innen (IN)											
List	L1 mm	L Glas mm	$\sigma_{max,hu}$ N/mm ²	def. hu mm	w <u>u</u> mm	def. wu mm	$\sigma_{max,wu}$ N/mm ²	def. wu			
								hk 0.4 kNm/m	hk 0.4 kNm/m	hk 0.4 kNm/m	
600	500.5	570.0	4.22	0.90	1.62	0.40	9.87	11.40	0.19	72.44	46.43
650	550.5	620.0	27.37	5.54	7.81	1.24	1.61	10.95	16.42	0.21	70.64
700	600.5	670.0	32.10	7.93	11.50	1.67	1.63	0.40	11.76	45.67	9.05
750	650.5	720.0	34.15	9.50	12.29	1.62	1.60	0.40	12.84	44.35	7.61
800	700.5	780.0	36.83	11.25	14.42	2.83	1.64	0.40	20.49	66.12	6.12
850	750.5	820.0	38.88	11.55	15.66	4.47	1.65	0.40	14.73	64.34	4.52
900	800.5	870.0	41.56	13.18	19.56	5.51	1.64	0.40	15.62	62.97	3.03
950	900.5	970.0	43.61	17.65	20.10	6.72	1.65	0.40	16.54	61.18	2.30
1000	950.5	1020.0	46.29	20.20	23.51	8.11	1.64	0.40	17.44	41.12	1.37
1100	1000.5	1070.0	48.34	22.97	24.72	9.70	1.66	0.40	18.52	27.77	0.33
1150	1050.5	1120.0	51.02	25.97	27.38	11.50	1.65	0.40	19.34	29.00	0.36
1200	1100.5	1170.0	53.08	29.21	29.81	13.55	1.66	0.40	20.41	30.61	0.38
1250	1150.5	1220.0	55.75	32.70	32.72	15.81	1.65	0.40	21.23	31.85	0.40
1300	1200.5	1270.0	57.81	34.45	35.37	18.36	1.66	0.40	22.30	33.49	0.42
1350	1250.5	1320.0	60.47	40.46	38.53	21.21	1.65	0.40	23.12	34.69	0.43
1400	1300.5	1370.0	62.54	44.74	41.40	24.26	1.66	0.40	24.02	36.28	0.45
1450	1350.5	1420.0	65.20	49.31	44.81	27.84	1.66	0.40	24.70	37.52	0.47
1500	1400.5	1470.0	67.27	54.17	47.91	31.67	1.67	0.40	26.08	39.12	0.49
1550	1450.5	1520.0	69.93	59.33	51.57	35.88	1.66	0.40	26.91	40.36	0.50
1600	1500.5	1570.0	72.00	64.99	55.67	38.50	1.67	0.40	27.97	41.96	0.52

DF810FR17 - 8.8.4 ESG mit SGP - Folie - EXT - Lasten gegen die Absturzrichtung nach innen (IN)

DF810FR17 - 8.8.4 ESG mit SGP - Folie - EXT - Lasten gegen die Absturzrichtung nach innen (IN)									
Hk 0.8		σE,max 0.8		σE,max 0.8		Hk 0.8		Hk 0.8	
σE,max 0.8 N/mm²	kNm/mm²	σE,max 0.8 N/mm²	kNm/mm²	σE,max 0.8 N/mm²	kNm/mm²	σE,max 0.8 N/mm²	kNm/mm²	σE,max 0.8 N/mm²	kNm/mm²
0.80	19.74	29.60	0.37	56.00	35.92	8.72	6.16	3.38	7.85
0.80	21.90	32.84	0.41	52.40	38.01	6.71	4.87	4.24	6.03
0.80	23.53	35.39	0.44	49.68	36.86	5.46	4.05	5.23	9.12
0.80	25.88	38.52	0.48	46.09	33.36	4.28	3.28	6.34	9.36
0.80	27.32	40.96	0.51	43.36	34.21	3.53	2.78	7.60	11.96
0.80	29.46	42.20	0.55	39.78	36.71	2.80	2.30	9.00	10.02
0.80	31.10	44.66	0.58	37.05	31.56	2.32	1.98	10.54	10.38
0.80	33.25	49.87	0.62	33.48	30.06	1.85	1.66	12.25	10.14
0.80	34.89	52.33	0.65	30.74	28.91	1.53	1.44	14.12	10.28
0.80	37.33	55.95	0.69	27.17	25.41	1.21	1.21	16.79	9.88
0.80	38.67	58.01	0.73	24.44	26.26	0.99	1.06	18.38	9.59
0.80	40.82	61.22	0.77	20.86	24.76	0.76	0.90	20.78	10.40
0.80	42.46	63.70	0.80	18.12	23.61	0.61	0.79	23.37	10.72
0.80	44.60	66.90	0.84	14.56	22.11	0.44	0.68	26.16	10.68
0.80	46.25	69.37	0.87	11.81	20.96	0.33	0.59	29.16	10.68
0.80	48.38	72.56	0.91	8.26	19.47	0.21	0.51	32.37	10.72
0.80	50.03	75.05	0.94	5.50	18.31	0.13	0.44	35.79	10.77
0.80	52.16	78.24	0.98	1.96	16.82	0.04	0.38	40.04	1.21
0.80	53.82	80.72	1.01	-0.80	15.66	-0.02	0.33	43.34	0.00
0.80	55.94	83.92	1.05	-4.35	14.17	-0.08	0.27	47.46	0.00
0.80	57.00	86.92	1.08	-4.35	13.03	-0.08	0.27	54.80	0.00

DF810FR21 - 10.10.4 ESG mit PVB - Folie - Lasten gegen die Absturzrichtung nach innen (IN)

Abstand oberer zu unterer Lagerpunkt Glas im Profil	mm
Abstand unteren Lagerpunkt Glas/ Profil zu Unterkante Glas	mm
Horizontale Einheitslast, als Linieneinlast an der Oberkante Glasbrüstung	kNm/m
Horizontale Einheitslast, als Flächeneinlast auf der gesamten Glasstützung	N/mm²
E-Modul Pb für nach der Vorgabe der SIA 205-2007, 2021	N/mm²
Charakteristischer Biegezeitfaktor fES nach SIA 205-2007, 2021	-
Teilsicherheitsbeiwert Material für ESG nach SIA 205-2021	-
Bemessungsbeiwert der Beigezug erzielbarkeit ESG nach SIA 205-2021 für VSG-Scheiben	-
Kombinationsbeiwert für Holmansatz ESG nach SIA 260-2013	-
Kombinationsbeiwert für Windlasten nach SIA 260-2013	-
Teilsicherheitsbeiwert für Windlasten nach SIA 260-2013	-
Windlasten nach SIA 260-2013	-

DF610FZR11-10,10,4EG mit PVB - Folie - Lasten gegen die Absturzrichtung nach innen (N)											
	hu	wu	def.wu	emax.wu	def.wu	def.wu	def.wu	def.wk1	def.hk	def.wk1	def.wk2
Lst	L1	L Glas	def.hu	emax.hu	def.hu	def.hu	def.hu	def.wk1	def.hk1	def.wk1	def.wk2
600	500,5	570,0	11,41	4,11	9,49	0,62	2,27	9,44	10,89	10,89	10,18
650	550,5	620,0	21,53	5,38	5,97	1,17	2,25	0,40	7,76	7,35	8,93
700	600,5	670,0	23,30	6,89	7,03	1,63	2,27	0,40	8,61	8,42	10,32
750	650,5	720,0	25,41	8,66	8,32	2,21	2,25	0,40	9,32	12,98	11,96
800	700,5	770,0	27,19	9,57	9,53	2,94	2,27	0,40	10,16	15,25	16,35
850	750,5	820,0	29,30	13,04	11,05	3,62	2,25	0,40	10,88	16,31	18,96
900	800,5	870,0	31,08	15,70	12,49	4,90	2,27	0,40	11,72	17,58	21,45
950	900,5	920,0	33,18	18,70	14,18	6,19	2,26	0,40	12,43	19,91	20,50
1000	900,5	970,0	34,97	22,06	15,8	7,71	2,27	0,40	13,27	20,98	24,42
1050	900,5	1020,0	37,07	25,80	19,49	9,51	2,26	0,40	14,83	22,24	30,63
1100	1000,5	1070,0	38,86	29,94	19,5	11,59	2,27	0,40	15,54	23,32	38,99
1150	1050,5	1120,0	40,95	34,49	21,01	14,01	2,26	0,40	16,38	24,57	41,24
1200	1100,5	1170,0	42,75	39,49	23,59	16,78	2,27	0,40	17,10	26,65	45,36
1250	1150,5	1220,0	44,84	44,95	25,88	19,94	2,26	0,40	17,94	26,90	51,30
1300	1200,5	1270,0	46,64	50,89	28,07	23,53	2,27	0,40	18,66	27,98	53,90
1350	1250,5	1320,0	48,72	57,33	30,26	27,59	2,26	0,40	19,49	29,23	65,30
1400	1300,5	1370,0	50,52	64,29	32,14	22,7	2,27	0,40	20,31	30,34	65,30
1450	1350,5	1420,0	52,61	71,80	35,62	27,44	2,26	0,40	21,04	31,97	65,30
1500	1400,5	1520,0	54,41	79,86	42,93	22,27	0,40	21,76	32,65	65,30	68,05
1550	1450,5	1520,0	56,49	88,51	41,08	24,24	0,40	22,60	33,89	65,30	73,43
1600	1500,5	1520,0	58,20	96,20	45,23	26,24	0,40	22,30	34,40	65,30	78,64

DFE810FR21 - 10.10.4 ESG mit PYB - Folie - Lasten gegen die Absturzrichtung nach innen (N)

DF810FR21 - 10.10.4 ESG mit SGP - Folie - EXT - Lasten gegen die Absturzrichtung nach innen (IN)

L3	70	mm	mm	Abstand oberer zu unterer Lagerpunkt: Gas im Profil.
L4	29,5	mm	mm	Abstand unterer Lagerpunkt: Gas Profil zu Unterseite Profil.
L7	-0,5	mm	mm	Abstand unterer Lagerpunkt: Gas Profil zu Unterseite Profil.
Fu	1	mm/kN/m	Horizontaler Einheitslast: ab Linienlast an der Oberkante Gleisbrückung	
wu	11,92	N/mm ²	Horizontale Einheitslast: ab Flächennasen auf der gesamten Gabbrüfung	
EJ-Folie	120	N/mm ²	Charakteristische Begeugungsfestigkeit ESG nach SIA-2057-2021	
ym, ESG	1,5	N/mm ²	Bemessungswert Materialsteife für ESG nach SIA-2057-2021	
Ru, ESG	80,00	N/mm ²	Kombinationsbeiwert für Holmastein (RaC) nach SIA-260-2013	
r0, Holm	0,7	-	Teilweitehensbewert für Windseiten nach SIA-260-2013	
r0, Wind	0,6	-	-	
γQ	1,5	-	-	

DF810FR21 - 10.10.4 ESG mit SGP - Folie - EXT - Lasten gegen die Absturzrichtung nach innen (IN)

Ltot	L1	L Glas	hu	wu	def, hu	def,wu	εmax,hu	εmax,wu	hk, max. 0,4	σEhk,max.0,4	σEdmax.0,4	ut, 0,4	vwk1	vwk2	vwk1	vwk2	hk, 0,4 kNm/m	hk, 0,4 kNm/m	vwk1	vwk2	def, wk1	def, wk2	def, SLE
mm	mm	mm	mm	mm	mm	mm	N/mm ²	N/mm ²	km/m	N/mm ²	N/mm ²	mm	N/mm ²	N/mm ²	km/m ²	N/mm ²	N/mm ²	km/m ²	N/mm ²	km/m ²	mm	mm	
600	500,5	570,0	2,38	0,51	2,41	0,40	6,05	9,98	0,12	77,80	48,68	11,35	11,35	0,95	0,95	9,25	5,79	10,25	10,25	1,20	1,20	6,50	
650	550,5	620,0	18,43	2,99	5,23	0,40	7,93	11,06	0,14	76,60	48,17	14,07	7,81	1,48	1,48	11,62	7,34	12,67	8,04	1,79	1,79	7,35	
700	600,5	670,0	19,82	3,69	6,12	0,40	7,93	11,89	0,15	75,68	47,78	12,37	7,81	1,48	1,48	11,62	7,34	12,67	8,04	1,79	1,79	7,35	
750	650,5	720,0	21,61	4,47	7,23	0,40	8,64	12,97	0,16	74,48	47,28	10,30	6,54	1,54	1,54	12,67	8,04	9,39	9,39	1,79	1,79	8,45	
800	700,5	770,0	23,00	5,35	8,27	0,40	9,20	13,80	0,17	73,56	46,89	8,89	5,67	1,54	1,54	11,66	9,02	10,63	10,63	1,79	1,79	9,56	
850	750,5	820,0	24,80	6,33	9,36	0,40	9,92	14,88	0,19	72,36	46,39	7,57	4,85	1,53	1,53	11,66	9,75	11,66	11,66	1,79	1,79	10,74	
900	800,5	870,0	26,19	7,40	10,75	0,40	10,48	15,71	0,20	71,43	46,00	6,64	4,28	1,52	1,52	12,97	10,74	12,97	12,97	1,79	1,79	10,74	
950	850,5	920,0	27,98	8,59	12,19	0,40	11,19	16,79	0,21	70,24	45,50	5,76	3,73	1,44	1,44	11,57	14,15	11,57	11,57	1,79	1,79	11,57	
1000	900,5	970,0	29,38	9,89	13,53	0,40	11,75	17,63	0,22	69,30	45,11	5,12	3,33	1,33	1,33	19,31	12,57	15,54	15,54	1,79	1,79	12,57	
1050	950,5	1020,0	31,17	11,31	15,15	0,45	12,47	18,70	0,23	68,11	44,61	4,50	2,94	1,52	1,52	20,46	13,40	16,80	16,80	1,79	1,79	18,29	
1100	1000,5	1070,0	32,56	16,64	22,85	0,45	13,02	19,54	0,24	67,18	44,22	4,04	2,66	1,51	1,51	21,92	14,43	18,29	18,29	1,79	1,79	18,29	
1150	1050,5	1120,0	34,35	18,43	6,44	0,40	13,74	20,61	0,26	65,99	43,72	3,58	2,37	1,51	1,51	23,06	15,28	19,64	19,64	1,79	1,79	21,24	
1200	1100,5	1170,0	35,75	18,33	7,57	0,40	14,30	21,45	0,27	65,06	43,32	3,24	2,16	1,52	1,52	24,54	16,34	21,24	21,24	1,79	1,79	21,24	
1250	1150,5	1220,0	37,53	18,23	8,26	0,40	15,01	22,52	0,28	63,87	42,82	2,90	1,94	1,51	1,51	25,64	17,19	22,68	22,68	1,79	1,79	22,68	
1300	1200,5	1270,0	38,93	20,30	10,26	0,40	15,57	23,36	0,29	62,94	42,43	2,64	1,78	1,51	1,51	26,39	18,28	24,39	24,39	1,79	1,79	24,39	
1350	1250,5	1320,0	42,12	24,87	22,51	0,40	16,29	24,43	0,31	61,74	41,93	2,38	1,62	9,00	9,00	28,19	19,15	25,92	25,92	1,79	1,79	25,92	
1400	1300,5	1420,0	43,90	27,38	30,16	0,40	17,56	26,34	0,33	59,62	41,04	1,98	1,36	1,49	1,49	29,64	19,95	29,64	29,64	1,79	1,79	29,64	
1450	1350,5	1470,0	45,30	30,05	32,26	0,40	18,12	27,18	0,34	58,69	40,65	1,82	1,26	1,49	1,49	30,68	21,12	31,71	31,71	1,79	1,79	31,71	
1500	1400,5	1520,0	47,09	32,89	34,71	0,40	18,84	28,25	0,35	57,50	40,15	1,66	1,16	1,16	1,16	32,23	22,23	33,00	33,00	1,79	1,79	33,00	
1550	1450,5	1570,0	48,49	35,89	36,96	0,40	19,40	29,09	0,36	56,56	39,76	1,53	1,08	14,36	14,36	34,46	24,22	35,03	35,03	1,79	1,79	35,03	

DF810FR21 - 10.10.4 ESG mit SGP - Folie - EXT - Lasten gegen die Absturzrichtung nach innen (IN)

Ltot	L1	L Glas	hu	wu	def, hu	def,wu	εmax,hu	εmax,wu	hk, max. 0,8	σEhk,max.0,8	σEdmax.0,8	ut, 0,8	vwk1	vwk2	vwk1	vwk2	hk, 0,8 kNm/m	hk, 0,8 kNm/m	vwk1	vwk2	def, wk1	def, wk2	def, SLE
mm	mm	mm	mm	mm	mm	mm	N/mm ²	N/mm ²	km/m	N/mm ²	N/mm ²	mm	N/mm ²	N/mm ²	km/m ²	N/mm ²	N/mm ²	km/m ²	N/mm ²	km/m ²	mm	mm	
0,80	13,30	19,56	0,25	6,67	4,02	16,15	10,26	1,05	10,26	8,22	2,39	8,61	5,76	7,93	5,73	6,66	16,22	16,22	16,22	16,22	10,28	10,28	16,22
0,80	14,74	22,12	0,28	64,32	4,30	12,30	6,21	1,05	6,21	6,90	2,95	6,49	8,71	14,21	10,78	17,58	17,58	17,58	17,58	11,45	11,45	17,58	
0,80	15,86	23,78	0,30	62,46	4,23	10,21	5,70	1,05	5,70	5,38	10,22	7,01	7,01	14,84	11,98	11,98	11,98	11,98	11,98	11,98	11,98	11,98	
0,80	17,29	25,93	0,32	60,08	4,12	8,31	5,70	1,05	5,70	4,89	4,28	11,19	7,78	11,74	8,29	12,11	12,11	12,11	12,11	12,05	12,05	12,11	
0,80	18,40	27,60	0,35	58,22	4,05	7,04	5,84	1,05	5,84	4,13	4,13	5,06	11,74	8,29	12,11	12,11	12,11	12,11	12,11	12,11	12,11	12,11	
0,80	19,84	29,76	0,37	55,97	3,95	6,03	5,02	1,05	5,02	3,60	5,92	12,60	9,03	13,48	14,74	14,74	14,74	14,74	14,74	14,74	14,74	14,74	
0,80	20,95	31,43	0,39	51,97	3,87	5,02	4,23	1,05	4,23	3,09	6,87	13,12	9,58	14,74	14,74	14,74	14,74	14,74	14,74	14,74	14,74	14,74	
0,80	22,38	33,58	0,42	51,58	3,76	4,02	3,67	1,05	3,67	2,73	7,91	13,85	10,28	16,22	16,22	16,22	16,22	16,22	16,22	16,22	16,22	16,22	
0,80	23,50	34,72	0,44	49,72	3,68	3,12	2,37	1,05	2,37	2,11	2,11	10,28	7,91	14,21	10,78	17,58	17,58	17,58	17,58	17,58	17,58	17,58	
0,80	24,94	37,40	0,47	47,33	3,58	3,12	2,37	1,05	2,37	2,11	2,11	10,28	14,84	11,45	11,45	11,45	11,45	11,45	11,45	11,45	11,45	11,45	
0,80	26,05	39,07	0,49	45,48	35,10	2,73	2,34	1,05	2,34	1,85	1,85	15,06	15,06	11,98	11,98	11,98	11,98	11,98	11,98	11,98	11,98	11,98	
0,80	27,48	41,22	0,52	43,09	34,10	2,73	2,34	1,05	2,34	2,05	1,66	13,04	13,04	12,37	12,37	12,37	12,37	12,37	12,37	12,37	12,37	12,37	
0,80	28,60	42,90	0,54	41,22	34,13	2,73	2,34	1,05	2,34	2,05	1,66	13,04	13,04	12,37	12,37	12,37	12,37	12,37	12,37	12,37	12,37	12,37	
0,80	30,02	45,04	0,56	38,85	32,32	1,76	1,76	1,05	1,76	1,47	1,47	14,58	15,60	12,97	12,97	12,97	12,97	12,97	12,97	12,97	12,97	12,97	
0,80	31,14	46,72	0,58	36,98	31,53	1,55	1,55	1,05	1,55	1,32	1,32	16,24	15,94	13,39	13,39	13,3							

DF810FR21 - 10.10.4 ESG mit SGP - Folie - INT - Lasten gegen die Absturzrichtung nach innen (IN)

L3	70	mm		Abstand oberer zu unterer Lagerpunkt: Glas im Profil
L4	29,5	mm		Abstand unterer Lagerpunkt: Glas Profil zu Unterkante Profil
L7	-0,5	mm		Abstand unterer Lagerpunkt: Glas Profil zu Unterkante Glas
Fu	1	mm		Horizontale Einheitstast: als Linienlast an der Oberkante Gleisbrückung
wu	193,7	N/mm ²		Horizontale Einheitstast: als Flächentast auf der gesamten Gabbrüstung
EJ-Folie	120	N/mm ²		Charakteristische Begeugfestigkeit ESG nach SIA-2057-2021
ym, ESG	1,5	N/mm ²		Bemessungswert Materialsteife für ESG nach SIA-2057-2021
fu, ESG	80,00	N/mm ²		Kombinationsbeiwert für Holmastein (Rat.C) nach SIA-260-2013
r0, Holm	0,7	-		Kombinationsbeiwert für Windseiten nach SIA-260-2013
r0, Wind	0,6	-		Teilheitlichheitsbeiwert Lastseite für variable Lasten nach SIA-260-2013
γQ	1,5	-		

DF810FR21 - 10.10.4 ESG mit SGP - Folie - INT - Lasten gegen die Absturzrichtung nach innen (IN)

Ltot	L1	L Glas	hu	wu	def, hu	εmax, hu	def,wu	ηRd,glass	hk, 0,4	σE,max, 0,4	εE,max, 0,4	ut, 0,4	σwk1	wk1	ηRd,hk	hk, 0,4 KNm/m	wk2	ηRd,wk1	def, wk1	def, wk2	def, SLE	
mm	mm	mm	mm	N/mm ²	mm	N/mm ²	N/mm ²	kNm/m	N/mm ²	N/mm ²	N/mm ²	N/mm ²	mm ²	N/mm ²	N/mm ²	N/mm ²	mm ²	N/mm ²	mm	mm	mm	
600	500,5	570,0	12,62	3,3	0,27	3,17	0,40	5,61	8,42	0,11	79,54	2,39	15,09	15,09	0,50	6,58	4,07	6,58	4,59	5,08	4,45	
650	550,5	620,0	14,03	1,60	2,01	3,98	0,37	3,14	0,40	0,07	9,07	0,11	78,86	49,80	19,98	12,41	0,50	6,44	4,07	8,61	5,36	5,97
700	600,5	670,0	15,04	2,49	0,51	4,67	0,51	3,19	0,40	0,07	9,07	0,11	10,52	10,52	10,52	10,52	0,80	6,80	4,07	9,47	5,92	6,68
750	650,5	720,0	16,50	2,49	5,51	0,67	3,15	0,40	6,60	4,07	9,90	0,12	77,89	49,71	14,44	8,84	8,84	1,00	1,00	1,00	1,00	1,00
800	700,5	770,0	17,51	6,28	0,88	3,20	0,40	7,60	10,51	0,13	77,22	48,43	12,30	7,71	7,71	10,82	10,82	7,71	7,71	7,71	7,71	7,71
850	750,5	820,0	18,97	3,64	7,28	1,13	3,16	0,40	7,39	11,38	0,14	76,24	49,02	10,47	6,60	6,60	11,83	11,83	7,45	8,56	8,56	
900	800,5	870,0	19,99	4,34	8,16	1,42	3,20	0,40	8,00	11,99	0,15	75,56	47,74	9,26	5,85	5,85	1,74	1,74	13,15	8,31	8,31	
950	850,5	920,0	21,44	5,11	9,3	1,78	3,17	0,40	8,98	12,86	0,16	74,60	47,33	8,02	5,09	5,09	2,04	14,28	9,06	10,61	10,61	
1000	900,5	970,0	24,46	5,97	10,3	2,19	3,21	0,40	9,56	13,48	0,17	73,92	47,04	7,18	4,57	4,57	2,39	15,72	10,00	11,82	11,82	
1050	950,5	1020,0	23,91	6,92	11,57	2,67	3,18	0,40	9,56	14,35	0,18	72,95	46,64	6,31	4,03	4,03	2,77	16,83	10,76	12,87	12,87	
1100	1000,5	1070,0	24,93	7,97	12,68	3,23	3,21	0,40	9,97	14,96	0,19	72,27	46,35	5,70	3,66	3,66	2,77	18,41	11,81	14,23	14,23	
1150	1050,5	1120,0	26,38	9,11	14,09	3,87	3,19	0,40	10,55	15,83	0,20	71,30	45,95	5,06	3,26	3,26	3,64	19,58	12,62	15,39	15,39	
1200	1100,5	1170,0	27,40	10,37	15,31	4,59	3,21	0,40	10,96	16,44	0,21	70,62	45,66	4,61	2,98	2,98	4,15	21,17	13,69	16,85	16,85	
1250	1150,5	1220,0	28,85	11,73	16,85	5,42	3,19	0,40	11,54	17,31	0,22	69,60	45,26	4,13	2,69	2,69	4,69	22,41	14,56	18,14	18,14	
1300	1200,5	1270,0	29,88	13,20	18,18	6,35	3,21	0,40	11,95	17,93	0,22	68,97	44,97	3,79	2,47	2,47	5,28	24,09	15,71	19,73	19,73	
1350	1250,5	1320,0	31,32	14,79	19,86	7,40	3,19	0,40	12,94	19,41	0,23	68,01	44,56	3,42	2,24	2,24	5,92	23,34	16,60	21,12	21,12	
1400	1300,5	1370,0	32,35	21,3	8,57	8,57	3,22	0,40	13,52	20,27	0,25	66,32	43,87	3,08	2,08	2,08	6,60	27,09	17,81	22,86	22,86	
1450	1350,5	1420,0	33,79	18,35	23,11	9,87	3,20	0,40	13,93	20,89	0,26	65,68	43,58	2,66	1,90	1,90	7,34	28,34	18,74	24,35	24,35	
1500	1400,5	1470,0	34,82	20,32	24,67	11,32	3,22	0,40	14,50	21,76	0,27	64,72	43,18	2,43	1,62	1,62	8,97	30,14	20,00	26,21	26,21	
1550	1450,5	1520,0	36,26	22,43	26,62	12,92	3,20	0,40	14,92	22,37	0,28	64,03	42,89	2,26	1,52	1,52	9,87	31,41	20,96	27,82	27,82	
1600	1500,5	1570,0	37,29	24,68	28,29	14,69	3,22	0,40	14,92	22,37	0,28	64,03	42,89	2,26	1,52	1,52	9,87	31,25	22,27	29,82	29,82	

DF810FR21 - 10.10.4 ESG mit SGP - Folie - INT - Lasten gegen die Absturzrichtung nach innen (IN)

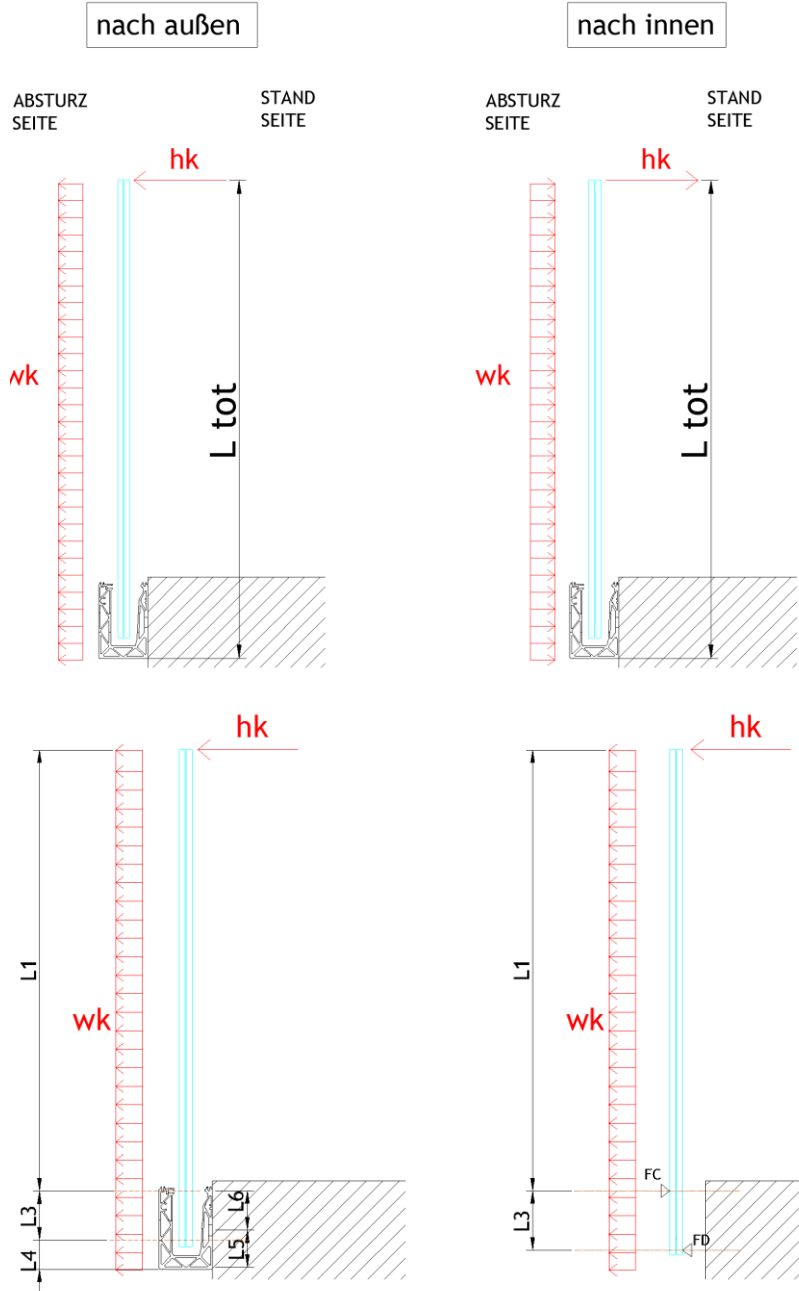
hk, 0,8	σE,max, 0,8	εE,max, 0,8	ut, 0,8	σwk1	wk1	ηRd,hk	hk, 0,8 KNm/m	wk2	ηRd,wk1	def, wk1	ηRd,hk	hk, 0,8	σwk1	wk1	ηRd,hk	hk, 0,8 KNm/m	wk2	ηRd,wk1	def, wk1	def, wk2	def, SLE
kg/m	N/mm ²	mm	N/mm ²	mm	mm	mm															
0,80	10,10	15,14	0,19	72,66	21,64	14,02	1,00	14,02	1,00	1,00	1,00	1,00	1,00	1,00	1,00	1,00	1,00	1,00	1,00	3,79	4,34
0,80	11,22	16,84	0,21	70,18	45,48	11,43	1,00	11,43	1,00	1,00	1,00	1,00	1,00	1,00	1,00	1,00	1,00	1,00	1,00	5,19	5,19
0,80	12,03	18,05	0,23	68,84	44,91	14,74	9,62	14,74	9,62	1,00	1,00	1,00	1,00	1,00	1,00	1,00	1,00	1,00	1,00	6,12	6,12
0,80	13,20	19,80	0,25	66,89	44,09	12,14	8,00	12,14	8,00	1,00	1,00	1,00	1,00	1,00	1,00	1,00	1,00	1,00	1,00	6,67	6,67
0,80	14,01	21,01	0,26	65,54	43,53	10,44	6,93	10,44	6,93	2,42	2,42	2,42	2,42	2,42	2,42	2,42	2,42	2,42	2,42	7,93	7,93
0,80	15,18	22,76	0,28	63,60	42,71	8,74	5,87	8,74	5,87	2,48	2,48	2,48	2,48	2,48	2,48	2,48	2,48	2,48	2,48	11,39	11,39
0,80	15,99	23,99	0,30	62,24	42,14	7,63	5,16	7,63	5,16	3,47	3,47	3,47	3,47	3,47	3,47	3,47	3,47	3,47	3,47	9,87	9,87
0,80	17,15	25,73	0,32	60,30	41,33	6,48	4,44	6,48	4,44	2,01	2,01	2,01	2,01	2,01	2,01	2,01	2,01	2,01	2,01	11,01	11,01
0,80	17,97	26,95	0,34	58,94	40,77	5,72	3,96	5,72	3,96	1,00	1,00	1,00	1,00	1,00	1,00	1,00	1,00	1,00	1,00	12,30	12,30
0,80	19,13	28,69	0,36	57,01	39,94	4,93	3,45	4,93	3,45	1,00	1,00	1,00	1,00	1,00	1,00	1,00	1,00	1,00	1,00	13,43	13,43
0,80	19,94	29,92	0,37	56,65	39,37	4,39	3,11	4,39	3,11	1,00	1,00	1,00	1,00	1,00	1,00	1,00	1,00	1,00	1,00	14,88	14,88
0,80	21,10	31,66	0,40	55,72	38,56	3,81	2,74	3,81	2,74	1,00	1,00	1,00	1,00	1,00	1,00	1,00	1,00	1,00	1,00	16,14	16,14
0,80	21,92	32,88	0,41	52,36	37,99	3,42	2,48	3,42	2,48	1,00	1,00	1,00	1,00	1,00	1,00	1,00	1,00	1,00	1,00	17,71	17,71
0,80	23,08	34,62	0,43	50,42	37,18	2,99	2,21	2,99	2,21	1,00	1,00	1,00	1,00	1,00	1,00	1,00	1,00	1,00	1,00	19,12	19,12
0,80	23,90	35,86	0,45	49,05	36,60	2,70	2,01	2,70	2,01	1,00	1,00	1,00	1,00	1,00	1,00	1,00	1,00	1,00	1,00	20,84	20,84
0,80	25,06	37,58	0,47	47,13	35,79	2,37	1,80	2,37	1,												

4.2 Bemessung Aluminiumprofil

4.2.1 Allgemeine Informationen

Die Berechnung des Aluminiumprofils erfolgt iterativ über das Berechnungsprogramm Sofistik.

In einem ersten Schritt wird eine bestimmte maximale Höhe des Brüstungssystems und eine maximale horizontale Belastung am Holm gewählt. Die Aufbringung dieser Last auf das Glas erzeugt Reaktionen im Profil (siehe Abbildungen).



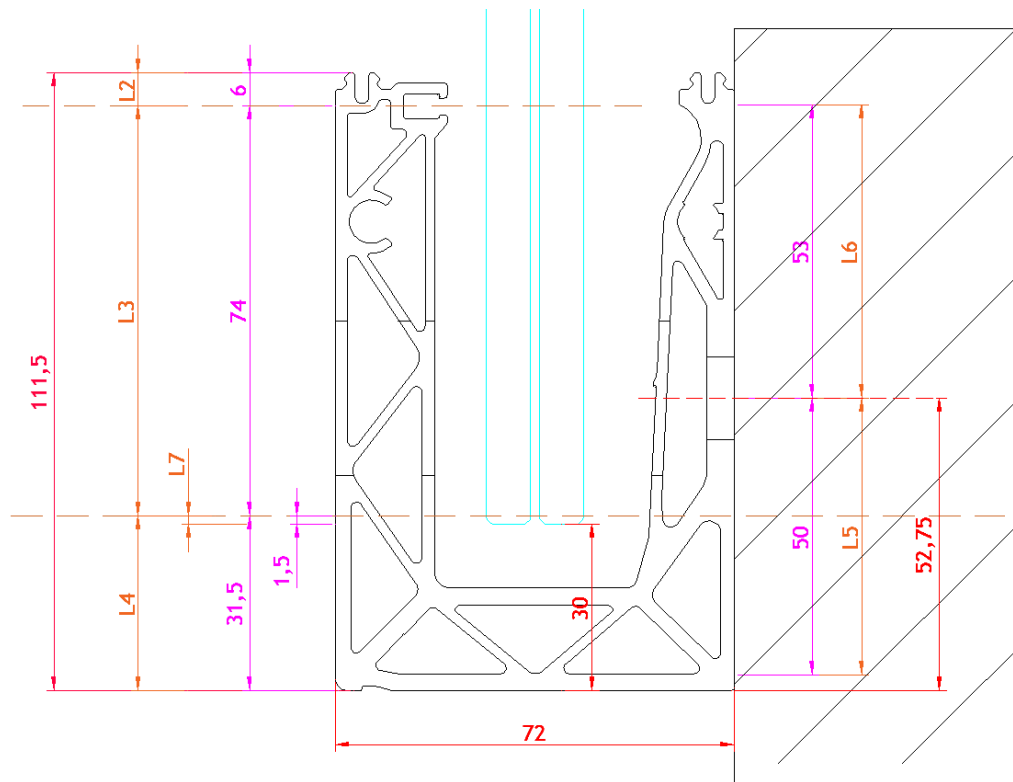


Abb: Berechnungsparameter DF810MF21-out

In einem zweiten Schritt werden diese beiden gegenläufigen Abstützkräfte Glas/Profil als lineare Lasten in der numerischen Berechnung auf die Stege des Profils aufgebracht. Diese Belastungen werden dann so lange iterativ modifiziert, bis sie im Profil die maximal erlaubten plastischen Verformungen erzeugen bzw. generell die Tragfähigkeit des Profils erreicht ist. Somit kann anschließend unter Kenntnis dieser maximal aufnehmbaren Last des Profils für eine bestimmte vorgegebene Holmlast die maximal zusätzlich aufnehmbare Windlast unter Berücksichtigung folgender Formeln ermittelt werden:

$$F_{cd,max} = F_{cd,h} + F_{cd,wind}$$

Maximale Reaktionskraft aus Verglasung auf Profil oben

$$F_{cd,h} = h_d * (L1 + L3) / L3$$

Maximale Reaktionskraft oben aus Holmlast hd

$$F_{cd,wind} = w_d * (L1 + L3)^2 / 2 * L3$$

Maximale Reaktionskraft oben aus Windlast wd

→ wd (wk)

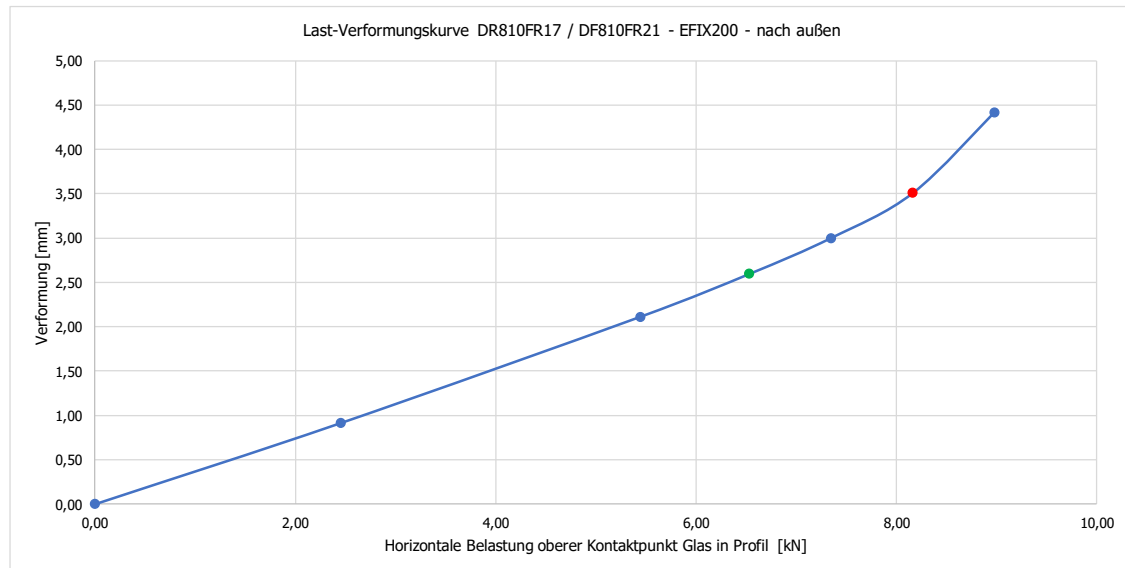
Maximal zusätzlich zur Holmlast aufnehmbare Windlast

Nachfolgend sind die Ergebnisse der Profilbemessung in tabellarischer Form zusammengestellt. Für die Dokumentation der numerischen Berechnung mit Sofistik siehe Anhang.

4.2.2 Ergebnistabellen Profilbemessung DF810FR - Lasten nach außen

solidic GZFR GmbH · Structural Engineering · Nicolodistraße 39 · 39100 Bozen · Italien
Tel.: +39 0471 180 00 23 · info@solidic.it · www.solidic.it

Lastrichtung nach außen	Lastfaktor	FC.Rd.außen.FE	FC.Rd.außen.FE	Verformung
	-	kN	kN/m	mm
	0,00	0,00	0,00	0,00
	0,30	2,45	12,25	0,91
SLS	0,67	5,44	27,21	2,11
	0,80	6,53	32,65	2,60
	0,90	7,35	36,74	3,00
ULS	1,00	8,16	40,82	3,51
	1,10	8,98	44,90	4,42



4.2.3 Ergebnistabellen Profilbemessung DF810FR - Lasten nach innen

DF810FRK17 / DF810FR21 - PROFIL - EFX200 - Lasten gegen die Absturzrichtung nach innen (N)

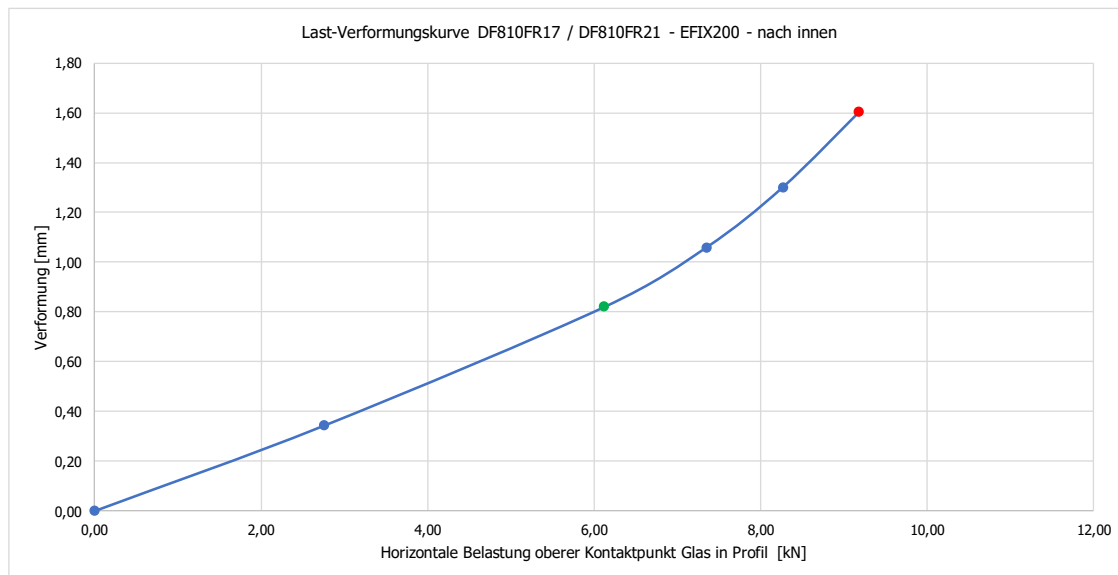
Absatz und Dibel von Unterkante Profil
Absatz und dibe zu unterer Längspalte Glas im Profil
Absatz und unterer Längspalte Glas im Profil zur Innenseite
Horizontaler Abstand der Längspalten Profil (für Längen ab Absatz) bis zur Absturzrichtung nach innen
Horizontaler Abstand des Befestigungspunkts auf Längspalte Profil auf Längspalte Profil zur Innenseite
Horizontale Einheitseinheit ist auf die gesamte Glasbreite bezogen
Horizontale Einheitseinheit ist auf die gesamte Glasbreite bezogen
Talischerhöhungsbewehrung Aluminium nach EN 1998-1-1
Talischerhöhungsbewehrung aussteife für variablen Lasten nach SIA-260-2013
Kombinationsbewehrung für Windlasten nach Rei.Cj nach SIA-260-2013
Kombinationsbewehrung für Windlasten nach Rei.Cj nach SIA-260-2013
Maximal aufnehmbare obere Auflagerkraft Glas im Profil aus Basis Profilwiderstand im GZT aus FE-Berechnung

DF810FRK17 / DF810FR21 - PROFIL - EFX200 - Lasten gegen die Absturzrichtung nach innen (N)												
Lott	L1	Reaktionsschraube Glas/Profil	Reaktionsschraube Glas/Profil/Ungespannt			Reaktionsschraube Glas/Profil			Reaktionsschraube Glas/Profil/Ungespannt			Hörmast
			Fchu	Ft,hu	Fd,hu	Fchu	Ft,wu	Fd,wu	Fchu	Ft,wu	Fd,wu	
600	500,5	1,63	-1,43	1,87	-0,46	0,46	-0,35	0,46	-0,57	0,98	-0,86	hk=0,4
650	550,5	1,77	-1,57	2,05	-0,55	0,43	-0,43	0,55	-0,67	1,06	-0,94	hk=0,4
700	600,5	1,92	-1,72	2,24	-0,64	0,56	-0,51	0,66	-0,79	1,15	-1,03	hk=0,4
750	650,5	2,06	-1,86	2,43	-0,74	0,64	-0,60	0,78	-0,92	1,24	-1,12	hk=0,4
800	700,5	2,20	-2,00	2,62	-0,82	0,68	-0,69	0,90	-1,05	1,30	-1,03	hk=0,4
850	750,5	2,34	-2,14	2,79	-0,88	0,76	-0,70	0,98	-1,12	1,39	-1,12	hk=0,4
900	800,5	2,49	-2,29	3,00	-0,93	0,81	-0,76	1,08	-1,18	1,44	-1,18	hk=0,4
950	850,5	2,63	-2,43	3,19	-0,98	0,86	-0,81	1,14	-1,23	1,50	-1,23	hk=0,4
1000	900,5	2,77	-2,57	3,37	-1,03	0,91	-0,86	1,20	-1,28	1,59	-1,28	hk=0,4
1050	950,5	2,92	-2,72	3,56	-1,15	0,96	-0,94	1,25	-1,35	1,66	-1,35	hk=0,4
1100	1000,5	3,06	-2,86	3,75	-1,28	1,02	-1,08	1,34	-1,45	1,75	-1,45	hk=0,4
1150	1050,5	3,20	-3,00	3,94	-1,44	1,06	-1,42	1,49	-1,72	1,90	-1,72	hk=0,4
1200	1100,5	3,34	-3,14	4,13	-1,59	1,16	-1,57	1,55	-2,05	2,22	-1,92	hk=0,4
1250	1150,5	3,49	-3,29	4,32	-1,62	1,23	-1,68	1,62	-2,17	2,34	-1,97	hk=0,4
1300	1200,5	3,63	-3,43	4,51	-1,71	1,31	-1,77	1,71	-2,29	2,50	-2,06	hk=0,4
1350	1250,5	3,77	-3,57	4,70	-1,80	1,39	-1,86	1,79	-2,42	2,68	-2,16	hk=0,4
1400	1300,5	3,92	-3,72	4,88	-1,88	1,46	-1,94	1,87	-2,52	2,83	-2,16	hk=0,4
1450	1350,5	4,06	-3,86	5,07	-1,96	1,52	-2,03	1,96	-2,62	2,98	-2,22	hk=0,4
1500	1400,5	4,20	-4,00	5,26	-2,04	1,60	-2,10	2,05	-2,72	3,13	-2,30	hk=0,4
1550	1450,5	4,34	-4,14	5,45	-2,12	1,66	-2,16	2,10	-2,82	3,26	-2,36	hk=0,4
1600	1500,5	4,49	-4,29	5,64	-2,20	1,74	-2,26	2,15	-2,92	3,39	-2,46	hk=0,4
												hk=0,4

DF810FRK17 / DF810FR21 - PROFIL - EFX200 - Lasten gegen die Absturzrichtung nach innen (N)											
Hörmast	hk=0,8	Reaktionsschraube Glas/Profil			Reaktionsschraube Glas/Profil/Ungespannt			Reaktionsschraube Glas/Profil			Hörmast
		Fchu	Ft,0,8	Fd,0,8	Fchu	Ft,0,8	Fd,0,8	Fchu	Ft,0,8	Fd,0,8	
0,80	1,30	-1,14	1,96	-1,72	1,49	-1,80	1,65	-2,24	2,48	-2,01	17,27
0,80	1,42	-1,28	2,13	-2,06	1,64	-1,95	1,79	-2,46	2,70	-2,15	11,20
0,80	1,53	-1,37	2,30	-2,06	1,79	-2,03	2,01	-2,59	2,93	-2,31	9,33
0,80	1,65	-1,49	2,47	-2,23	1,94	-2,14	2,10	-2,74	3,16	-2,56	7,36
0,80	1,76	-1,60	2,64	-2,40	2,14	-2,26	2,14	-3,17	3,45	-2,87	5,37
0,80	1,88	-1,72	2,81	-2,57	2,25	-2,41	2,35	-3,37	3,64	-3,16	3,31
0,80	1,99	-1,83	2,98	-2,74	2,40	-2,56	2,56	-4,06	3,84	-3,47	3,12
0,80	2,10	-1,94	3,16	-2,92	2,55	-2,76	2,71	-4,25	4,05	-4,37	3,04
0,80	2,22	-2,06	3,33	-3,09	2,70	-2,86	2,70	-4,29	4,84	-4,84	2,21
0,80	2,33	-2,17	3,50	-3,26	2,85	-3,01	2,85	-4,28	4,52	-5,02	2,23
0,80	2,45	-2,29	3,67	-3,43	3,00	-3,16	3,00	-4,27	4,74	-5,25	2,24
0,80	2,56	-2,40	3,84	-3,60	3,15	-3,31	3,15	-4,27	4,97	-5,40	2,24
0,80	2,68	-2,52	4,01	-3,77	3,30	-3,46	3,36	-4,26	5,20	-5,59	2,17
0,80	2,79	-2,63	4,18	-3,94	3,45	-3,61	3,45	-4,26	5,42	-5,79	2,14
0,80	2,90	-2,74	4,36	-4,12	3,61	-3,77	3,61	-4,26	5,65	-6,17	2,04
0,80	3,02	-2,86	4,53	-4,29	3,76	-3,92	3,76	-4,26	5,87	-6,47	1,93
0,80	3,13	-2,97	4,70	-4,46	4,05	-4,27	4,05	-4,26	6,03	-6,66	1,81
0,80	3,25	-3,09	4,87	-4,63	4,26	-4,47	4,26	-4,27	6,19	-6,86	1,66
0,80	3,36	-3,20	5,04	-4,80	4,42	-4,77	4,42	-4,27	6,31	-7,03	1,51
0,80	3,48	-3,32	5,21	-4,97	4,56	-4,92	4,56	-4,27	6,45	-7,22	1,38
0,80	3,59	-3,43	5,38	-5,14	4,51	-4,67	4,51	-4,27	6,77	-7,51	1,20

DF810FRK17 / DF810FR21 - PROFIL - EFX200 - Lasten gegen die Absturzrichtung nach innen (N)											
Hörmast	hk=0,8	Auflagerkräfte Profil/Ungespannt			Auflagerkräfte Profil/Ungespannt			Auflagerkräfte Profil/Ungespannt			Hörmast
		Fchu	Ft,0,8	Fd,0,8	Fchu	Ft,0,8	Fd,0,8	Fchu	Ft,0,8	Fd,0,8	
0,80	1,30	-1,14	1,96	-1,72	1,49	-1,80	1,65	-2,24	2,48	-2,01	17,27
0,80	1,42	-1,28	2,13	-2,06	1,64	-1,95	1,79	-2,46	2,69	-2,15	11,20
0,80	1,53	-1,37	2,30	-2,06	1,79	-2,03	2,01	-2,74	3,16	-2,56	9,33
0,80	1,65	-1,49	2,47	-2,23	1,94	-2,14	2,10	-3,17	3,45	-3,02	7,36
0,80	1,76	-1,60	2,64	-2,40	2,14	-2,26	2,14	-3,37	3,64	-3,47	5,37
0,80	1,88	-1,72	2,81	-2,57	2,25	-2,41	2,35	-4,06	3,84	-3,84	3,12
0,80	1,99	-1,83	2,98	-2,74	2,40	-2,56	2,56	-4,06	4,05	-4,06	2,21
0,80	2,10	-1,94	3,16	-2,92	2,55	-2,76	2,71	-4,25	4,25	-4,25	2,21
0,80	2,22	-2,06	3,33	-3,09	2,70	-2,86	2,70	-4,29	4,84	-4,84	2,21
0,80	2,33	-2,17	3,50	-3,26	2,85	-3,01	2,85	-4,28	4,52	-5,02	2,23
0,80	2,45	-2,29	3,67	-3,43	3,00	-3,16	3,00	-4,27	4,74	-5,25	2,24
0,80	2,56	-2,40	3,84	-3,60	3,15	-3,31	3,15	-4,27	4,97	-5,40	2,24
0,80	2,68	-2,52	4,01	-3,77	3,30	-3,46	3,30	-4,26	5,20	-5,59	2,17
0,80	2,79	-2,63	4,18	-3,94	3,45	-3,61	3,45	-4,26	5,42	-5,79	2,14
0,80	2,90	-2,74	4,36	-4,12	3,61	-3,77	3,61	-4,26	5,65	-6,17	2,04
0,80	3,02	-2,86	4,53	-4,29	3,76	-3,92	3,76	-4,26	5,87	-6,47	1,93
0,80	3,13	-2,97	4,70	-4,46	4,05	-4,27	4,05	-4,26	6,03	-6,66	1,81
0,80	3,25	-3,09	4,87	-4,63	4,26	-4,47	4,26	-4,27	6,19	-6,86	1,66
0,80	3,36	-3,20	5,04	-4,80	4,42	-4,77	4,42	-4,27	6,31	-7,03	1,51
0,80	3,48	-3,32	5,21	-4,97	4,56	-4,92	4,56	-4,27	6,45	-7,22	1,38
0,80	3,59	-3,43	5,38	-5,14	4,51	-4,67	4,51	-4,27	6,77	-7,51	1,20

Lastrichtung nach innen	Lastfaktor	FC.Rd.innen.FE	FC.Rd.innen.FE	Verformung
	-	kN	kN/m	mm
	0,00	0,00	0,00	0,00
	0,30	2,76	13,78	0,34
SLS	0,67	6,12	30,61	0,82
	0,80	7,35	36,74	1,06
	0,90	8,27	41,33	1,30
ULS	1,00	9,18	45,92	1,60
	1,10	10,10	50,51	
	1,20	11,02	55,10	



5 Zusammenfassung Ergebnisse Glas- und Profilbemessung

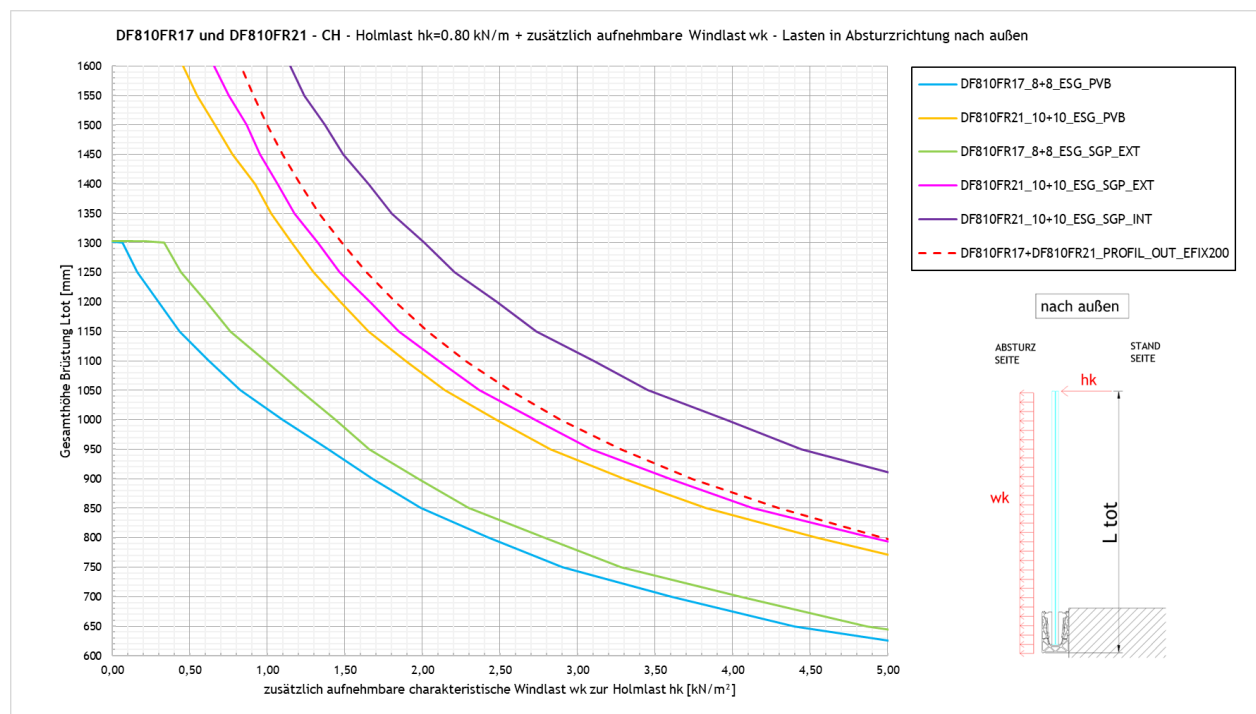
5.1 Maximale zusätzlich zur Holmlast aufnehmbare Windlast wk

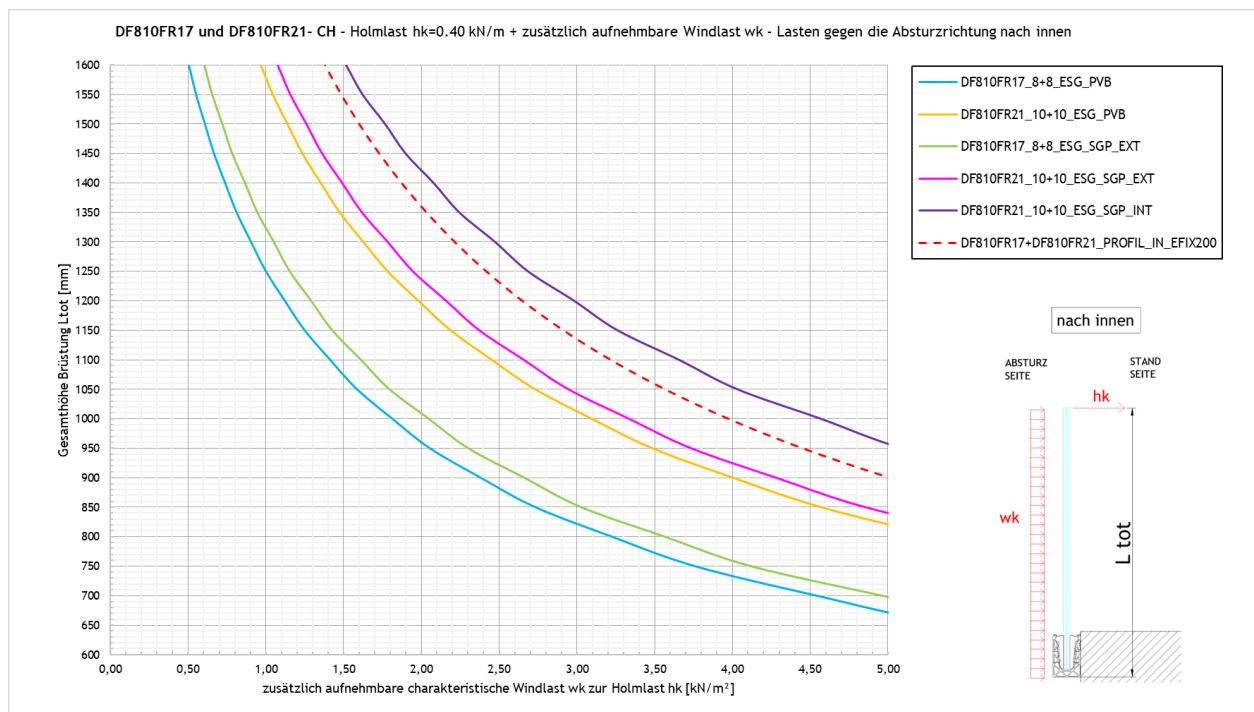
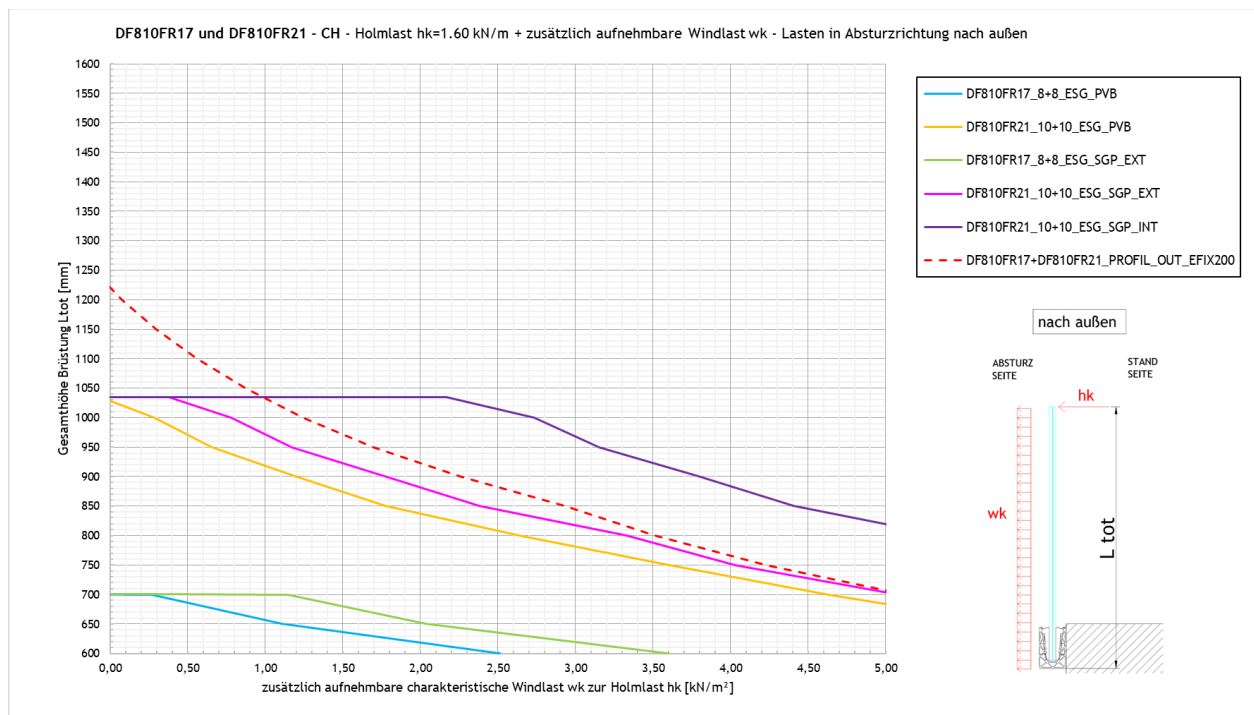
5.1.1 Ergebnisse auf Basis Tragwiderstand Glas und Profil

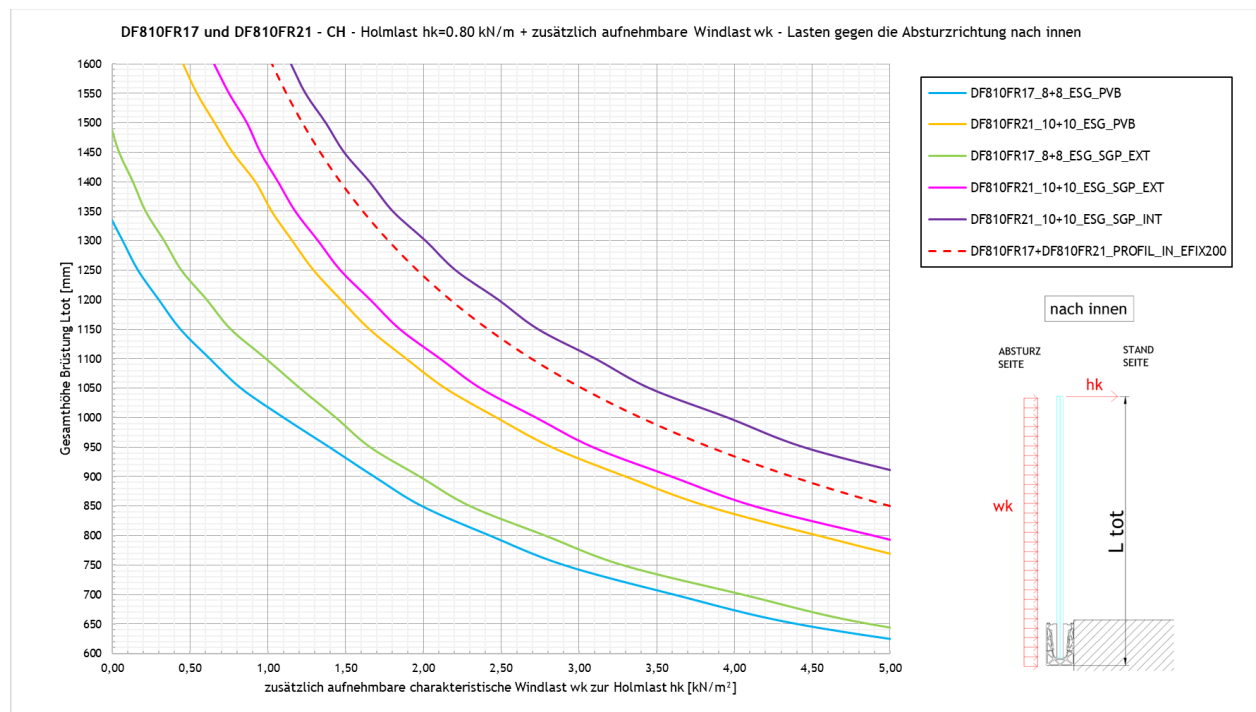
In den folgenden Abbildungen ist die maximale zusätzlich zur Holmlast noch aufnehmbare Windlast dargestellt, sowohl für die Absturzrichtung als auch entgegen der Absturzrichtung. Die Werte berücksichtigen ausschließlich den Tragwiderstand der Brüstung (Glas und Profil) ohne Verformungslimit nach SIA-2057-2021, Kapitel 4.4. Die Ergebnisse unter Berücksichtigung der Verformungsbeschränkung sind in Kapitel 5.1.2 dargestellt.

Eventuelle Verformungsbeschränkungen der Glasbrüstung sind immer projektbezogen mit dem Bauherrn/Kunden abzustimmen.

Bei einem Einsatz im Gebäudeinneren ohne Windlast bzw. bei nur Betrachtung der Holmlast sind die Grafiken für eine Windlast von 0 kN/m² auszulesen, der Schnittpunkt der Kurven mit der Y-Achse ergibt dann direkt die maximal zulässige Brüstungshöhe.







5.1.2 Ergebnisse auf Basis Verformungsbeschränkung Glas

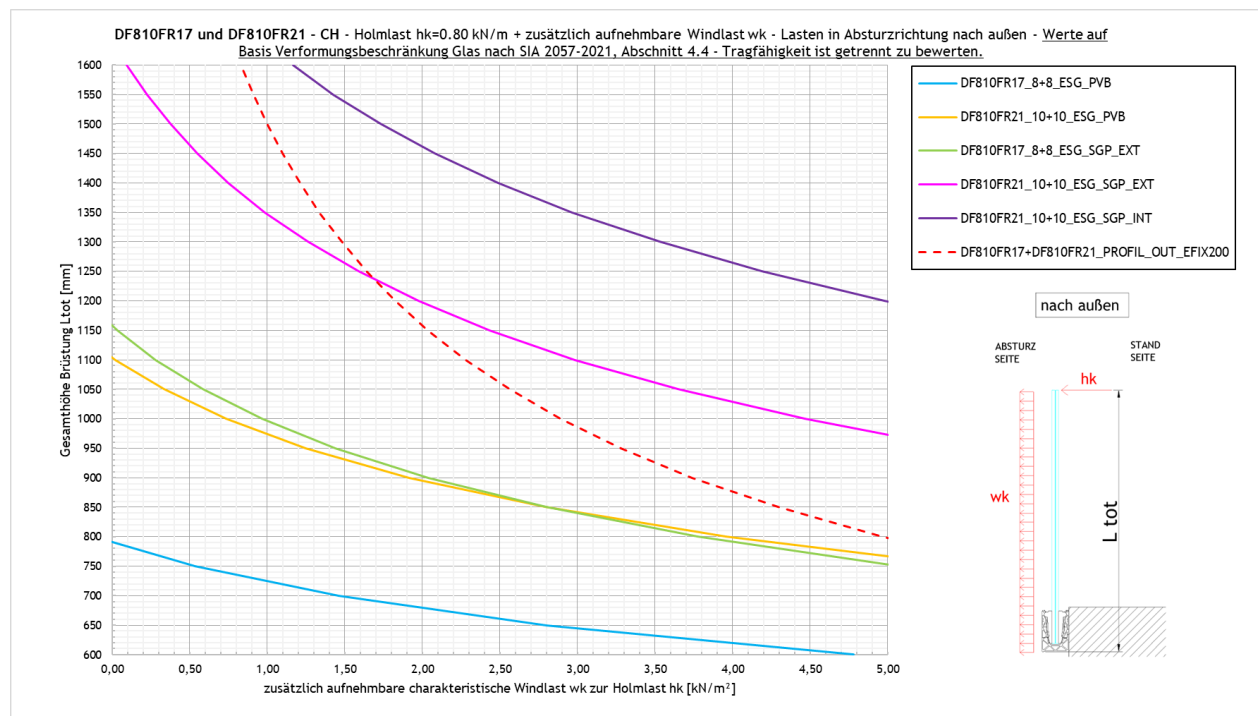
In den folgenden Abbildungen ist, ausschließlich für die Absturzrichtung, die maximale zusätzlich zur Holmlast noch aufnehmbare Windlast dargestellt, unter Berücksichtigung der Verformungsbeschränkung für einseitig eingespannte Bauteile nach SIA-2057-2021, Kapitel 4.4.

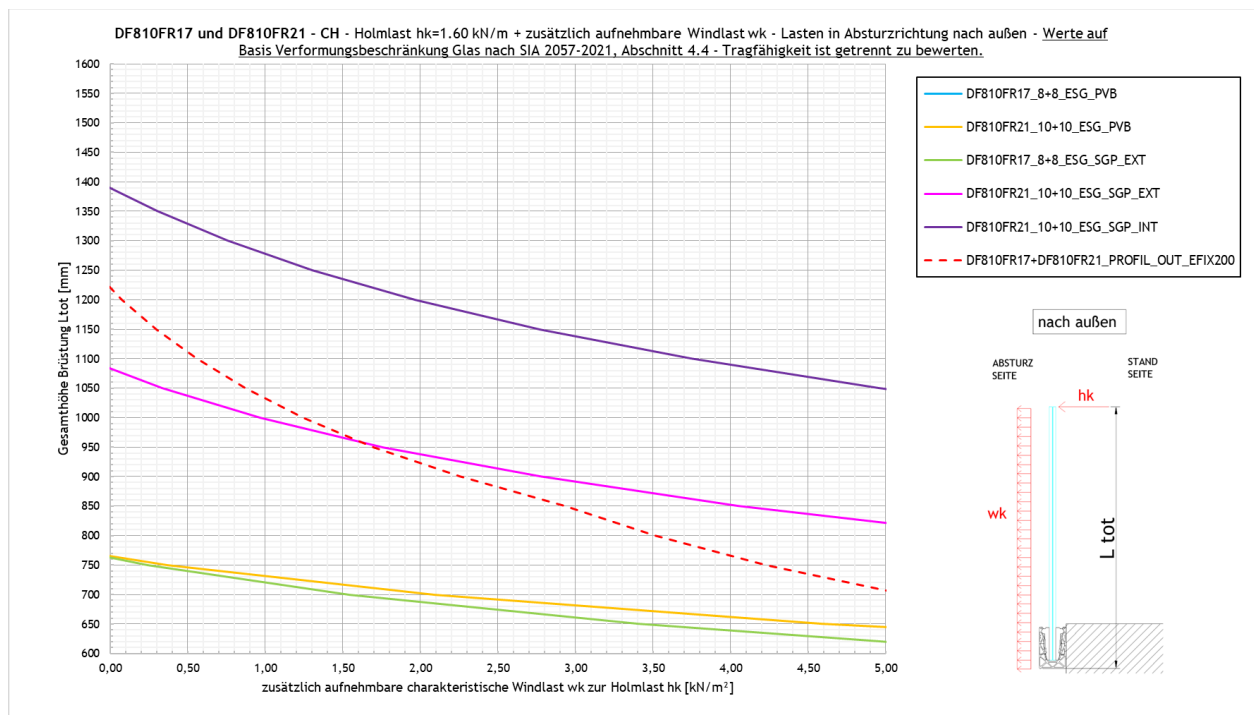
Bei einem Einsatz im Gebäudeinneren ohne Windlast bzw. bei nur Betrachtung der Holmlast sind die Grafiken für eine Windlast von 0 kN/m² auszulesen, der Schnittpunkt der Kurven mit der Y-Achse ergibt dann direkt die maximal zulässige Brüstungshöhe.

Die Ergebnisse sind für eine maximale Verformung des Glases von L_A/50 ermittelt, mit L_A als freie Kraglänge des Glases. Dies entspricht dem Richtwert nach SIA-2057-2021 Tabelle 7.

Die Verformungsbeschränkungen der Glasbrüstung sind immer projektbezogen mit dem Bauherrn/Kunden abzustimmen, gegebenenfalls sind auch andere Grenzwerte einzuhalten.

Wichtig: Die Tragfähigkeit der Brüstung ist immer auch zusätzlich getrennt zu bewerten und zu gewährleisten, auf Basis der grafischen Ergebnisse aus Kapitel 5.1.1 bzw. der tabellarischen Ergebnisse aus Kapitel 5.2.1.





5.2 Zusammenfassung Systemwiderstand für Holmlasten

5.2.1 Ergebnisse auf Basis Tragwiderstand Glas und Profil

- a) Vorbemessungstabelle für DF810FR ohne tragenden Handlauf aber mit Kantenschutz - auf Basis Tragwiderstand Profil und Glas ohne Verformungsbeschränkung⁴

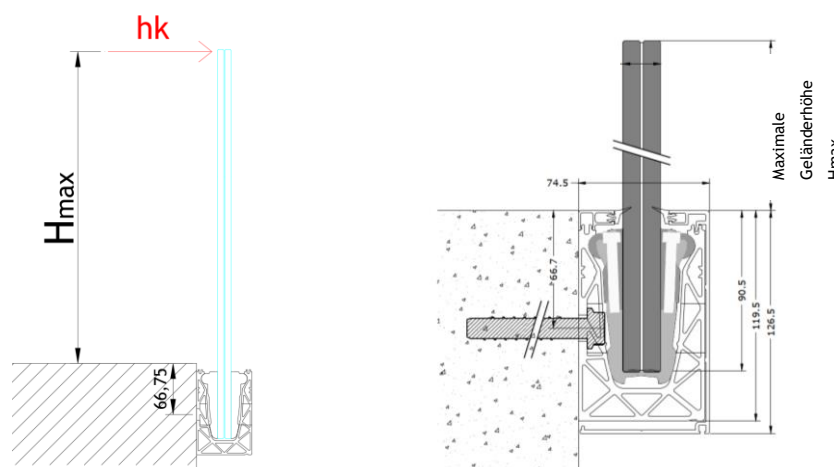
DF810FR				
Anwendung	Glasaufbau	Abstand Befestigungs- mittel in cm	Maximale Geländerhöhe ² (Hmax) in [cm] - Bezugsebene = Oberkante Profil - siehe Skizze unten	
			Kat. A, B e D nach SIA 261-2020	Kat. C ohne möglichem Menschengedränge nach SIA 261-2020
Intern + Extern (Innenbereich / Fassadenbereich ¹) - nur Holmlasten ²	88.4 ESG mit PVB/Sentryglas®	20	110	50
	88.4 ESG mit PVB/Sentryglas	40	110	-
	1010.4 ESG mit PVB/Sentryglas®	20	130	90

¹ Innenbereich bzw. Fassadenbereich entsprechend den Vorgaben der AbZ Z-70.3-253 (Sentryglas®-Folie)

² Die Tabellenwerte gelten für Holmlasten nach außen in Absturzrichtung - siehe Richtung hk in der Grafik unten - und sind aus dem statischen Tragwiderstand im GZT von Glas und Aluminiumprofil abgeleitet.

⁴ Die Tabellenwerte berücksichtigen ausschließlich den Tragwiderstand der Brüstung ohne Verformungslimit nach SIA-2057-2021, Kapitel 4.4. Dies ist für das spezifische Projekt mit dem Bauherrn/Kunden entsprechend abzustimmen.

Systemdarstellung und Lastrichtung für die zusammengefassten Ergebnisse in der Tabelle:



- b) Vorbemessungstabelle für DF810FR mit tragendem Handlauf³ - auf Basis Tragwiderstand Profil und Glas ohne Verformungsbeschränkung⁴

DF810FR				
Anwendung	Glasaufbau	Abstand Befestigungs- mittel in cm	Maximale Geländerhöhe ² (Hmax) in [cm] - Bezugsebene = Oberkante Profil - siehe Skizze unten	
			Kat. A, B e D nach SIA 261-2020	Kat. C ohne möglichem Menschengedränge nach SIA 261-2020
			$h_k=0,8 \text{ kN/m}$	$h_k=1,6 \text{ kN/m}$
Intern + Extern (Innenbereich / Fassadenbereich ¹) - nur Holmlasten ²	88.4 ESG mit PVB/Sentryglas®	20	120	60
	88.4 ESG mit PVB/Sentryglas®	40	110	-
	1010.4 ESG mit PVB	20	130	90
	1010.4 ESG mit Sentryglas®	20	130	100
Intern (Innenbereich ¹) - nur Holmlasten ²	1010.4 ESG mit Sentryglas®	20	130	110

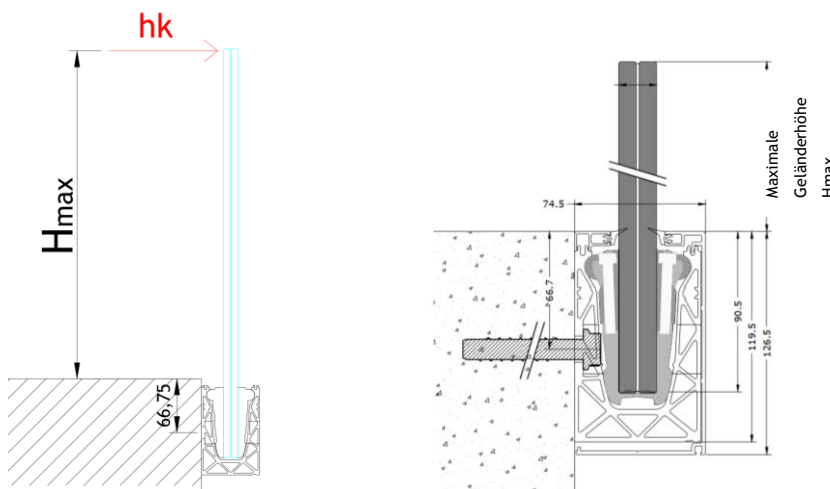
¹ Innenbereich bzw. Fassadenbereich entsprechend den Vorgaben der AbZ Z-70.3-253 (Sentryglas®-Folie)

² Die Tabellenwerte gelten für Holmlasten nach außen in Absturzrichtung - siehe Richtung h_k in der Grafik unten - und sind aus dem statischen Tragwiderstand im GZT von Glas und Aluminiumprofil abgeleitet.

³ Das Ausfallszenario für die Glasbrüstung (nach SIA-2057-2021, Abschnitt 4.6) sowie der Nachweis des tragenden Handlaufs ist projektbezogen zu untersuchen, die Tabellenwerte beziehen sich auf die intakte VSG-Einheit.

⁴ Die Tabellenwerte berücksichtigen ausschließlich den Tragwiderstand der Brüstung ohne Verformungslimit nach SIA-2057-2021, Kapitel 4.4. Dies ist für das spezifische Projekt mit dem Bauherrn/Kunden entsprechend abzustimmen.

Systemdarstellung und Lastrichtung für die zusammengefassten Ergebnisse in der Tabelle:



5.2.2 Ergebnisse auf Basis Verformungsbeschränkung Glas

c) Vorbemessungstabelle für DF810FR - auf Basis Verformungsbeschränkung Glas nach SIA 2057^{3 4}

DF810FR			
Anwendung	Glasaufbau	Maximale Geländerhöhe ² (Hmax) in [cm]	
		Kat. A, B e D nach SIA 261-2020 $h_k=0,8 \text{ kN/m}$	Kat. C ohne möglichem Menschengedränge nach SIA 261-2020 $h_k=1,6 \text{ kN/m}$
Intern + Extern (Innenbereich/ Fassadenbereich ¹) - nur Holmlasten ²	88.4 ESG mit PVB	65	-
	88.4 ESG mit Sentryglas®	100	60
	1010.4 ESG mit PVB	95	60
	1010.4 ESG mit Sentryglas®	130	95
Intern (Innenbereich ¹) - nur Holmlasten ²	1010.4 ESG mit Sentryglas®	130	125

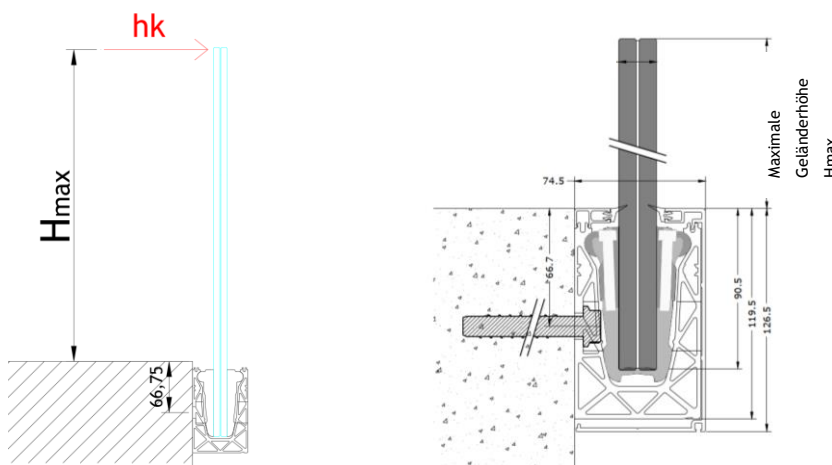
¹ Innenbereich bzw. Fassadenbereich entsprechend den Vorgaben der AbZ Z-70.3-253 (Sentryglas®-Folie)

² Die Tabellenwerte gelten für Holmlasten nach außen in Absturzrichtung - siehe Richtung h_k in der Grafik unten.

³ Die Tabellenwerte berücksichtigen ausschließlich die Verformungsbeschränkung für das Glas nach SIA 2057-2021 Kapitel 4.4 Tabelle 7 mit dem Richtwert $L_A/50$ (L_A als freie Spannweite Glas). Die Verformungsbeschränkung ist generell für das spezifische Projekt mit dem Bauherrn/Kunden entsprechend abzustimmen.

⁴ Die Tragfähigkeit des Glases und des Profils ist zusätzlich entsprechenden zu prüfen und zu gewährleisten. Das Minimum aus Verformungsbeschränkung und Tragwiderstand ist maßgebend - siehe dazu Kapitel 5.1.1 bzw. 5.2.1 mit Vorbemessungstabellen a)+b)

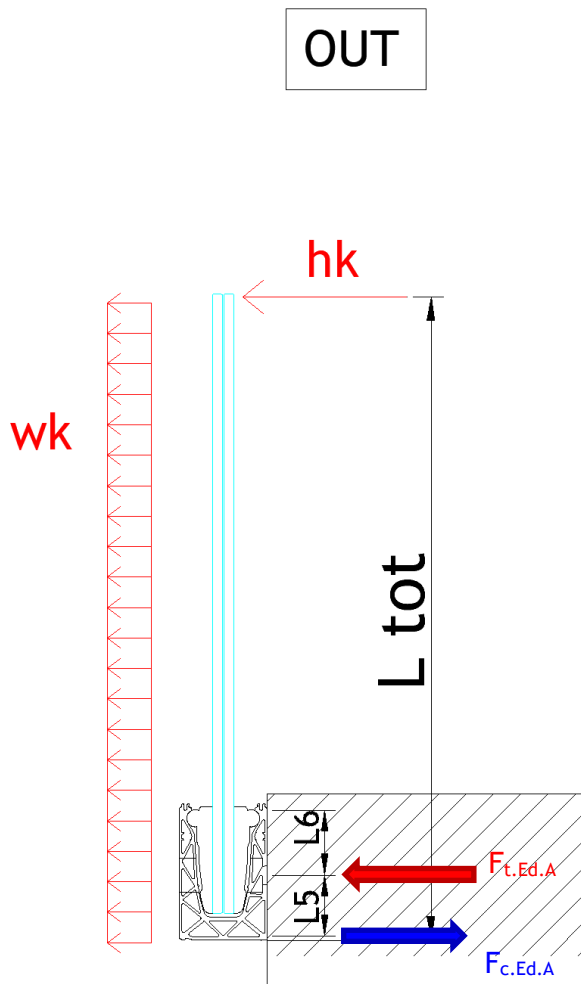
Systemdarstellung und Lastrichtung für die zusammengefassten Ergebnisse in der Tabelle:



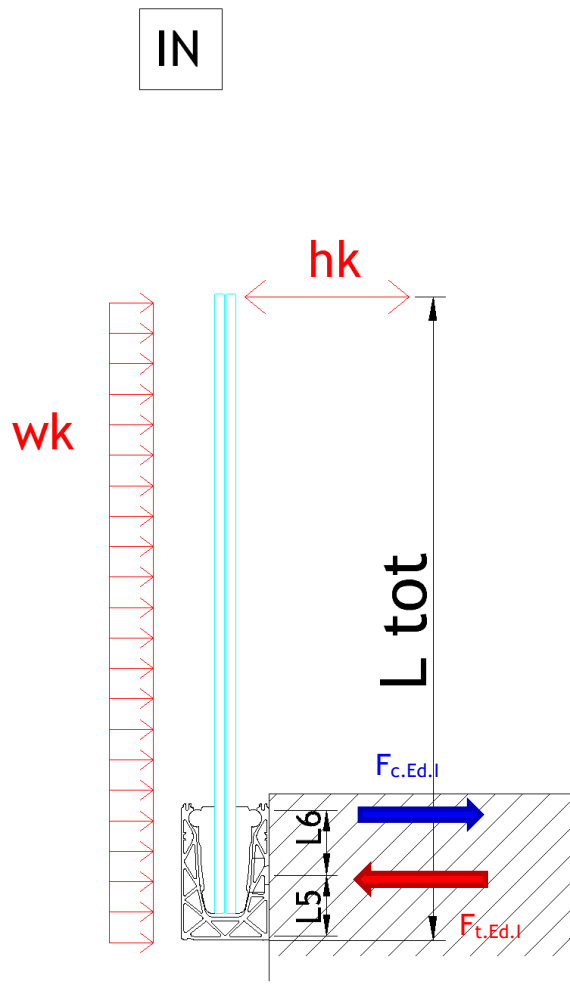
5.3 Reaktionskräfte Verankerung

Nachfolgend werden die Reaktionskräfte auf die Verankerung (Druck- und Zugkomponenten) bzw. die Formel für deren Berechnung für einen Verankerungsabstand von $e=200$ mm für beide Lastrichtungen nach außen und nach innen angegeben.

Nach außen in Absturzrichtung



Nach innen gegen die Absturzrichtung



Nach außen in Absturzrichtung für Verankerungsabstand e=200 mm:

$$FtEd.A.e200 = e * \max \left(\frac{1.5 * hk * Ltot}{L5} + \frac{1.5 * 0.6 * wk * Ltot^2}{2 * L5}; \frac{1.5 * 0.7 * hk * Ltot}{L5} + \frac{1.5 * wk * Ltot^2}{2 * L5} \right)$$

FcEd.A.e200 =

$$e * \max \left(\frac{1.5 * hk * (Ltot - L5)}{L5} + \frac{1.5 * 0.6 * wk * ((Ltot - L5)^2 - L5^2)}{2 * L5}; \frac{1.5 * 0.7 * hk * (Ltot - L5)}{L5} + \frac{1.5 * wk * ((Ltot - L5)^2 - L5^2)}{2 * L5} \right)$$

mit $e = 200\text{mm}$ und $L5 = 50\text{mm}$

Nach innen gegen die Absturzrichtung für Verankerungsabstand e=200 mm:

FtEd.I.e200 =

$$e * \max \left(\frac{1.5 * hk * (Ltot - L5 - L6)}{L6} + \frac{1.5 * 0.6 * wk * ((Ltot - L5 - L6)^2 - L6^2)}{2 * L6}; \frac{1.5 * hk * 0.7 * (Ltot - L5 - L6)}{L6} + \frac{1.5 * wk * ((Ltot - L5 - L6)^2 - L6^2)}{2 * L6} \right)$$

FcEd.I.e200 =

$$e * \max \left(\frac{1.5 * hk * (Ltot - L5)}{L6} + \frac{1.5 * 0.6 * wk * (Ltot - L5)^2}{2 * L6}; \frac{1.5 * 0.7 * hk * (Ltot - L5)}{L6} + \frac{1.5 * wk * (Ltot - L5)^2}{2 * L6} \right)$$

mit $e = 200\text{mm} + L6 = 53\text{mm}$

Anhang

a) Grundlagen der numerischen Berechnung

23065 Defender 810 - GER+CH, Logli

DF810FR17 und DF810FR21

Einbauort: Deutschland, Schweiz

$$\gamma_{perm} := 1.35$$

$$\gamma_{var} := 1.5$$

Legierung Aluprofile: EN AW6063-T6 mit $t \leq 25$ mm

$$f_{ok} := 160 \text{ MPa} \quad f_{uk} := 195 \text{ MPa} \quad \gamma_{0alu} := 1.10 \quad \gamma_{1alu} := 1.10 \quad \gamma_{2alu} := 1.25$$

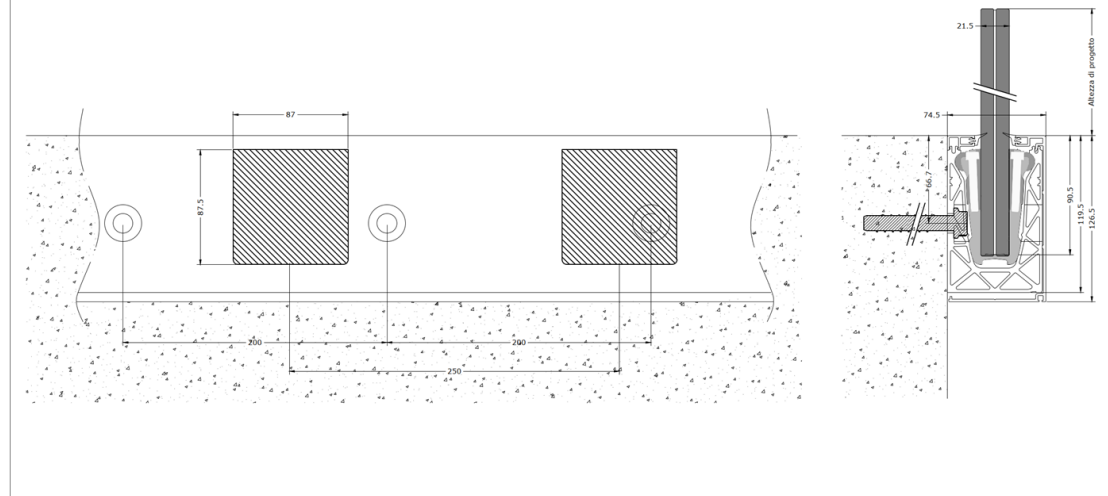
$$E_{alu} := 70000 \text{ MPa} \quad \rho_{alu} := 27 \frac{\text{kN}}{\text{m}^3}$$

$$f_{od} := \frac{f_{ok}}{\gamma_{0alu}} = 145.4545 \frac{\text{N}}{\text{mm}^2}$$

Sistema per parapetti DF810FR21
per posa laterale di vetri stratificati 10.10/2 o 10.10/4 (in figura rappresentato 10.10/4)
alluminio 6063 T6

pinze e cunei in POM viti M6 in acciaio INOX
profili di finitura in alluminio

SCALA 1:2
misure in mm se non diversamente indicato



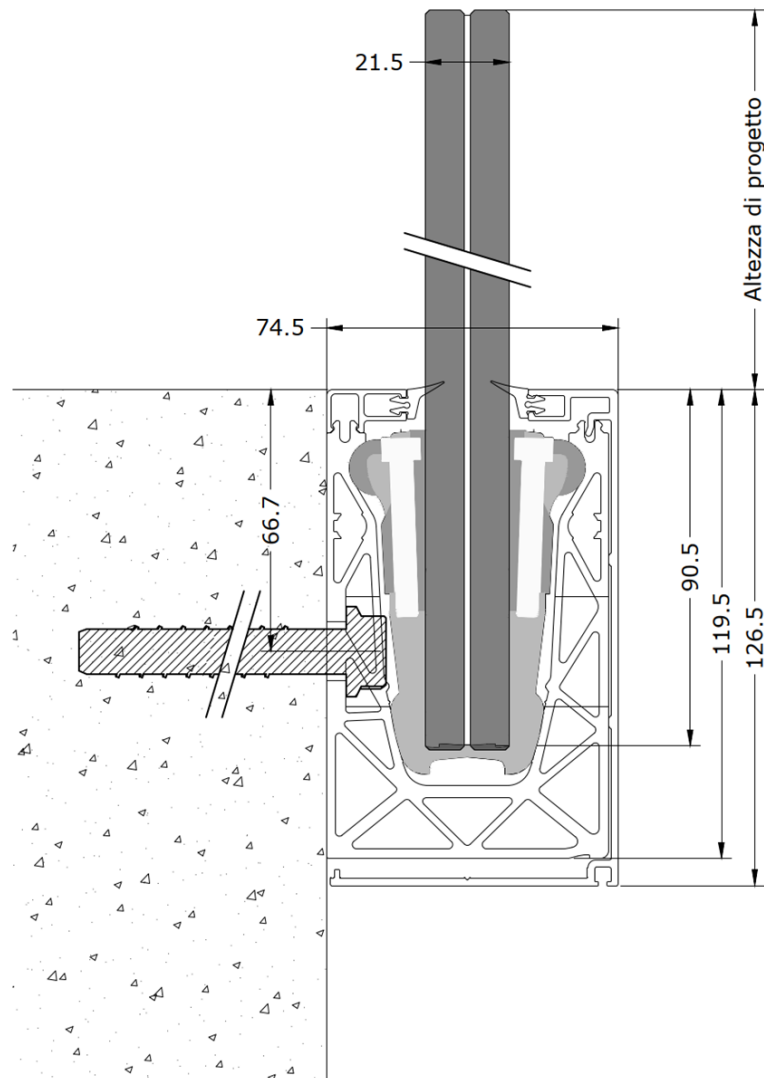
BESTIMMUNG REAKTIONSKRÄFTE GLAS / PROFIL

$$q_{max.ek.out} := 1.60 \frac{\text{kN}}{\text{m}}$$

$$q_{max.ed.out} := q_{max.ek.out} \cdot \gamma_{var} = 2.4 \frac{\text{kN}}{\text{m}}$$

$$q_{max.ek.in} := 1.80 \frac{\text{kN}}{\text{m}}$$

$$q_{max.ed.in} := q_{max.ek.in} \cdot \gamma_{var} = 2.7 \frac{\text{kN}}{\text{m}}$$



a) In Absturzrichtung nach außen

$$H_{tot} := 1220 \text{ mm}$$

$$l_4 := 29.5 \text{ mm}$$

$$l_3 := 70 \text{ mm}$$

$$l_{glass.1} := H_{tot} - l_3 - l_4 = 1120.5 \text{ mm}$$

$$e_{fix} := 200 \text{ mm}$$

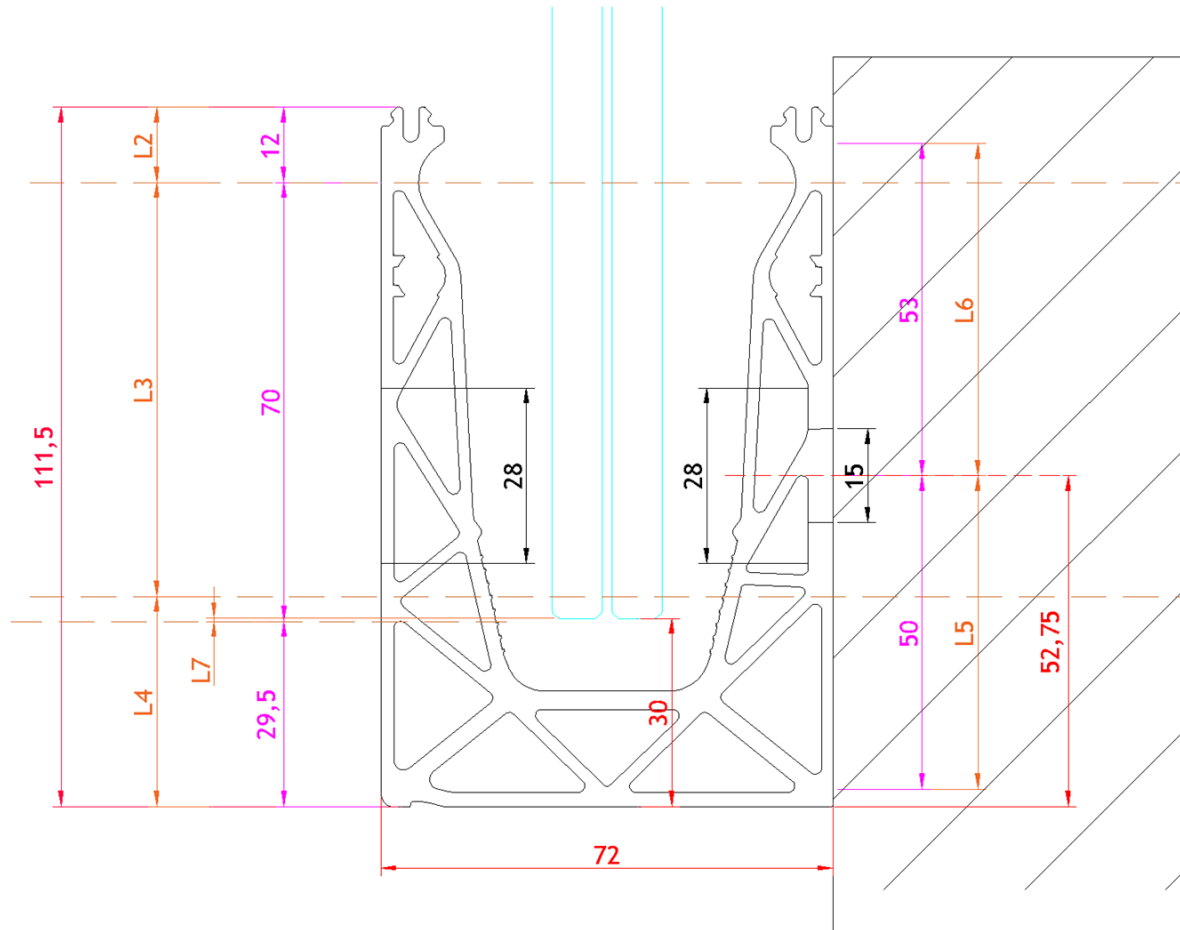
$$H_{Ed.1.out} := q_{max.ed.out} \cdot \left(\frac{l_{glass.1} + l_3}{l_3} \right) = 40.8171 \frac{\text{kN}}{\text{m}}$$

$$H_{Ed.1.out} \cdot e_{fix} = 8.1634 \text{ kN}$$

$$H_{Ed.2.out} := q_{max.ed.out} \cdot \left(\frac{l_{glass.1}}{l_3} \right) = 38.4171 \frac{\text{kN}}{\text{m}}$$

$$H_{Ed.2.out} \cdot e_{fix} = 7.6834 \text{ kN}$$

$$H_{Ed.1.out} - H_{Ed.2.out} = 2.4 \frac{\text{kN}}{\text{m}}$$



b) Gegen die Absturzrichtung nach innen

$$H_{tot} = 1220 \text{ mm}$$

$$l_{glass.1} := H_{tot} - l_3 - l_4 = 1120.5 \text{ mm}$$

$$e_{fix} := 200 \text{ mm}$$

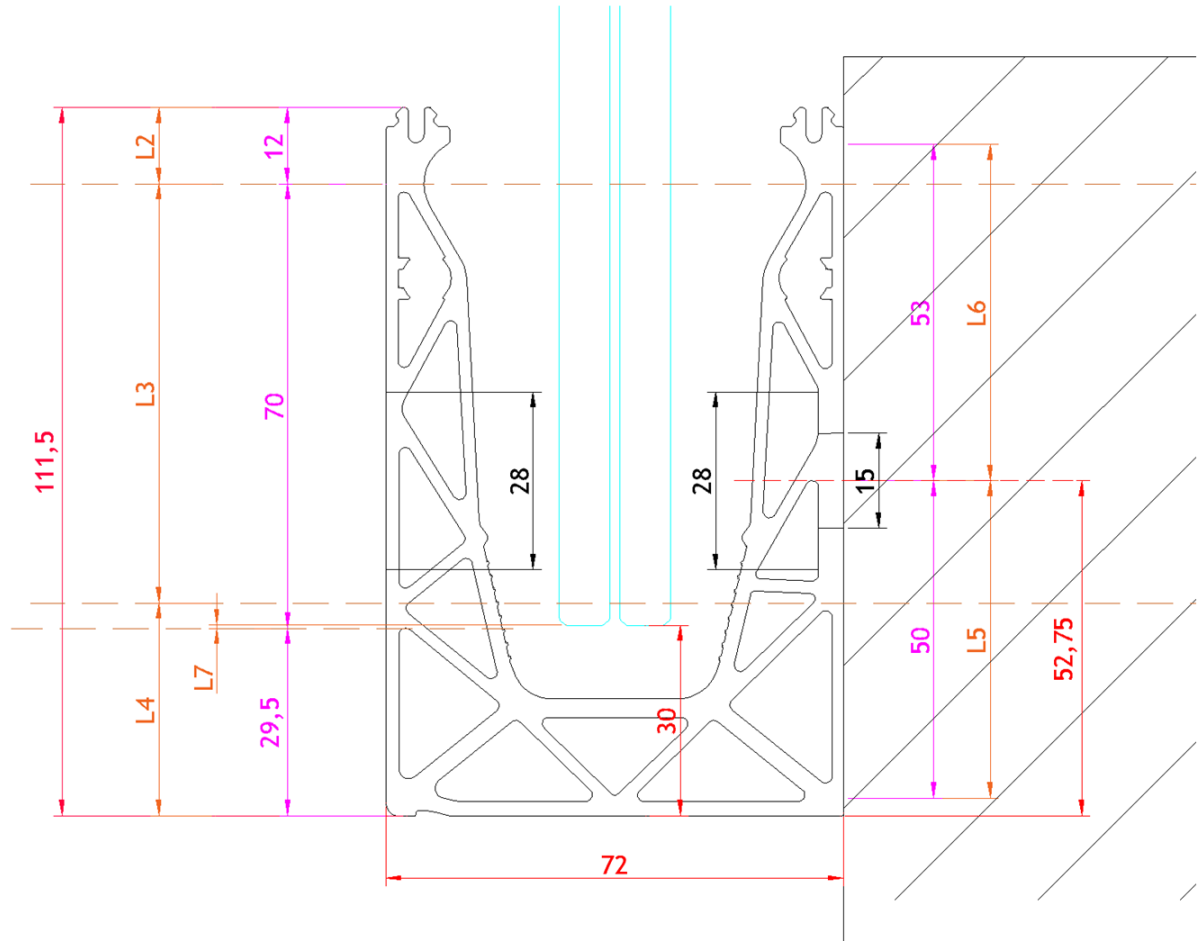
$$H_{Ed.1.in} := q_{max.ed.in} \cdot \left(\frac{l_{glass.1} + l_3}{l_3} \right) = 45.9193 \frac{\text{kN}}{\text{m}}$$

$$H_{Ed.1.in} \cdot e_{fix} = 9.1839 \text{ kN}$$

$$H_{Ed.2.in} := q_{max.ed.in} \cdot \left(\frac{l_{glass.1}}{l_3} \right) = 43.2193 \frac{\text{kN}}{\text{m}}$$

$$H_{Ed.2.in} \cdot e_{fix} = 8.6439 \text{ kN}$$

$$H_{Ed.1.in} - H_{Ed.2.in} = 2.7 \frac{\text{kN}}{\text{m}}$$



BESTIMMUNG REAKTIONSKRÄFTE PROFIL AUF UNTERGRUND

$$H_{tot} = 1220 \text{ mm}$$

$$l_5 := 50 \text{ mm}$$

$$l_6 := 53 \text{ mm}$$

$$l_8 := 52.75 \text{ mm}$$

$$e_{fix} := 200 \text{ mm}$$

Für die Belastung in Absturzrichtung (out)

$$q_{max.ed.out} = 2.4 \frac{\text{kN}}{\text{m}}$$

$$F_{t.Ed.out} := q_{max.ed.out} \cdot \left(\frac{(H_{tot} - l_8) + l_5}{l_5} \right) \cdot e_{fix} = 11.6856 \text{ kN}$$

$$F_{c.Ed.out} := q_{max.ed.out} \cdot \left(\frac{(H_{tot} - l_8)}{l_5} \right) \cdot e_{fix} = 11.2056 \text{ kN}$$

$$F_{h.Ed.out} := q_{max.ed.out} \cdot e_{fix} = 0.48 \text{ kN}$$

$$F_{t.Ed.out} - F_{c.Ed.out} = 0.48 \text{ kN}$$

Für die Belastung gegen die Absturzrichtung (in)

$$q_{max.ed.in} = 2.7 \frac{\text{kN}}{\text{m}}$$

$$F_{c.Ed.in} := q_{max.ed.in} \cdot \left(\frac{(H_{tot} - l_8 - l_6) + l_6}{l_6} \right) \cdot e_{fix} = 11.8927 \text{ kN}$$

$$F_{t.Ed.in} := q_{max.ed.in} \cdot \left(\frac{(H_{tot} - l_8 - l_6)}{l_6} \right) \cdot e_{fix} = 11.3527 \text{ kN}$$

$$F_{h.Ed.in} := q_{max.ed.in} \cdot e_{fix} = 0.54 \text{ kN}$$

$$F_{c.Ed.in} - F_{t.Ed.in} = 0.54 \text{ kN}$$

b) Ergebnisse numerische Berechnung DF810FR

